

დ. დანელია, ა. კვარაცხელია, ზ. მაძალუა

მასალათა გამძლეობის  
საფუძვლები

„ტექნიკური უნივერსიტეტი”

საქართველოს ტექნიკური უნივერსიტეტი



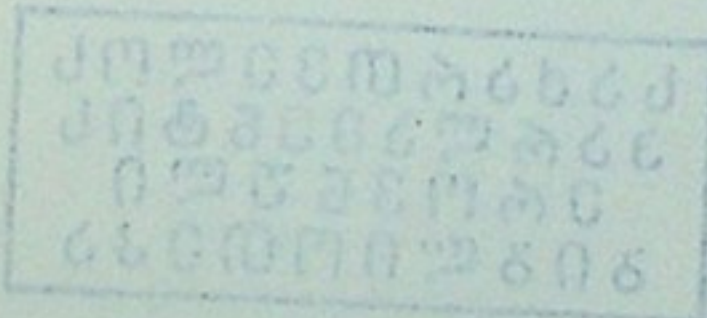
დ. დანელია, ა. კვარაცხელია, ზ. მაძალუა

მასალათა გამძლეობის  
საფუძვლები



დამტკიცებულია სტუ-ს  
სარედაქციო-საგამომცემლო  
საბჭოს მიერ

თბილისი  
2009



სახელმძღვანელო განკუთვნილია ტექნიკური უნივერ-  
სიტეტის სამშენებლო ფაკულტეტის უმაღლესი პროფესიული  
განათლების სტუდენტებისათვის. მასში საკითხები გადმოცემულია  
მარტივი, ადვილად გასაგები ენით და ილუსტრირებულია მაგალი-  
თებით და ამოცანებით.

რეცენზენტი პროფ. რ. ცხვედაძე

1240-3407

© საგამომცემლო სახლი „ტექნიკური უნივერსიტეტი”, 2009  
ISBN 978-9941-14-480-6  
<http://www.gtu.ge/publishinghouse/>



ყველა უფლება დაცულია. ამ წიგნის არც ერთი ნაწილი (იქნება ეს ტექსტი, ფოტო,  
ილუსტრაცია თუ სხვა) არანაირი ფორმით და საშუალებით (იქნება ეს ელექტრონული თუ  
მექანიკური), არ შეიძლება გამოყენებულ იქნას გამომცემლის წერილობითი ნებართვის  
გარეშე.

საავტორო უფლებების დარღვევა ისჯება კანონით.

საქართველოს  
პარლამენტის  
ეროვნული  
გირდინითი

## 1. პირითადი ცნებები

### 1.1 მასალათა გამაღმეობის საბანი

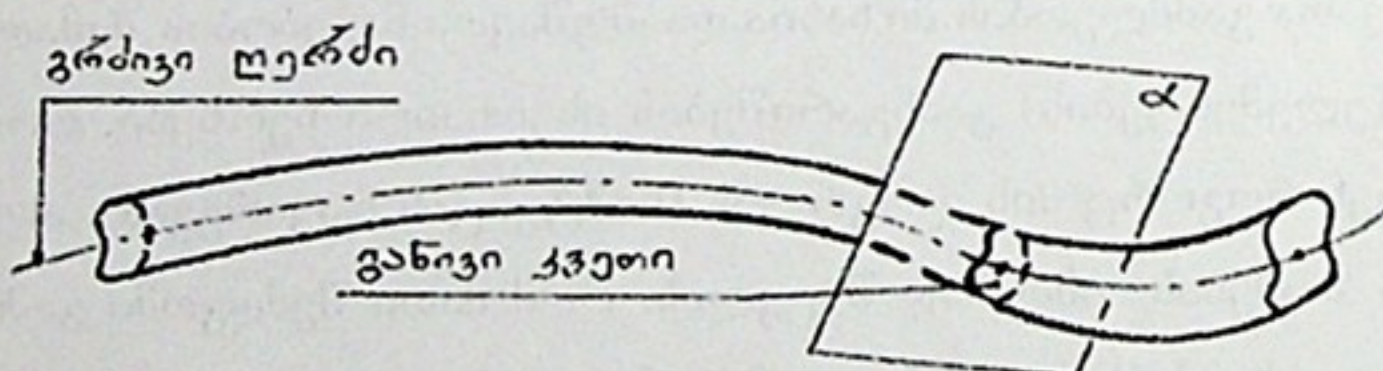
პირველყოფილი ადამიანების საცხოვრებლებს წარმოადგენდნენ გამოქვაბულები, რომლებიც თვით ბუნების მიერ იყო შექმნილი. ამიტომ ასეთ ნაგებობებს ეწოდებათ **ბუნებრივი ნაგებობები**. ადამიანების გამრავლებასთან დაკავშირებით ასეთი ბუნებრივი ნაგებობები უკვე აღარ იქნავთ საკმარისი და ადამიანმა დაიწყო პრიმიტიული საცხოვრებელი სათავსების (ქოხების) აშენება. ასეთ ნაგებობებს ეწოდებათ **ხელოვნური ნაგებობები**. ე. ი. **ნებისმიერ ნაგებობას** (დაწყებულს ქოხიდან და დამთავრებულს კოსმოსური აპარატით), **რომელიც ადამიანის მიერ არის შექმნილი ეწოდება ხელოვნური ნაგებობა**. იგი რომ გვემსახუროს ხანგრძლივი დროის განმავლობაში, საჭიროა არ დაინგრეს ან იმდენად არ შეიცვალოს ფორმა და ზომები, რომ მისი გამოყენება შეუძლებელი გახდეს. ძირითადი მიზეზები, რომლებმაც შეიძლება ნაგებობა უკარგისი გახადოს, არის გარეგანი მექანიკური ზემოქმედებები. ასეითია: გარეგანი ძალები საექსპლუატაციო დატვირთვების სახით, მიწისძვრები, ქარისა და თოვლის დაწინევა ნაგებობის ზედაპირზე და სხვა.

მასალათა გამძლეობის მიზანია დაამუშავოს ნაგებობის შემადგენელი ნაწილების (ელემენტების) გაანგარიშების ისეთნაირი ხერხები, რომლებიც გამორიცხავენ როგორც მის დანგრევას (სიმტკიცის დაკარგვას), ასევე მისი ფორმისა და ზომების იმდენად შეცვლას, რომ მათი შემდგომი გამოყენება შეუძლებელი გახდეს (სიხისტისა და მდგრადობის დაკარგვას).

რადგანაც ნაგებობა განხორციელებულია **მყარი სხეულებისაგან**, შეიძლება ითქვას, რომ **სიმტკიცე არის მყარი სხეულის თვისება გაუძლოს გარეგან მექანიკურ ზემოქმედებას ისე**, რომ არ დაირღვეს მისი მოლიანობა (ე. ი. არ დაინგრეს). სიხისტე არის მყარი სხეულის ისეთი თვისება, რომელიც ეწინააღმდეგება გარეგანი ზემოქმედების შედეგად მიხი პირვანდელი გეომეტრიული ზომებისა და ფორმის საგრძნობ შეცვლას (საგრძნობ დეფორმაციას).

თუ სხეული დრუკადია, იგი წინააღმდეგობას უწევს გარეგან ზემოქმედებას თავისი დაძაბვის (დაძაბულობის) ხარჯზე. თუ მას ეს ზემოქმედება მოეხსნება (მოსცილდება), იგი აღიდგენს თავის პირვანდელ ფორმას და ზომებს და დაძაბულიც აღარ იქნება. აქედან გამომდინარეობს, რომ თუ სხეული აკმაყოფილებს სიმტკიცისა და სიხისტის პირობებს, გარეგანი ზემოქმედების შედეგად იგი იძაბება იმდენად, რამდენიც საჭიროა ამ ზემოქმედების გაძლებისათვის. ასეთ მდგომარეობას წონასწორობის მდგომარეობას უწოდებენ, რადგანაც გარეგანი ზემოქმედების ძალები და სხეულის გამძლეობის უნარის დამახასიათებელი ძალები აწონასწორებენ ერთმანეთს.

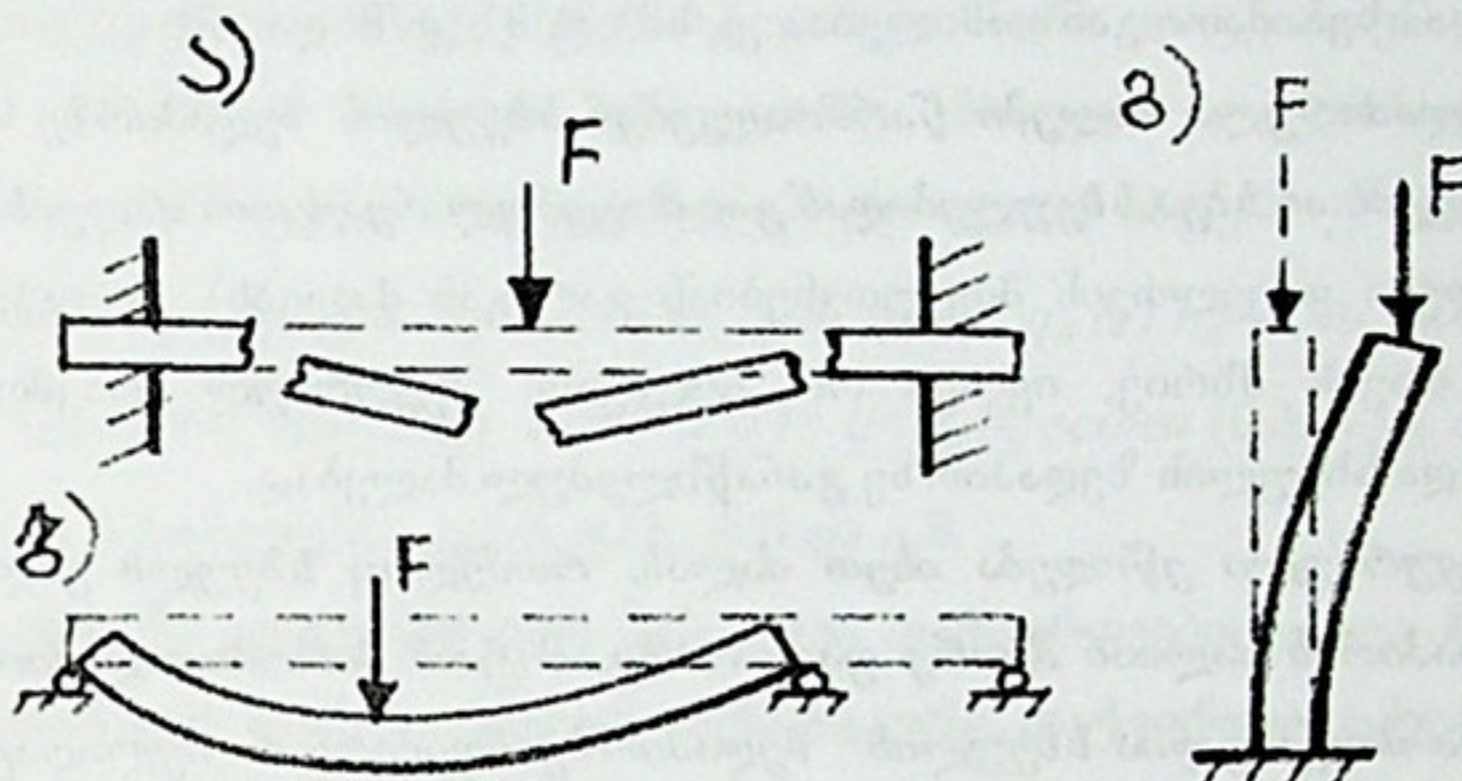
მასალათა გამძლეობაში უპირატესად განიხილება ნაგებობის უმარტივესი ელემენტის - ღეროს გაანგარიშება. ღერო წარმოადგენს ისეთ სხეულს, რომლის ერთი ზომა (სიგრძე) გაცილებით აღემატება ორ დანარჩენს (სივარეს და სიძალლეს). ღეროს ძირითადი გეომეტრიული ელემენტებია გრძივი ღერძი და განივი კვეთი (ნახ. 1) ეს ელემენტები ურთიერთკავშირშია: გრძივი ღერძი წარმოადგენს ხაზს, რომელიც გადის განივ კვეთთა სიმძიმის ცენტრებზე, ხოლო განივი კვეთი ძირის გარე ღერძი ღერძისადმი მართობულად გატარებული წარმოსახვითი α სიბრტყის საშუალებით.



ნახ. 1

გარეგანი ზემოქმედება იწვევს ღეროს გაჭიმვას (კუმშვას), ძვრას, გრეხას და ღუნვას. ამის მიხედვით განასხვავებენ წონასწორობის პირობებსაც (მაგალითად, წონასწორობის პირობები გაჭიმვა-კუმშვისას, ღუნვისას და ა.შ.) როდესაც ღეროს წონასწორობის პირობა (მაგალითად,

კუმშვის წონასწორობის პირობა) მისი ექსპლოატაციის პირობებში არ იცვლება (მდგრადია), მაშინ მდგრადობის პირობა უზრუნველყოფილია. მე-2 ნახაზზე წარმოდგენილია ღეროების სიმტკიცის (ა), სიხისტის (ბ) და მდგრადობის (გ) პირობების დარღვევის მაგალითები.



## ნახ.2

ღეროების დიდი რაოდენობით დამზადების (ტირაჟირების) შემთხვევაში განსაკუთრებული მნიშვნელობა ენიჭება მასალის ეკონომიკურად სარჯვას. ამიტომ მასალათა გამბლეობის ზემოაღნიშნული მიზანი (გაანგარიშების ისეთი სერხების დამუშავება, რომლებიც უზრუნველყოფენ სიმტკიცის, სიხისტისა და მდგრადობის პირობების დაცვას) უნდა განხორციელდეს მასალის მინიმალური ხარჯით.

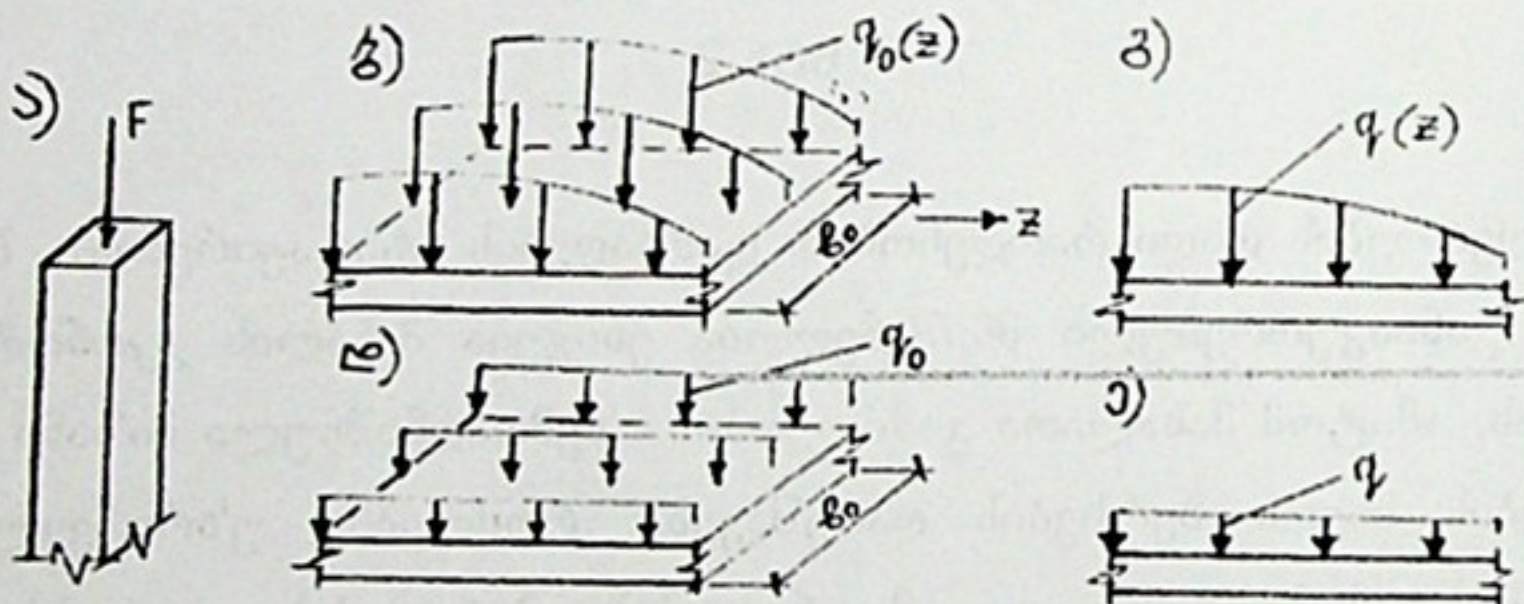
## 1.2 გარებანი კლასიფიკაცია

მექანიკური ზემოქმედებები ნავებობაზე (საექსპლუატაციო დატვირთვები, მიწისძვრის შედეგად აღძრული ძალები და სხვ.) წარმოადგენენ გარეგან ძალებს. ეს ძალები შეიძლება დაიყოს რამდენიმე ნიშან-თვისების მიხედვით. უპირველეს ყოვლისა, გარეგანი ძალები სხეულზე მათი

მოცულობითი ძალები მოქმედებებს სხეულის შიგა წერტილებში და გადანაწილებულნი არიან მთელ მოცულობაში. მოცულობითი ძალებია: სხეულის საკუთარი წონა, ინერციის ძალები, მაგნიტური მიზიდულობის ძალები და სხვა. მათი განზომილებაა კგ/სმ<sup>3</sup>, ტ/მ<sup>3</sup>, კნ/მ<sup>3</sup> და ა.შ.

ზედაპირული ძალები წარმოადგენერ სხეულის ზედაპირზე მოქმედ დატვირთვებს ან სხვა სხეულებიდან გადმოცემულ რეაქციის ძალებს (რეაქციის ძალები ყოველთვის მიეკუთვნებიან გარეგან ძალებს). ზედაპირული ძალები, თავის მხრივ, იყოფა ორ ჯგუფად: შეყურსულ (თავმოყრილ) ძალებად და სხეულის ზედაპირზე განაწილებულ ძალებად.

შეყურსული ეწოდება ისეთ ძალას, რომელიც სხეულს გადაეცემა მისი ზედაპირის ძალიან ძცირე ფართობზე. ამიტომ პირობითად მიიჩნევენ, რომ ძალა მოდებულია სხეულის ზედაპირზე ძღებარე რომელიღაც წერტილში (ნახ. 3.ა). უნდა აღინიშნოს, რომ შეყურსული ძალები ბუნებაში



### ნახ.3

არ არსებობენ. ეს ცნება შემოტანილია გაანგარიშების გამარტივების მიზნით. შეყურსული ძალის მაგალითია რკინიგზის ვაგონის ბორბლის ფერსოს დაწოლა რელსზე და სხვა. მათი განზომილებაა: კგ, ტ, კნ და ა.შ.

განაწილებული ძალები ნაგებობის ელემენტებს გადაეცემა მათი ზედაპირის გარკვეულ ფართობზე. ამ ძალების მოქმედების მაგალითებია: თო-

ვლის დაწოლა სახურავზე, სითხის დაწოლა საცავის ფსკერზე და  
კედლებზე და ა. შ. განაწილებული ძალების განზომილებაა კგ/სმ<sup>2</sup> ტ/მ<sup>2</sup>  
კნ/მ<sup>2</sup> და ა.შ.

ჩვირად ნაგებობის ელემენტების გაანგარიშების დროს ფართობზე  
განაწილებულ დატვირთვას (ნახ.3.ბ) ცვლიან ისეთი დატვირთვით, რომე-  
ლიც მიეკუთვნება ამ ელემენტის სიგრძეს. ასეთი დატვირთვის ინტენსი-  
ურობა იზომება სიგრძის ერთეულზე მოსული დატვირთვით, ანუ  
განისაზღვრება ფართობზე განაწილებული  $q_0$  (ვ) ინტენსიურობის გადამ-  
რავლებით ელემენტის  $b_0$  სიგანეზე, ე.ი.  $q(z) = q_0(z) b_0$  (იხ. ნახ.3.გ). თუ  
 $q_0(z) = q_0 = \text{const}$  (ნახ.3.დ), მაშინ  $q(z) = q = q_0 b_0 = \text{const}$  (ნახ.3.ე).  $q(z)$ -სა და  
ე.ი.  $q$ -ს განზომილებაა კგ/სმ, ტ/მ, კნ/მ და ა.შ.

დროში ცვალებადობის მიხედვით დატვირთვები იყოფა სტატიკურ  
და დინამიკურ დატვირთვებად. სტატიკური დატვირთვა იმდენად ნელი  
ტემპით (თანდათანობით) იზრდება, რომ ელემენტში არ აღიძვრებიან მნი-  
შვნელოვანი აჩქარებები და ე.ი. ინერციის ძალები. დინამიკური დატვირთვა  
კი პირიქით, იმდენად სწრაფად იცვლის თავის სიდიდესა და მიმართულებას,  
რომ ელემენტში იწვევს მნიშვნელოვან აჩქარებებს და ე.ი. ინერციის  
ძალებს. სტატიკური დატვირთვის მაგალითია კედლის დაწოლა საძირკ-  
ველზე მისი თანდათანობით ამოყვანის დროს, ხოლო დინამიკური  
დატვირთვის მაგალითია მოძრავი მატარებლის დატვირთვის მოქმედება  
სილის კონსტრუქციაზე.

მოქმედების ხანგრძლივობის მიხედვით არჩევენ მუდმივ და დროებით  
დატვირთვებს. მუდმივი დატვირთვა მოქმედებს კონსტრუქციის (ნაგებობის)  
ექსპლოატაციის მთელ პერიოდში (მაგ., საკუთარი წონა). დროებითი  
დატვირთვა მოქმედებს დროის შედარებით მოკლე პერიოდში (მაგ. ასაწევი  
ტვირთის წონა ამწესათვის, თოვლის დაწოლა შენობის სახურავზე და ა.შ.).

## პრინციპები

მასალათა გამძლეობა, როგორც მეცნიერების დარგი, აგებულია მთელი რიგი ფიზიკური და გეომეტრიული შინაარსის პრინციპებზე და პიპოთებზე (ვარაუდებზე), სახელდობრ იგულისხმება რომ:

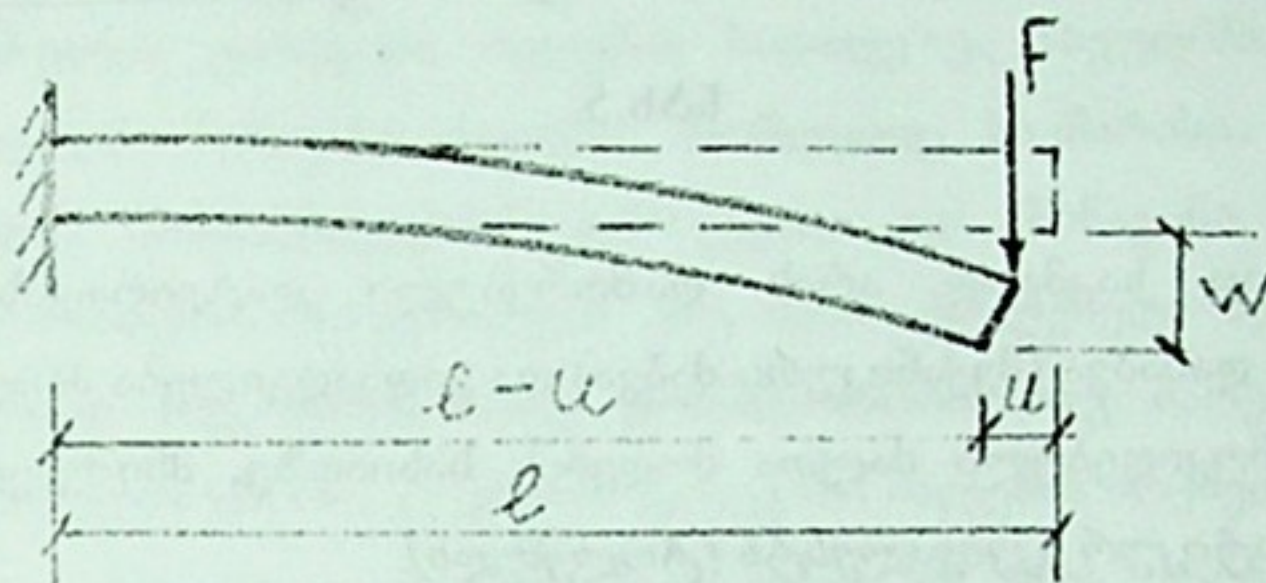
1. გარე ძალების მოქმედებამდე მყარ სხეულს აქვს გარკვეული ფორმა, გარკვეული მოცულობა სივრცეში და იგი დაუძაბავია.

2. მყარი სხეული იდეალურად დრეკადია, ე.ი. გარეგანი ძალების მოშორების შემდეგ იგი მთლიანად აღიდგენს თავის პირვანდელ ფორმასა და ზომებს. სინამდვილეში ეს დაშვება მართებულია მოქმედი გარეგანი ძალის გარკვეულ მნიშვნელობამდე (სიდიდემდე).

3. მყარი სხეული არის უწყვეტი და ერთგვაროვანი, ე.ი. მისი მოცულობა მთლიანად შევსებულია ერთნაირი თვისებების მქონე მასალით ყოველგარი სიცარიელეების გარეშე. ამიტომ, თუ შევისწავლით სხეულის ნებისმიერი წერტილის სიახლოვეში აღებული მცირე მოცულობის დაძაბულ მდგომარეობას, შეიძლება იგი განვაზოგადოთ მთელ სხეულზე.

4. სხეულის მასალა არის იზოტროპული, ე.ი. ისეთი, რომელსაც ყველა მიმართულებით გააჩნია ერთნაირი თვისებები. ასეთებია: ლითონები, ბეტონი, ქვა და სხვა. ბევრ მასალას ბოჭკოვანი აგებულება აქვს (მაგ. ხის მასალას) და სხვადასხვა მიმართულებით სხვადასხვა თვისებებით ხასიათდება. ასეთ მასალებს ანიზოტროპული მასალები ეწოდებათ.

5. მყარ სხეულზე გარეგანი ძალების ზემოქმედებით აღძრული გადადგილებები მეტად მცირეა მის გეომეტრიულ ზომებთან შედარებით. ეს პიპოთებზა საშუალებას იძლევა საკმაოდ გამარტივდეს გაანგარიშება. მაგალითად მე-4 ნახაზზე ნაჩვენებია ერთი ბოლოთი ჩამაგრებული ღერო, რომლის თავისუფალ ბოლოზე მოდებულია შეყურსული  $F$  ძალა. ძალის მოქმედების შედეგად ღერო გაიღუნება და ძალის მოდების წერტილი გადადგილდება როგორც ვერტიკალური ( $W$ ), ასევე პორიზონტალური ( $u$ ) მიმართულებით. ჩამაგრების კვეთის მიმართ მომენტი  $M=F(l-u)$ . იმის გამო, რომ ღეროს / სიგრძესთან შედარებით  $u$  გადაადგილება ძალიან მცირე



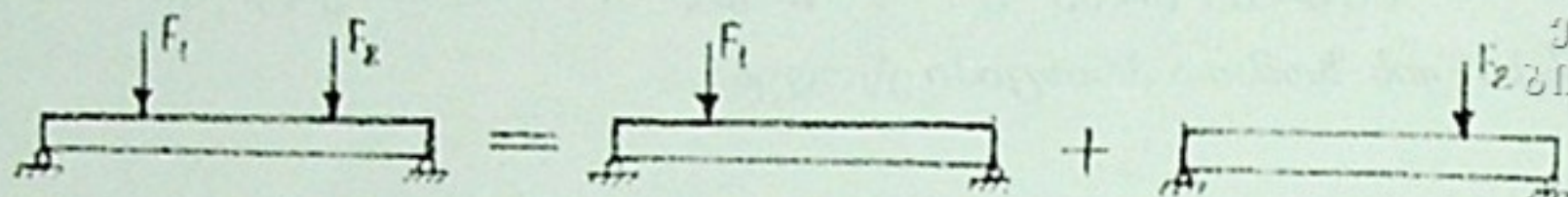
686.4

6. ვინაიდან სხეული იდეალურად დრეკადია (დატვირთვის გარკვეულ სიდიდემდე), მისი ფორმისა და ზომების ცვლილება დროის აღებული მომენტისათვის დამოკიდებულია მხოლოდ ამ მომენტში მოდებულ ძალებზე. წარსულში მოქმედი ძალები არავითარ გავლენას არ ახდენენ სხეულის ფორმისა და ზომების ცვლილების ამჟამინდელ სიდიდეზე.

7. მოქმედი ძალის გარკვეულ სიდიდემდე სხეულის ფორმისა და ზომების ცვლილება მოქმედი ძალის მიმართ წრფივად პროპორციულია.

8. ადგილი აქვს ძალთა მოქმედების დამოუკიდებლობის პრინციპს, რომლის თანახმადაც სხეულზე მოქმედი თითოეული ძალის გავლენა ერთ-ნაირია როგორც ცალკე, ისე სხვა ძალებთან მოქმედების შემთხვევაში. ეს პრინციპი შეიძლება ჩამოყალიბდეს შემდეგნაირად: რამდენიმე ძალის ერთდროული მოქმედებით გამოწვეული ესა თუ ის ფაქტორი ტოლია თითოეულ ამ ძალათაგან გამოწვეულ იმავე ფაქტორთა ჯამისა. ფაქტორში იგულისხმება გადაადგილება, ძაბვა და სხვა. ამ პრინციპს ზოგჯერ შეკრების პრინციპსაც უწოდებენ. აღნიშნული პრინციპი სიმბოლურად წარმოდგენილია მე-5 ნახაზზე.

9. მასალათა გამძლეობაში ფუნდამენტური მნიშვნელობა ენიჭება სენ-ვენანის პრინციპს, რომლის თანახმადაც მყარი სხეულის რაიმე წერტილ-



### ნახ.5

ში, რომელიც საკმაოდ არის დაშორებული დატვირთვის მოდების აღგილიდან. დაძაბვა (მექანიკური ძაბვა) და გადაადგილება პრაქტიკულად არ არის დამოკიდებული ძალთა მოდების ხასიათზე, მნიშვნელობა აქვს მხოლოდ **სტატიკურ ეკვივალენტს (ტოლქმედს)**.

## 1.4 გაკვეთის მეთოდი. შინაგანი პალები

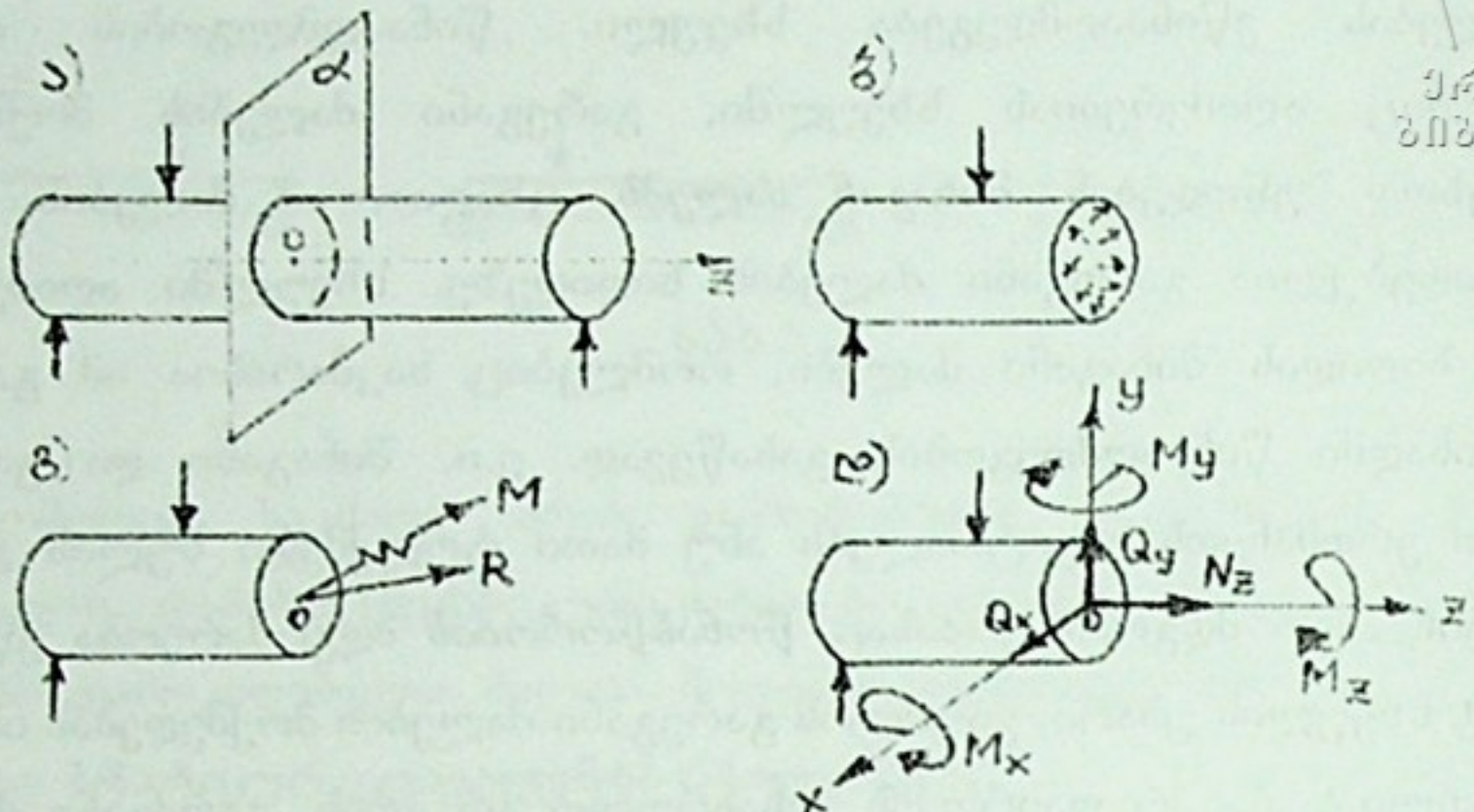
სხეული რომ დავტვირთოთ, საჭიროა მისი სივრცეში დამაგრება ისეთნაირად, რომ იგი არც გადაადგილდეს და არც შემობრუნდეს. ამ დროს დატვირთვა სხეულის დამაგრების (ანუ სხვა სხეულებთან მიერთების აღგილებში) აღძრავს ძალოვან ფაქტორებს (ძალებს და მომენტებს), რომლებსაც საექსპლუატაციო დატვირთვებისაგან (აქციებისაგან) განსხვავებით ვუწოდებთ რეაქტიულ ძალოვან ფაქტორებს (რეაქციებს). სხეულზე მოქმედი აქციები და რეაქციები წარმოადგენენ გარეგანი ძალოვან ფაქტორებს და ისინი აწონასწორებენ ერთმანეთს. ამგვარ მდგომარეობაში მყოფ სხეულს წონასწორობაში მყოფი ეწოდება. ე. ი. სხეული წონასწორობის მდგომარეობაში არის მაშინ, როდესაც ყველა გარეგანი ძალოვანი ფაქტორის (აქციებისა და რეაქციების) ზემოქმედებათა ჯამი ნულის ტოლია.

გარეგანი ძალოვანი ფაქტორებიდან აქციები ანუ საექსპლოატაციო დატვირთვები ცნობილი (მოცემული) სიდიდეებია, ხოლო რეაქციები - უცნობი. ამ უკანასკნელთა განსაზღვრას ვანდენთ ადრე აღნიშნული წონასწორობის პირობების საშუალებით იმის და მიხედვით, თუ რას ვანიცდის სხეული: გაჭიმვას (კუმშვას), ძვრას, გრეხას, თუ ღუნვას.

როგორც უკვე აღვნიშნეთ, გარეგანი ძალები, რომლებიც მოქმედებენ მყარ დრეკად სხეულზე, იწვევენ მისი ფორმისა და ზომების ცვლილებას. ამ

ცვლილებას ეწინააღმდეგება სხეული. წინააღმდეგობის ძალებს, რომლებიც აღიძვრებიან სხეულში, გარეგანი ძალების მოქმედების საპასუხოდ, უწოდებენ **შინაგან ძალებს**. ცხადია, ამ ძალების სიდიდე დამოკიდებულია გარეგანი ძალების სიდიდეზე. სხეულში აღიძვრებიან ისეთი სიდიდის შინაგანი ძალები, რომლებიც საკმარისია ამ გარეგანი ძალებისადმი წინააღმდეგობის გასაწევად. ე.ი. შინაგანი და გარეგანი ძალები ერთმანეთს ანეიტრალებს ანუ მათი ტოლქმედი ნულის ტოლია. სხეულის ასეთ მდგომარეობასაც წონასწორობის მდგომარეობა ეწოდება. მაგრამ, სხეულის უნარი, გაუძლოს გარეგანი ძალების მოქმედებას ისე, რომ მისი მთლიანობა არ დაირღვეს, უსასრულო არ არის. გარეგანი ძალების გაზრდის შემთხვევაში დადგება ისეთი მომენტი, როდესაც სხეულის მიერ წინააღმდეგობის გაწევის უნარი ამოიწურება და იგი დაირღვევა. ამგვარად, ჩვენი მიზანია სხეულის ზომების იმგვარად შერჩევა, რომ ექპლოატაციის პერიოდში მოქმედმა გარეგანმა ძალებმა ვერ მოახდინოს შინაგანი ძალების განვითარების შესაძლებლობის ამოწურვა. ამისათვის უნდა შეგვეძლოს შინაგანი ძალების განსაზღვრა, რისთვისაც ვიყენებთ ერთ-ერთ ყველაზე მეტად გავრცელებულ მეთოდს, რომელსაც გაკვეთის მეთოდი ეწოდება. განვიხილოთ ეს მეთოდი წონასწორობის მდგომარეობაში მყოფი ღეროს მაგალითზე (ნახ. 6,ა).

ეს ღერო წარმოდგენით ანუ წარმოსახვით გაკვეთოთ ის ღერძისადმი მართობული ა სიბრტყით ორ ნაწილად, წარმოდგენითვე მოვაცილოთ ერთი (მაგ. მარჯვენა) ნაწილი და განვიხილოთ მეორე (მარცხენა)ნაწილი. ვინაიდან მთელ ღეროში მოქმედებენ შინაგანი ძალები, ისინი უნდა მოქმედებდნენ გაკვეთის ა სიბრყით მიღებულ ზედაპირზეც (ნახ.6,ბ). ეს ძალები უწყვეტადაა განლაგებული გაკვეთის მთელ ზედაპირზე და თუ მათ გადავიტანთ ა სიბრტყით მიღებული ზედაპირის სიმძი-



### ნახ.6

მის ცენტრში, მივიღებთ ერთ  $R$  ძალას (მთავარ ვექტორს) და ერთ  $M$  წყვილძალას (მთავარ მომენტს) (ნახ.6,გ). თუ  $R$  ძალას დავშლით საკოორდინატო ღერძების მიმართულებებზე, მივიღებთ  $N_z$ ,  $Q_x$  და  $Q_y$  მდგენელებს. ანალოგიურად,  $M$  მომენტიც დაიშლება  $M_x$ ,  $M_y$  და  $M_z$  მდგენელებად (ნახ.6,დ).

ამგვარად, მიღებული სიდიდეები, რომელთა რაოდენობა ექვსია, წარმოადგენენ შინაგანი ძალების კომპონენტებს და მათ უწოდებენ შინაგან ძალოვან ფაქტორებს ღეროს განივ კვეთზე. თითოეულ მათგანს აქვს თავისი სახელი:  $N_z$  არის ნორმალური ძალა;  $Q_x$  და  $Q_y$ -განივი ძალები;  $M_x$  და  $M_y$  - მღუნავი მომენტები;  $M_z$ -მგრეხავი მომენტი.

ვინაიდან მთლიანი სხეული წონასწორობაში იყო, წონასწორობაში უნდა იყოს მისი განსახილველი (მარცხენა) ნაწილიც. ეს გარემოება უფლებას გვაძლევს შევადგინოთ წონასწორობის ექვსი განტოლება:

$$\sum X = Q_x + \sum F_x = 0; \quad \sum Y = Q_y + \sum F_y = 0; \quad \sum Z = N_z + \sum F_z = 0;$$

$$\begin{aligned} \sum m_x &= M_x + \sum M_x^F = 0; \quad \sum m_y = M_y + \sum M_y^F = 0; \\ \sum m_z &= M_z + \sum M_z^F = 0; \end{aligned} \tag{1.1}$$

(მარცხენა) ნაწილზე მოქმედი კველა ძალების გეგმილების ჯამს  $ox, oy$  და  $oz$  ღერძებზე;  $\Sigma m_x, \Sigma m_y, \Sigma m_z$  - ღეროს მარცხენა ნაწილზე მოქმედი კველა ძალების მომენტების ჯამს  $ox, oy$  და  $oz$  ღერძების მიმართ;  $\Sigma F_x, \Sigma F_y, \Sigma F_z$  - ღეროს მარცხენა ნაწილზე მოქმედი გარეგანი ძალების გეგმილების ჯამს  $ox, oy$  და  $oz$  ღერძებზე;  $\Sigma M_x^F, \Sigma M_y^F, \Sigma M_z^F$  - ღეროს მარცხენა ნაწილზე მოქმედი გარეგანი მომენტების ჯამს  $ox, oy$  და  $oz$  ღერძების მიმართ.

(1.1) სისტემის პირველი სამი განტოლებიდან განისაზღვრებიან  $N_z, Q_x$  და  $Q_y$  ძალები, ხოლო მომდევნო სამიდან -  $M_x, M_y$  და  $M_z$  მომენტები.

ამრიგად, შეგვიძლია ჩამოვაყალიბოთ შინაგანი ძალოვანი ფაქტორების განსაზღვრის წესები:

ღეროს განივ კვეთში მოქმედი  $N_z$  ნორმალური ძალა რიცხობრივად ტოლია განივკვეთიდან მარცხენა ნაწილზე მოქმედი კველა გარეგანი ძალების გეგმილების ჯამისა ივ ღერძზე.

ღეროს განივ კვეთში მოქმედი  $Q_x$  და  $Q_y$  განივი ძალები რიცხობრივად უდრის განივკვეთის მარცხენა ნაწილზე მოქმედი კველა გარეგანი ძალების გეგმილების ჯამს  $ox$  და  $oy$  ღერძებზე.

ღეროს განივ კვეთში მოქმედი მღუნავი  $M_x$  და  $M_y$  მომენტები რიცხობრივად უდრის განივი კვეთის მარცხენა ნაწილზე მოქმედი კველა გარეგანი ძალების მომენტების ჯამს  $ox$  და  $oy$  ღერძების მიმართ.

ღეროს განივ კვეთში მოქმედი მგრეხავი  $M_z$  მომენტი რიცხობრივად ტოლია განივკვეთიდან მარცხენა ნაწილზე მოქმედი კველა გარეგანი ძალების მომენტების ჯამისა ივ ღერძის მიმართ.

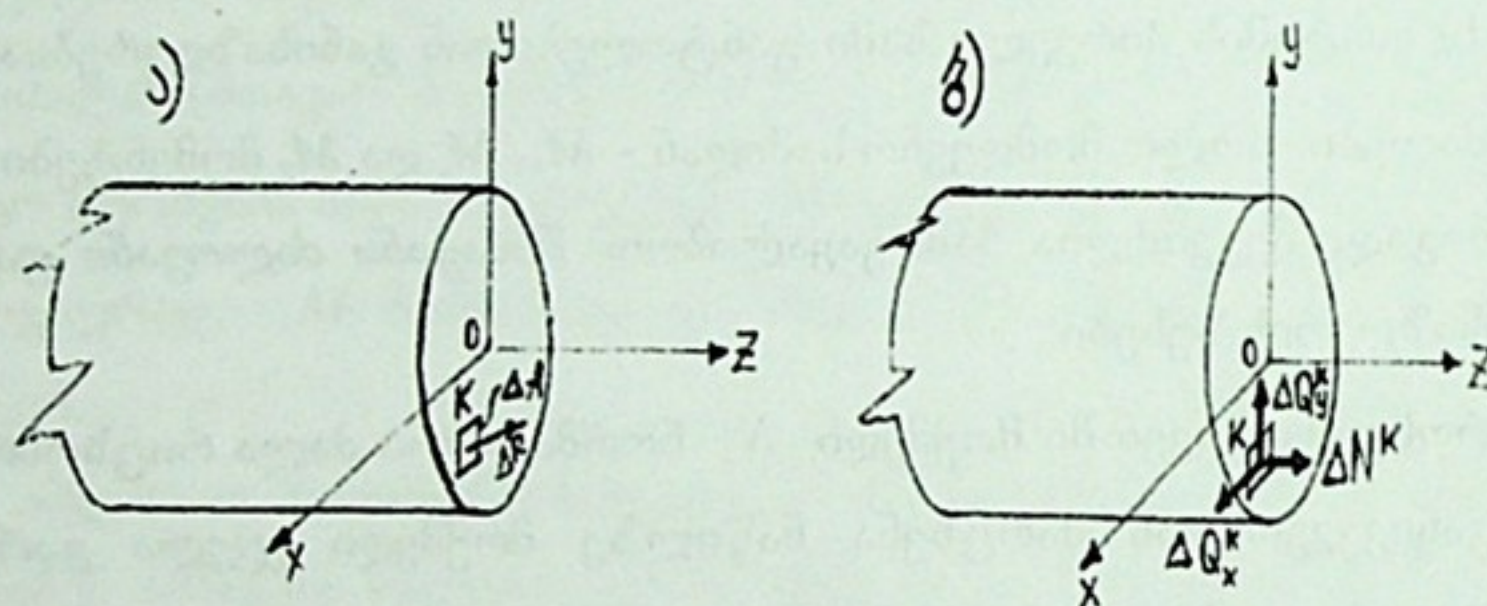
## 1.5 ცნება ძაბვის შესახებ



როგორც უკვე აღვნიშნეთ, განივი კვეთის ზედაპირზე მოქმედებული შინაგანი ძალები, რომლებიც უწყვეტად არიან განლაგებულნი ამ ზედაპირზე (იხ. ნახ.6,δ). ზედაპირის ნებიმიერი  $K$  წერტილის გარშემო გამოვყოთ მცირე და ფართობი, რომლის ფარგლებშიც მოქმედი შინაგანი ძალების ტოლქმედი აღვნიშნოთ  $\Delta A$  ით (ნახ.7,ა) ამ ტოლქმედის გეგმილები საკორდინატო ღერძებზე იქნებიან  $\Delta N^k$ ,  $\Delta Q_x^k$  და  $\Delta Q_y^k$  (ნახ.7,ბ). გამოსახულებას

$$\lim_{\Delta A \rightarrow 0} \frac{\Delta N^k}{\Delta A} = \frac{dN^k}{dA} = \sigma^k \quad (1.2)$$

ეწოდება ნორმალური ძაბვა განივი კვეთის  $K$  წერტილში.



### ნახ.7

ანალოგიურად,

$$\lim_{\Delta A \rightarrow 0} \frac{\Delta Q_x^k}{\Delta A} = \frac{dQ_x^k}{dA} = \tau_x^k \quad (1.3)$$

არის მხები ძაბვა განივი კვეთის  $K$  წერტილში  $Ox$  ღერძის მიმართულებით, ხოლო

$$\lim_{\Delta A \rightarrow 0} \frac{\Delta Q_y^k}{\Delta A} = \frac{dQ_y^k}{dA} = \tau_y^k \quad (1.4)$$

ძაბვის განზომილება, როგორც ფორმულები გვიჩვენებენ, არის  $\text{კგ}/\text{მ}^2$ ,  
 $\text{კნ}/\text{მ}^2$  და ა. შ.

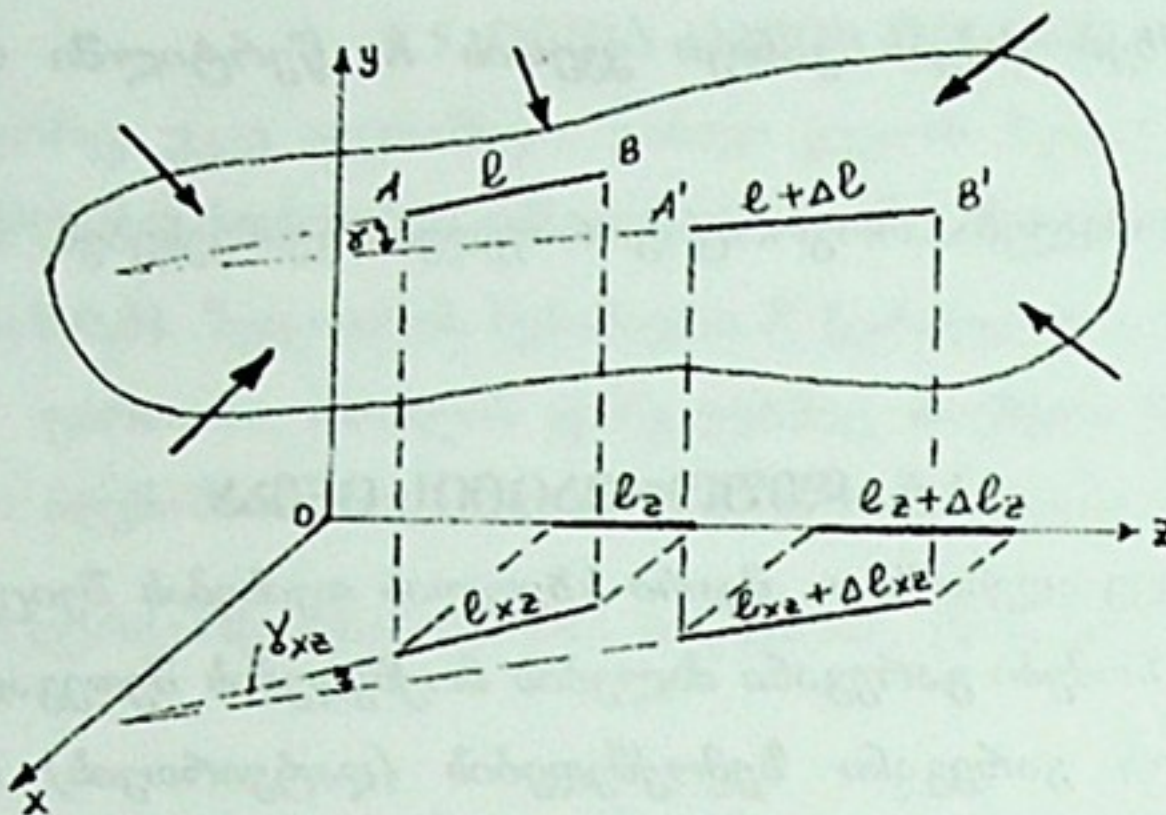
## 1.6. დეფორმაციის ცნება

როგორც უკვე აღვნიშნეთ, მყარი სხეულის თვისებას შეიცვალოს თა-  
ვისი ფორმა და ზომები გარეგანი ძალების მოქმედების შედეგად, ეწოდება  
დეფორმაცია. თუ გარეგანი ზემოქმედების (დატვირთვის) მოცილების  
შემდეგ სხეული მთლიანად აღიდგენს თავის პირვანდელ ფორმას და ზო-  
მებს, დეფორმაცია დრეკადია. სინამდვილეში აბსოლუტურად დრეკადი დე-  
ფორმაცია არ არსებობს. ნებისმიერი მასალისაგან დამზადებულ სხეულს  
დატვირთვის მოცილების შემდეგ ახასიათებს ამა თუ იმ სიდიდის ნარჩენი  
ანუ პლასტიკური დეფორმაცია.

აღსანიშნავია მყარი სხეულის დეფორმირების კიდევ ერთი სახე - დატ-  
ვირთვის შეუცვლელად დეფორმაციის განვითარება ხანგრძლივი დროის  
განმავლობაში (კვირა, თვე, წელიწადი), რასაც მასალის **ცოცვადობა**  
ეწოდება.

სხვადასხვა მასალისაგან დამზადებული ერთი და იგივე ზომისა და  
ფორმის სხეულებში ერთი და იგივე გარეგანი ძალების მოქმედებისას სხვა-  
დასხვა სიდიდის დეფორმაციები აღიძვრებიან. მაგალითად, კაუჩუკისაგან  
დამზადებული ღერო 20000-ჯერ მეტად დაგრძელდება გაჭიმვისაგან,  
კიდრე ზუსტად იგივე ფორმისა და ზომის მქონე ფოლადის ღერო.

განვიხილოთ სხეულის ნებისმიერი წერტილიდან გამომავალი ნების-  
მიერი მიმართულების  $AB = /$  მონაკვეთი (ნახ.8). დეფორმაციის შედეგად  $AB$   
მონაკვეთი შეიცვლის როგორც სიგრძეს, ასევე მიმართულებას სივრცეში და  
გარდაიქმნება  $A'B' = / + \Delta /$  მონაკვეთად. სიდიდეს



ნახ.8

$$\varepsilon = \frac{\Delta l}{l} \quad (1.5)$$

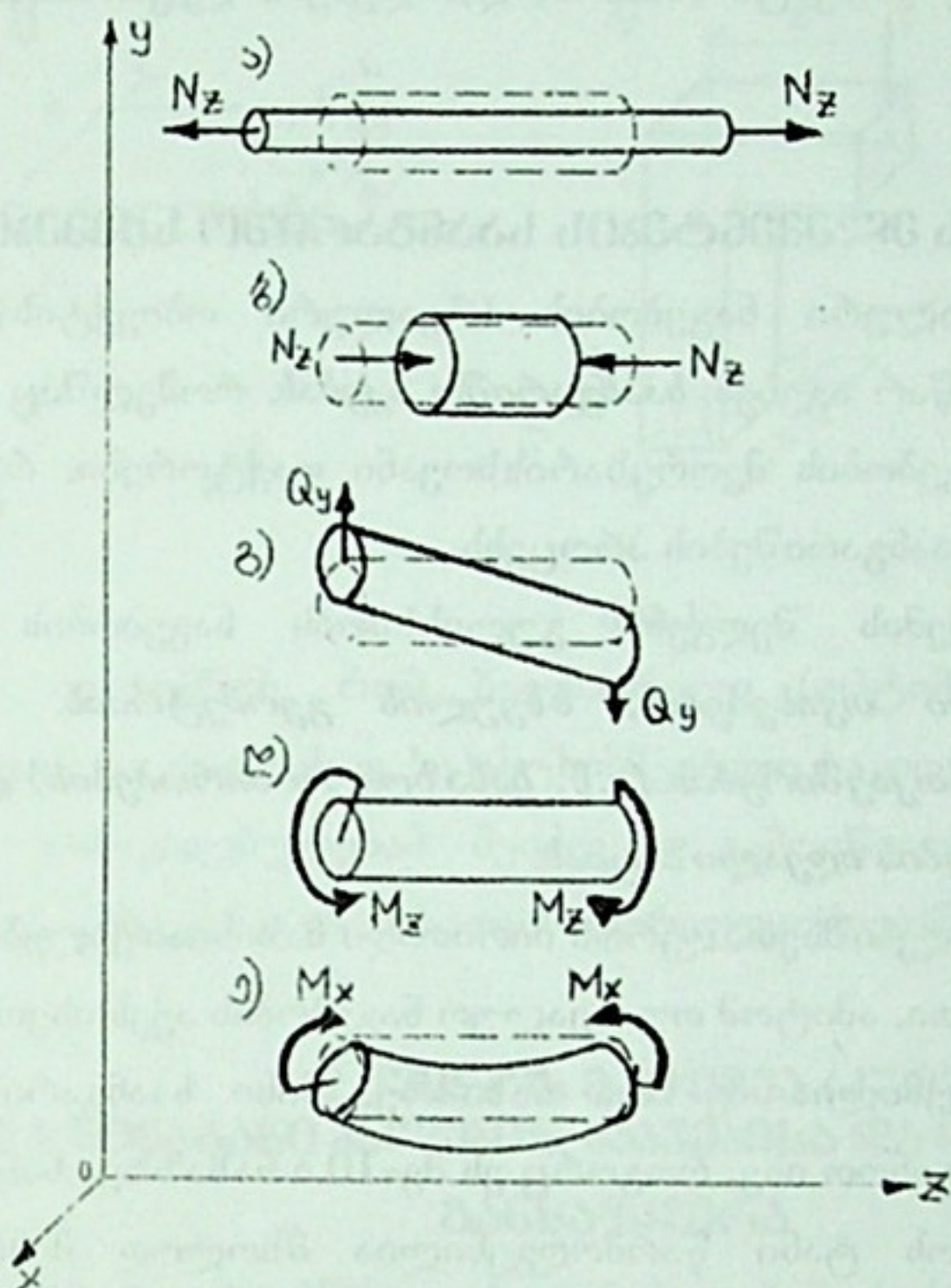
უწოდებენ ფარდობით ხაზობრივ დეფორმაციას  $l$ -ის მიმართულებით. საკონრდინატო ღვერძის მიმართულებით ფარდობითი ხაზობრივი დეფორმაცია იქნება (ნახ. 8)

$$\varepsilon_z = \frac{\Delta l_z}{l_z} \quad (1.6)$$

ანალოგიურად მიიღება

$$\varepsilon_x = \frac{\Delta l_x}{l_x}, \quad \varepsilon_y = \frac{\Delta l_y}{l_y}, \quad (1.7)$$

იმ მცირე  $\gamma$  კუთხეს, რომლითაც  $AB$  მონაკვეთი შეიცვლის თავის მიმართულებას სივრცეში (იხ. ნახ.8), უწოდებენ კუთხურ დეფორმაციას. თუ  $AB$  და  $A'B'$  მონაკვეთებს დავაგეგმილებთ საკონრდინატო სიბრტყეებზე, გვექნება კუთხური დეფორმაციის სამი მდგენელი:  $\gamma_{xx}$ ,  $\gamma_{yy}$  და  $\gamma_{zz}$ . ინდექსები მიუთითებს იმ საკონრდინატო სიბრტყეებს, რომლებზედაც დაგეგმარებულია  $\gamma$  კუთხე, ანუ  $AB$  და  $A'B'$  მონაკვეთები.



### ნახ.9

ღეროს განივ კვეთში აღძრული შინაგანი ძალოვანი ფაქტორები სავსებით განსაზღვრავს მისი დეფორმაციის ხასიათს. დეფორმაცია შეიძლება იყოს რთული, მაგრამ იგი ყოველთვის შეგვიძლია წარმოვადგინოთ როგორც რამდენიმე მარტივი დეფორმაციის ერთობლიობა.

თუ ღეროს წარმოდგენით გავკვეთავთ ორი სიბრტყით, ე.ი. გამოვყოფთ მისგან რაღაც სასრულო სიგრძის ელემენტს, შეგვიძლია დავადგინოთ მარტივი დეფორმაციის სახეები, რომლებსაც დეფორმაციის ძირითად სახეებს უწოდებენ (ნახ.9). თითოეულ მათგანს იწვევს გარკვეული შინაგანი ძალოვანი ფაქტორი. ასე მაგალითად, გაჭიმვის ან კუმშვის დეფორმაციებს იწვევს  $N_z$  ძალა იმისდა მიხედვით, თუ როგორ არის იგი მიმართული (ნახ.9,ა და 9,ბ); ძვრის დეფორმაციას იწვევს  $Q_y$  ძალა (ნახ. 9,გ); გრეხის



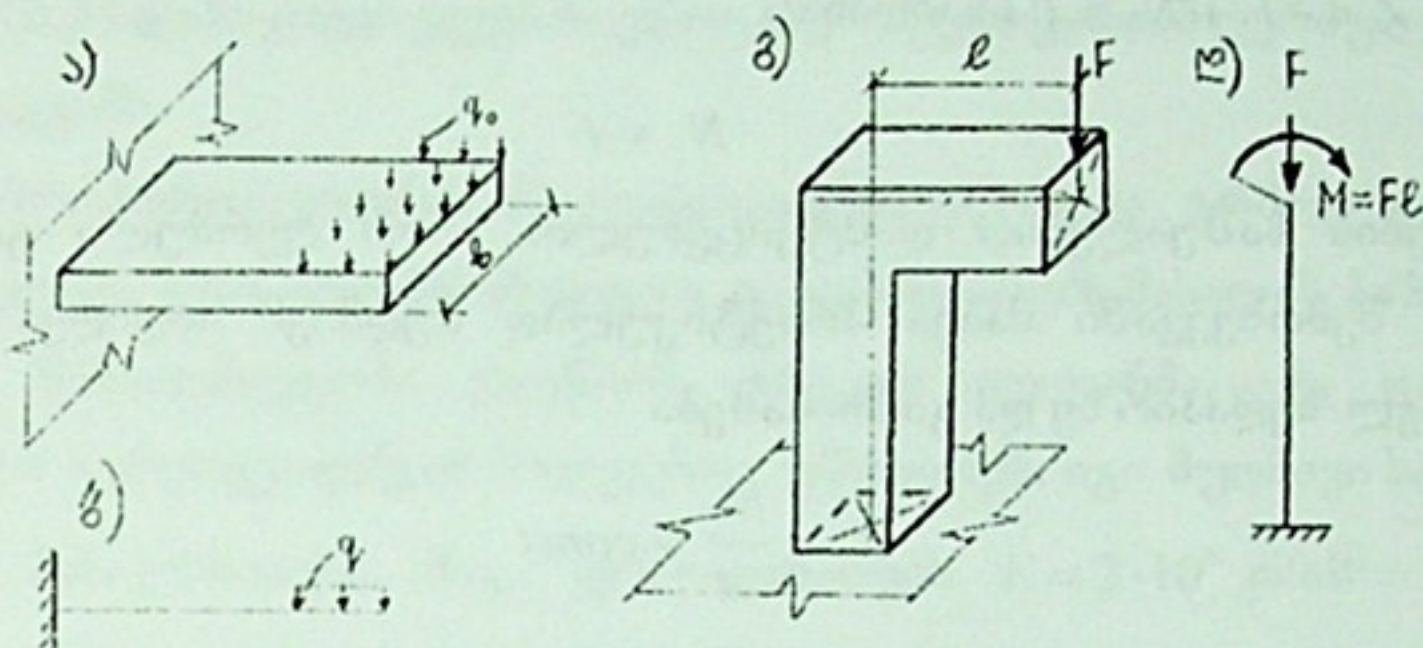
## 1.7. ნაგებობის ელემენტების საანგარიშო სემები

ნებისმიერი რეალური ნაგებობის (რეალური ობიექტის) გაანგარიშებისათვის წინასწარ აკებენ საანგარიშო სქემას, რომელშიც უგულვებელყოფილია ამ ნაგებობის მეორეხარისხოვანი ფაქტორები, რაც, თავის მხრივ, ამარტივებს გაანგარიშების პროცესს.

საანგარიშო სქემის შედგენა გულისხმობს ნაგებობის მასალის ფიზიკურ-მექანიკური თვისებების, სხეულის გეომეტრიის, ნაგებობის ელემენტთა ურთიერთკავშირების (ე.წ. სასაზღვრო პირობების) და გარეგანი ძალების მოქმედების იდეალიზაციას.

როგორც ადრე აღვნიშნეთ, ღეროს ძირითადი მახასიათებლებია გრძივი ღერძი და განივი კვეთი. ამიტომ თუ რეალურ ნაგებობას აქვს ისეთი სახე, როგორიც წარმოდგენილია მე-10,ა ნახაზზე. მისი საანგარიშო სქემა შეიძლება წარმოვადგინოთ ისე, როგორც ეს მე-10,ბ ნახაზზეა ნაჩვენები. ამ უკანასკნელზე ღეროს ტანი წარმოდგენილია მხოლოდ მისი გრძივი ღერძით. გარდა ამისა, ღეროს ჩამაგრება წარმოდგენილია იდეალიზებული ხისტი საყრდენის სახით და განაწილებული დატვირთვის  $q_0$  ინტენსიურობა ფართობის ერთეულზე წარმოდგენილია  $q = q_0 h$  განაწილებული დატვირთვის ინტენსიურობით სიგრძის ერთეულზე. საანგარიშო სქემაზე ხისტი ჩამაგრება გამორიცხავს ჩამაგრების სიბრტყეში არსებული განივი კვეთის როგორც ხაზობრივ გადააგილებას, ისე შემობრუნებას.

10.გ ნახაზზე ნაჩვენებია კიდევ ერთი რეალური ნაგებობა. ოუ ჩვენ გვინდა გავიანგარიშოთ ამ ნაგებობის ვერტიკალური ელემენტი, მაშინ ვქმნით სააგარიშო სქემას, რომელიც წარმოდგენილია 10.დ ნახაზზე.



### ნახ.10

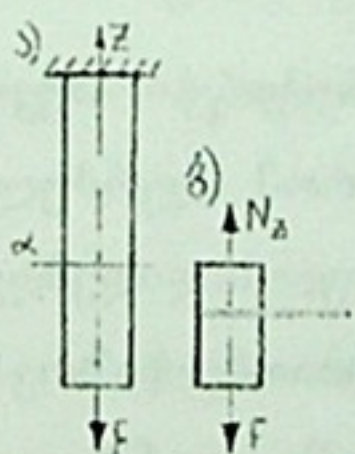
უნდა აღინიშნოს, რომ ხელსაყრელი (ოპტიმალური) საანგარიშო სქემის შედგენა უაღრესად საპასუხისმგებლო საკითხია. ამ საკითხისადმი ზერელი დამოკიდებულებამ შეიძლება გამოიწვიოს როგორც მასალის გადახარჯვა, ასევე ნაგებობისათვის ავარიული მდგომარეობის შექმნა.

## 2. ღეროს გაჭიმვა (კუმშვა)

### 2.1 შინაგანი პალების, პაპებისა და ღევორომაციების

#### განსაზღვრა

სწორსაზოვანი (წრფივი) ღეროს გაჭიმვის (კუმშვის) უმარტივესი შემთხვევაა ცენტრალური ანუ ღერძული გაჭიმვა (კუმშვა), რომელსაც ადგილი აქვს მაშინ, როდესაც გარეგანი გამჭიმავი (მკუმშავი) ძალა მოქმედებს ღეროს გრძივი ღერძის გასწვრივ.



### ნახ.11

განვიხილოთ წრფივი ღეროს ღერძული გაჭიმვის შემთხვევა (ნახ. 11,ა). წარმოდგენით გავკვეთოთ ღერო მისი გრძივი ღერძისადმი მართობული  $\alpha$  სიბრტყით.

წარმოდგენითვე მოვაცილოთ ზედა ნაწილი და განვიხილოთ ქვედა ნაწილის წონასწორობა (ნახ. 11,ბ).

ვინაიდან მთლიანი ღერო წონასწორობაშია, წონასწორობაში უნდა იყოს მისი განსახილველი ნაწილიც.

მივმართოთ წონასწორობის (1.1) განტოლებებს. წონასწორობის ექვსი პირობიდან ხუთი იგივეურად კმაყოფილდება და გვრჩება მხოლოდ

ერთი:  $\sum Z = -F + N_z = 0$ , საიდანაც

$$N_z = F$$

ცდების საშუალებით დამტკიცებულია, რომ ღერძული გაჭიმვის (კუმშვის) შემთხვევაში ძაბვა პრაქტიკულად მუდმივი სიდიდეა განივი კვეთის მთელ ზედაპირზე და გამოისახება

$$\sigma_z = \frac{N_z}{A} = const \quad (2.2)$$

სადაც  $A$  განივი კვეთის მთლიანი ფართობია.

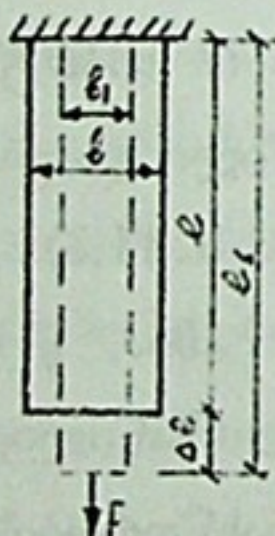
რადგანაც (2.1)-ის თანახმად  $N_z = F$ , (2.2) მიიღებს სახეს

$$\sigma_z = \frac{F}{A} \quad (2.3)$$

ახლა განვიხილოთ იმავე ღეროს დეფორმირება ღერძული გაჭიმვის დროს (ნახ. 12). გაჭიმვის შედეგად ღერო დაგრძელდება  $\Delta l$  სიდიდით, რომელსაც აბსოლუტურ წაგრძელებას ანუ აბსოლუტურ ხაზოვან დეფორმაციას უწოდებენ. როგორც ნახაზიდან ჩანს,  $\Delta l = l_1 - l$ . თუ აბსოლუტურ წაგრძელებას შევუფარდებთ ღეროს საწყის სიგრძეს, მივიღებთ ფარდობით წაგრძელებას ანუ ფარდობით ხაზოვან დეფორმაციას.

$$\varepsilon = \frac{\Delta l}{l} \quad (2.4)$$

როგორც (2.4)-დან ჩანს, ფარდობითი დეფორმაცია უგანზომილებო სიდიდეა.



ინგლისელმა ფიზიკოსმა რობერტ ჰექმა ცდების საშუალებით დაამტკიცა, რომ ღერძული გაჭიმვის შემთხვევაში (ძალის გარკვეულ სიდიდემდე) ნორმალურ ძაბვასა და ფარდობით ხაზოვან დეფორმაციას შორის არსებობს წრფივი დამოკიდებულება, ე.ი.

$$\sigma = E\varepsilon \quad (2.5)$$

ნახ. 12

საქართველოს  
გიმნაზიანული  
სისტემის

(2.5) დამოკიდებულებას უწოდებენ პუკის კანონის ღერძული გაჭიმვის  
შემთხვევაში.

პროპორციულობის  $E$  კოეფიციენტს უწოდება გრძივი დრეკადობის  
ან, მოკლედ, დრეკადობის მოდული. იგი ახასიათებს მასალის სიხისტეს, ე.ი.  
უნარს წინააღმდეგობა გაუწიოს დრეკად დეფორმაციას. დრეკადობის  
მოდულს აგრეთვე იუნგის მოდულსაც უწოდებენ. იგი მუდმივი სიდიდეა ამა  
თუ იმ მასალისათვის. მაგ., ფოლადისათვის  $E = 2 \cdot 10^6 \text{ კნ/სმ}^2 = 2 \cdot 10^5 \text{ მპა}$  ;  
თუჯისათვის  $E = 1 \cdot 10^6 \text{ კნ/სმ}^2 = 1 \cdot 10^5 \text{ მპა}$ ; ხის მასალისათვის (ბოჭკობის გა-  
სწვრივ)  $E = 1 \cdot 10^5 \text{ კნ/სმ}^2 = 1 \cdot 10^4 \text{ მპა}$  და ა.შ.

(2.3) და (2.4) -ის თანახმად (2.5) მიიღებს სახეს:

$$\frac{F}{A} = E; \frac{\Delta l}{l}$$

საიდანაც

$$\Delta l = \frac{Fl}{EA} \quad (2.6)$$

$E/A$  ნამრავლს უწოდება განივი კვეთის სიხისტე გაჭიმვის (კუმშვის)  
შემთხვევაში.

ლეროს გაჭიმვის შემთხვევაში მისი განივი კვეთის ზომები  
კლებულობს, ხოლო კუმშვის შემთხვევაში - იზრდება. თუ ლეროს საწყისი  
სიგრძეა  $l$ , ხოლო სიგანე  $b$  (იხ. ნახ. 12), გარეგანი ძალის მოქმედების გამო  
მისი სიგრძე გახდება  $l_1$ , ხოლო სიგანე -  $b_1$ . ფარდობითი ხაზოვანი  
დეფორმაცია განივი მიმართულებით (განივი დეფორმაცია) იქნება

$$\varepsilon_1 = \frac{b_1 - b}{b} = - \frac{\Delta b}{b}.$$

ცდებით დადგენილია, რომ განივი  $\varepsilon_1$  ფარდობითი ხაზოვანი დეფორ-  
მაციის შეფარდება გრძივ  $\varepsilon$  ფარდობით ხაზოვან დეფორმაციასთან  
გარკვეულ ზღვრამდე გაჭიმვისას (კუმშვისას) თითოეული მასალისათვის  
მუდმივი სიდიდეა:

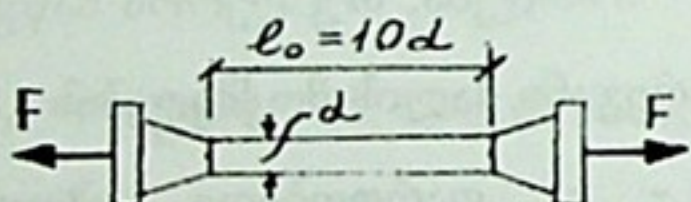
$$\mu = - \frac{\varepsilon_1}{\varepsilon} \quad (2.7)$$

$\mu$  - ს უწოდებენ განივი დეფორმაციის კოეფიციენტს ანუ პუსონის კოეფიციენტს. სხვადასხვა მასალისათვის  $0 \leq \mu \leq 0,5$  მაგალითად, ბეტონისათვის  $\mu = 0,2$ ; ფოლადისათვის  $\mu = 0,3$ ; რეზინისათვის  $\mu = 0,47$ ; პარაფინისათვის  $\mu = 0,5$  და ა.შ.

## 2.2 მასალების მექანიკური თვისებების ექსარიგენტული შესწავლა

პრაქტიკული ამოცანების გადაწყვეტისათვის საჭიროა ვიცოდეთ მასალის მექანიკური მახასიათებლები, რომლებიც განისაზღვრებიან ნიმუშის გამოცდით გაჭიმვაზე (კუმშვაზე) სპეციალური მოწყობილობების საშუალებით.

**გაჭიმვის დიაგრამა.** ცდების შედეგების ერთმანეთთან შედარების მიზნით დადგენილია გამოსაცდელი ნიმუშების გარკვეული ზომები, რომლებიც აღიარებულია ტიპიურ სახეებად (სტანდარტებად). ერთ-ერთი ნიმუში წარმოდგენილია მე-13 ნახაზზე.

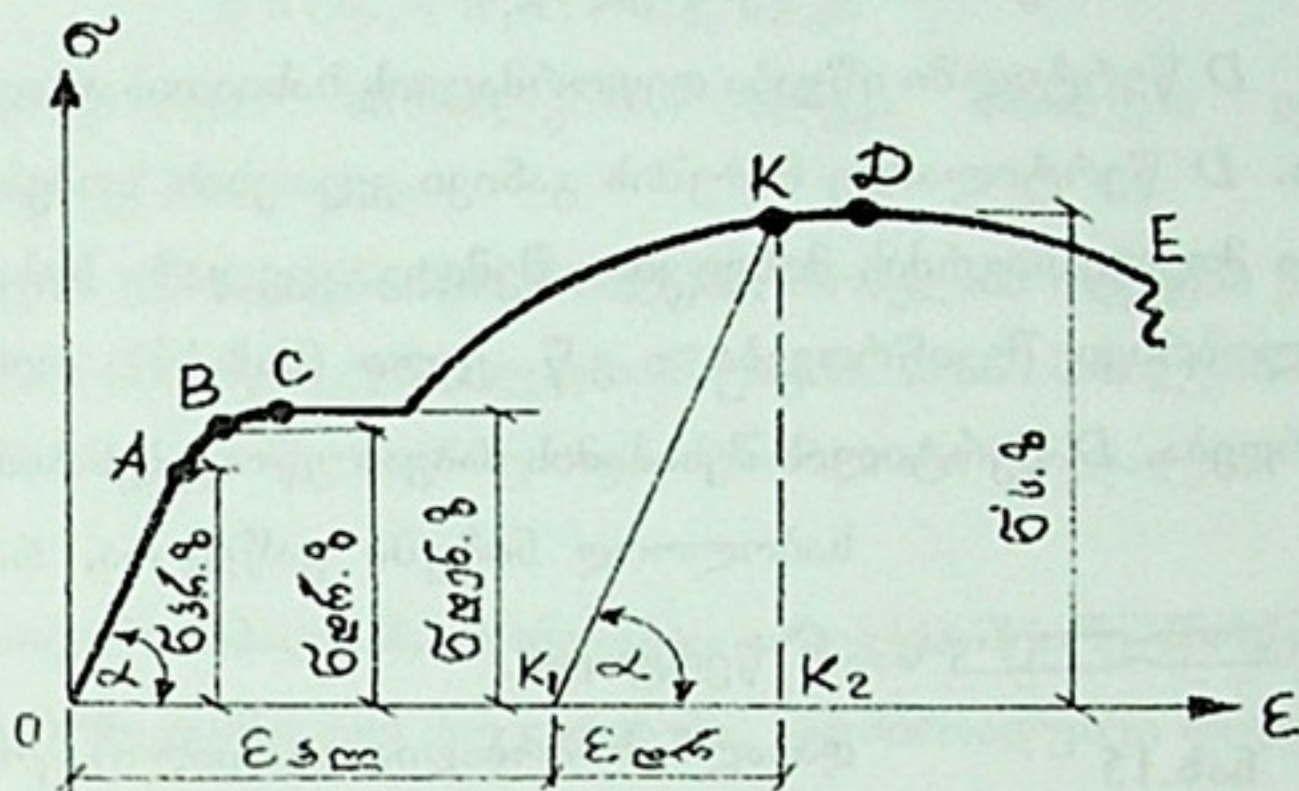


ნახ.13

გრაფიკს, რომელიც ასახავს დამოკიდებულებას სტატიკურად მოქმედ გამჭიმავ  $F$  ძალასა და ნიმუშის აბსოლუტურ  $\Delta l$  წაგრძელებას შორის, გაჭიმვის დიაგრამა ეწოდება. უფრო მოსახერხებელია დიაგრამა წარმოვადგინოთ ისეთი წესით, რომელიც დაამყარებს დამოკიდებულებას ნორმალურ საბაზასა და  $\varepsilon$  დეფორმაციას შორის. ამისათვის საჭიროა  $F$  ძალა გავყოთ ნიმუშის განივი კვეთის საწყის  $A_0$  ფართობზე, ხოლო  $\Delta l$  წაგრძელება გავყოთ ნიმუშის საწყის  $l_0$  სიგრძეზე.

განვიხილოთ გაჭიმვის დიაგრამა, რომელიც მიიღება მცირენას მიზადიანი ფოლადის ნიმუშის გამოცდით (ნახ. 14).

დიაგრამის  $O\sigma$  უბანი წარმოადგენს თითქმის სწორ დახრილ ხაზს, რაც იმას ნიშნავს, რომ ამ საზღვრებში დაცულია ძაბვებსა და დეფორმაციებს შორის წრფივი დამოკიდებულება და ე.ი. პუკის კანონი, რომელიც მართებულია პროპორციულობის ზღვრამდე.



ნახ.14

პროპორციულობის ზღვარი ეწოდება ძაბვის ისეთ უდიდეს მნიშვნელობას, რომლისთვისაც ძალაში რჩება პუკის კანონი.

$O\sigma$  ხაზის დახრის  $\alpha$  კუთხის ტანგენსი ტოლია დრეკადობის მოდულისა, რადგანაც  $tg\alpha = \sigma / \varepsilon$ , ხოლო პუკის კანონის თანახმად (იხ. ფორმ. 2.5)  $E = \sigma / \varepsilon$ .

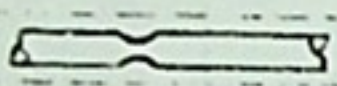
1 წერტილის ზევით დიაგრამა მრუდდება და, ცხადია, პუკის კანონი ირღვევა. 1 წერტილთან ახლოსაა  $B$  წერტილი, რომლისთვისაც მასალის დრეკადობა ძალაში რჩება.  $\sigma_{\text{დრ.}} / \varepsilon$  უწოდებენ დრეკადობის ზღვარს. ვინაიდან  $B$  წერტილი ძალიან ახლოსაა 1 წერტილთან, ამიტომ მათ ხშირად თვლიან შეთავსებულად 1 წერტილში.

დიაგრამის  $C$  წერტილიდან ხდება მკვეთრი ხარისხობრივი ცვალებადობა - დატვირთვის გაზრდის გარეშე დეფორმაცია სწრაფად იზრდება; ეს მოვლენა დიაგრამაზე გამოსახულია თითქმის პორიზონტალური უბნით, რომელსაც შეესაბამება დენადობის ზღვარი ( $\sigma_{\text{დრ.}}$ ). ე.ი. დენადობის ზღვარი ეწოდება ძაბვას, რომლის დროსაც დეფორმაციები იზრდება

დენადობის პროცესის დამთავრების შემდეგ ნიმუში კვლავ იძენს წინაღობის უნარს. ხდება ფოლადის „თვითგანმტკიცება“, რომლის მიზეზებიც ჯერ არ არის საკმარისად შესწავლილი.

*D* წერტილში იწყება დეფორმაციის ხასიათის ახალი ხარისხობრივი ცვლა. *D* წერტილამდე ნიმუშის განვითარების ზომები თანაბრად მცირდება მთელი სიგრძის მიხედვით. შემდეგ, ყველაზე სუსტ კვეთში ჩნდება ადგილობრივი შევიწროვება - ე.წ. ყელი (ნახ.15), რომელიც სწრაფად ვითარდება. *D* წერტილის შესაბამის ძაბვას უწოდებენ სიძუკიცის ზღვარს.

საბოლოოდ ნიმუში გაწყდება, რასაც შეესაბამება



### *E* წერტილი.

ნახ.15

დაბალნახშირბადიანი (რბილი) ფოლადების მექანიკური მახასიათებლების რიცხვითი მნიშვნელობებია  $\sigma_{\text{არ.}} = 2100 \text{ კგ/სმ}^2 = 210 \text{ მპა}$ ;  $\sigma_{\text{ლუ.}} = 2400 \text{ კგ/სმ}^2 = 240 \text{ მპა}$ ;  $\sigma_{\text{ს.}} = 4000 \text{ კგ/სმ}^2 = 400 \text{ მპა}$ ;

თუ ნიმუშის განტვირთვას მოვახდენთ *B* წერტილამდე (იხ. ნახ. 14), განტვირთვის ხაზი ზუსტად გაყვება დატვირთვის ხაზს და საბოლოოდ შეუთავსდება ი წერტილს. მაგრამ, სულ სხვა სურათი გვექნება თუ განტვირთვას მოვახდენთ დენადობის უბნის შემდეგ, მაგალითად *K* წერტილიდან. როგორც ცდები გვიჩვენებს, განტვირთვა ყოველთვის ხდება სწორი ხაზის სახით; ამასთანავე, დრეკადობის მოდულის მნიშვნელობა უცვლელი რჩება, ე.ი. დიაგრამაზე  $KK_1$  წრფე პარალელურია  $OJ$  წრფისა;  $K_1K_2$  მონაკვეთი არის დრეკადი დეფორმაცია,  $OK_1$  - ნარჩენი (პლასტიკური) დეფორმაცია.

განმეორებითი დატვირთვის შემთხვევაში დიაგრამა გაივლის იმავე  $K_1K$  მონაკვეთს. ე.ი. დიაგრამის ის ნაწილი, რომელიც *K* წერტილის მარცხნივ არის მოთავსებული, არ მეორდება; ამგვარად, ვღებულობთ ახალი მექანიკური თვისებების მქონე გარდაქმნილ მასალას, რომელსაც არ

გააჩნია დენადობის ბაქანი და აქვს უფრო მაღალი პროპორციულობის ზღვარი. პროპორციულობის ზღვრის გაზრდას განმეორებითი დატვირთვის შემთხვევაში უწოდებენ **ცივჭედვას**.

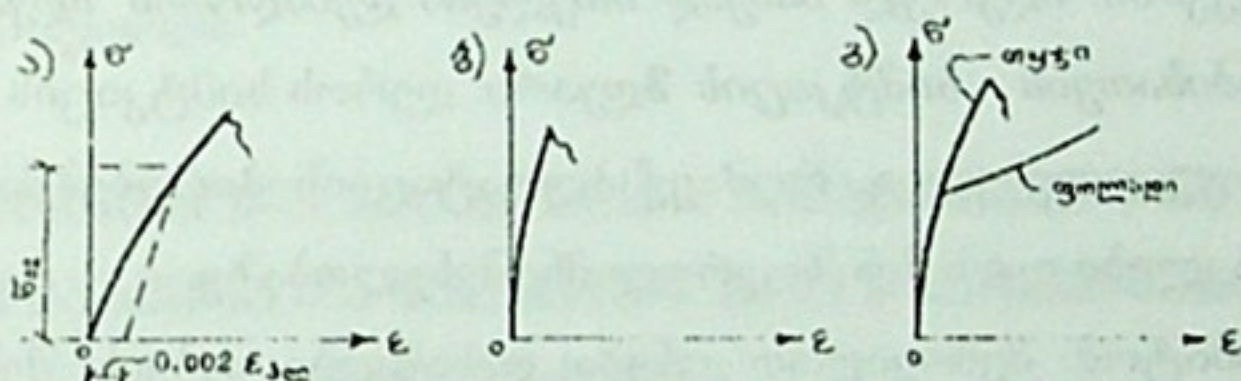
*Κ წერტილის შესაბამისი სრული დეფორმაცია*

$$\varepsilon = OK_1 + K_1 K_2 = \varepsilon_{\text{აღ}} + \varepsilon_{\text{ღ}}$$

ასეთი დიაგრამები საშუალებას იძლევა მასალები დავყოთ პლასტიკურ და მყიფე მასალებად.

პლასტიკურს უწოდებენ ისეთ მასალებს, რომელთა რღვევას წინ უძღვის დიდი ნარჩენი (პლასტიკური) დეფორმაციები. ასეთი მასალებია: სუფთა რკინა, ჩვენ მიერ განხილული მცირენახშირბდიანი ფოლადები, ალუმინი და სხვა.

მყიფე ეწოდება მასალებს, რომლებიც ირღვევა მცირე ნარჩენი დეფორმაციების შემთხვევაში; მათ მიეკუთვნება: ნახშირბადუხვი ფოლადები, თუჯი, ცემენტი, ბეტონი, კირი, მარმარილო და სხვა.



ნახ.16

ზოგიერთ პლასტიკურ მასალას (მაგ. ბრინჯაოს) არ გააჩნია გაჭიმვის დიაგრამაზე დენადობის ბაქანი (ნახ. 16,ა). ასეთი მასალებისათვის შემოღებულია პირობითი დენადობის ზღვრის ცნება. ასეთ ზღვრად მიიჩნევა ძაბვა, რომელიც შეესაბამება ნარჩენი დეფორმაციის 0,2 %. ეს მექანიკური ძაბვა აღინიშნება  $\sigma_{0.2}$ -ით.

მყიფე მასალები (თუჯი, ბეტონი, მინა) გაჭიმვის დროს ირღვევიან დენადობის უბნისა და ყელის გაჩენის გარეშე (ნახ. 17,ბ). მათი რღვევა ხასიათდება იმით, რომ ადგილი აქვს მცირე ნარჩენ (პლასტიკურ) დეფორმაციებს.



**კუმშვის დიაგრამა.** ლითონის კუმშვაზე გამოცდა ხდება ცილინდრული სახის ნიმუშებზე, რომელთა სიმაღლე დიამეტრის ტოლია ( $d_{\text{მას}} \approx 200 \text{ მმ}$ ). სხვა მასალებისათვის იყენებენ კუბის სახის ნიმუშებს: ხის მასალებისათვის  $a=50$  მმ, ცემენტისათვის  $a=200 \div 300$  მმ, სადაც  $a$  არის კუბის წიბოს სიგრძე.

განვიხილოთ ფოლადისა და თუჯის კუმშვის დიაგრამები, რომლებიც თვალსაჩინოებისთვისაა მოცემული ერთ ნახაზზე (ნახ. 16, გ). თუ ფოლადისათვის დატვირთვის გაზრდა იწვევს დეფორმაციის გაზრდას რამე ბზარების გაჩენის გარეშე, თუჯის ნიმუშის დარღვევა იწყება უეკრად და პირველი ბზარების გაჩენასთან ერთად ძაბვა მკვეთრად ეცემა.

მასალების მექანიკური გამოცდის მთავარი მიზანია დავადგინოთ ის ზღვრული ძაბვა, რომლის მიღწევისას კონსტრუქციის ელემენტებში ხდება ნორმალური მუშაობის პირობების დარღვევა.

პლასტიკური მასალებისათვის, სტატიკური დატვირთვების შემთხვევაში ზღვრულ ძაბვად ითვლება დენადობის ზღვარი, ხოლო მყიფე მასალებისათვის - სიმტკიცის ზღვარი. ღეროს სიმტკიცის უზრუნველყოფისათვის აუცილებელია, რომ ექსპლუატაციის პირობებში მასში აღმრული ძაბვა ნაკლები იყოს მის ზღვრულ მნიშვნელობაზე.

ამიტომ შემოვიდოთ ცნება დასაშვები ძაბვის შესახებ. დასაშვები ძაბვა ეწოდება ძაბვის იმ უდიდეს მნიშვნელობას, რომლის მოქმედებისას კონსტრუქცია იმუშავებს ხანგრძლივი დროის განმავლობაში დარღვევის ფორმავარი საშიშროების გარეშე. დასაშვები ძაბვა აღინიშნება  $[\sigma]$  სიმბოლოთი და განისაზღვრება ზღვრული (საშიში, სახიფათო)  $\sigma_{\text{საშიში}}$  ძაბვის შეფარდებით მასალის სიმტკიცის მარაგის კოეფიციენტთან  $[\sigma] = \sigma_{\text{საშიში}} / n$ .

კერძოდ, პლასტიკური მასალებისათვის  $[\sigma] = \sigma_{\text{საშიში}} / n_1$ , ხოლო მყიფე მასალებისათვის  $[\sigma] = \sigma_{\text{საშიში}} / n_2$ .

$n_1$  და  $n_2$  სიმტკიცის მარაგის კოეფიციენტები მოცემულია ცნობარებში;

ლატვირთვების მიერ ღეროში აღმრულ ძაბვებს მუშა ძაბვები  
ეწოდებათ. კონსტრუქციის უსაფრთხო, ნორმალური მუშაობისათვის საჭიროა რომ ეს ძაბვები არ აჭარბებდეს დასაშვებ ძაბვებს. ცალკეულ შემთხვევებში ნებადართულია დასაშვები ძაბვებიდან  $3 \div 5\%$ -იანი გადახრა, თუ ეს დასაბუთებულია კონსტრუქციული მოსაზრებებით. ამგვარად, გაჭიმვის (კუმშვის) შემთხვევაში მუშა ძაბვების მაქსიმალური მნიშვნელობა.

$$\sigma_{\max} = \frac{N}{A} \leq [\sigma]$$

ამ უტოლობას უწოდებენ სიმტკიცის პირობას.

თუ დეროს განივი კვეთი გვინდა შევარჩიოთ, მაშინ  $A \geq N/\lfloor\sigma\rfloor$ , ხოლო თუ გვინდა განვსაზღვროთ დეროში აღძრული შინაგანი ძალის დასაშვები მნიშვნელობა, მაშინ  $N \leq \lceil\sigma\rceil \cdot A$ .

სიძტკიცის პირობების უზრუნველყოფის ამ მეთოდს უწოდებენ  
დახაშულ ძაბულა მეთოდს.

**2.3 ერთი პოლიტიკური ხასტად ჩამაგრებულ სწორ დარღვევი ძაბვისა და მასიმალური ზაგრძელების განსაზღვრა**

ზედა ბოლოთი ხისტად ჩამაგრებული ფოლადის ღერო  
დატვირთულია  $F=100$ კნ გამჭიმავი ძალით. განვსაზღვროთ ღეროში  
აღძრული მექანიკური დაძაბულობა (ძაბვა) და აბსოლუტური წაგრძელება  
თუ ღეროს სიგრძე  $l=200$  სმ. განვივი კვეთის ფართობი  $A=4\text{სმ}^2$ , ხოლო მისი  
დრეკადობის მოდული  $E=2 \cdot 10^4$  კნ/სმ $^2$ .

გადაწყვეტა:

## (2.2)-ის თანახმად

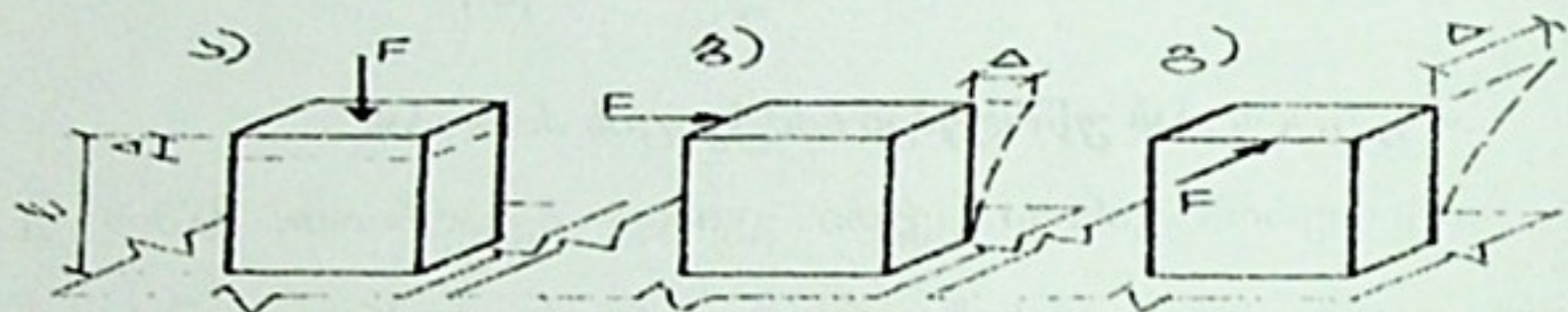
$$\sigma_z = \frac{N_z}{A} = \frac{l^2}{A} = \frac{100 \cdot 36}{4 \cdot 6 \cdot 6^2} = 25 \text{ kg/m}^2$$

ხოლო (2.6)-ის თანახმად ღუროს აბსოლუტური წაგრძელება

$$\Delta l = \frac{Fl}{EA} = \frac{100 \cdot 200}{2 \cdot 10^4 \cdot 4} = 0,25\text{მ} = 2,5\text{მ}$$

### 3. ბრტყელ კვეთთა გაოშეფრიული მახასიათებლები

განვიხილოთ ერთი ბოლოთი ჩამაგრებული ლერო და  $F$  შეცერსული ძალა ჯერ ვამოქმედოთ ისე, როგორც 17, ა ნახაზზეა ნაჩვენები, ხოლო შემდეგ ისე, როგორც 17,ბ და 17,გ ნახაზებზეა წარმოდგენილი.



ნახ.17

ა) შემთხვევაში ლერო განიცდის **კუმშვის** დეფორმაციას და ჩვენთვის ცნობილ ფორმულაში (იხ. ფორმ. 2.6)

$$\Delta l = \frac{Fl}{EA}$$

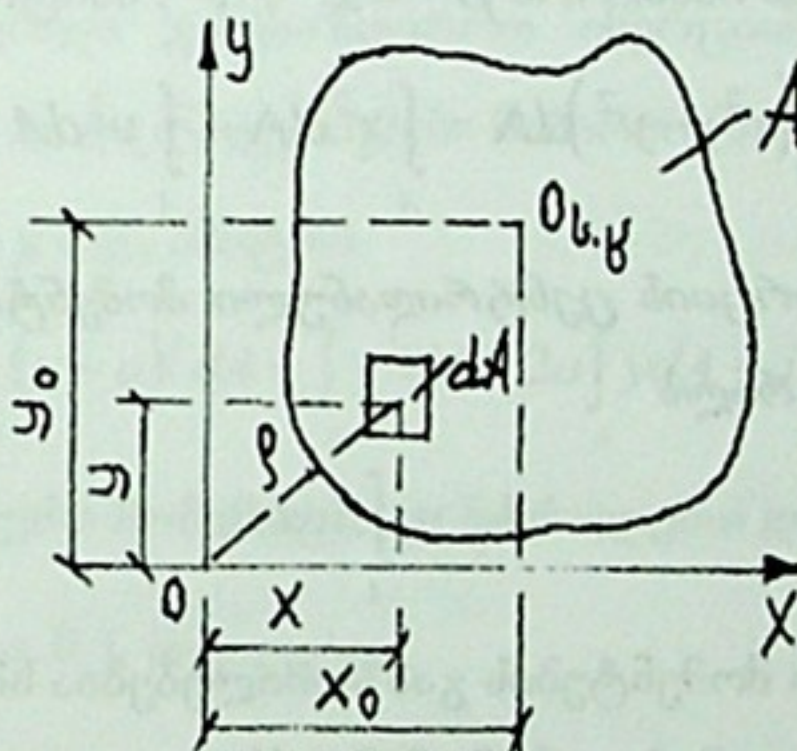
აბსოლუტური საზოვანი დეფორმაცია (დამოკლება) დამოკიდებულია ლეროს კვეთის ფართობზე და მნიშვნელობა არა აქვს მის მოსაზულობას, ე.ი. არა აქვს მნიშვნელობა იმას, განივი კვეთი წრეა, სწორკუთხედია, კვადრატია, თუ კიდევ სხვა რაიმე ბრტყელი ფიგურა.

ბ) და გ) შემთხვევებში ლერო განიცდის **ღუნვის** დეფორმაციას. ადვილი მისახვედრია, რომ იგი გ) შემთხვევაში გაიღუნება გაცილებით უფრო მეტად. ე.ი. ამ დროს მნიშვნელობა აქვს არა მარტო განივი კვეთის ფართობის სიდიდეს, არამედ მის მოხაზულობასაც (**ფიგურასაც**). აქედან გამომდინარეობს ასალი გეომეტრიული მახასიათებლების შესწავლის აუცილებლობა, რომლებიც გაითვალისწინებენ ლეროს განივი კვეთის მოხაზულობასაც. ასეთი მახასიათებლებია განივი კვეთის სტატიკური და ინერციის მომენტები.

### 3.1. პრტყელ კვეთთა სტატიკური და ინერციული მომენტები

განვიხილოთ ნებისმიერი მოხაზულობის ბრტყელი კვეთი  $xoy$  კორდინატთა სისტემაში (ნახ. 18). გამოვყოთ ამ კვეთიდან ელემენტარული  $dA$  ფართობი.  $x, y$  და  $\rho$  წარმოადგენენ შესაბამისად ამ ელემენტარული ფართობის ცენტრის კოორდინატებს  $y$  და  $x$  ღერძებისა და 0 წერტილის მიმართ. ბრტყელი კვეთის (ბრტყელი ფიგურის) სტატიკური მომენტები  $x$  და  $y$  ღერძების მიმართ ეწოდება ინტეგრალებს

$$S_x = \int_A y \cdot dA, \quad S_y = \int_A x \cdot dA \quad (3.1)$$



ნახ. 18

სტატიკური მომენტის განზომილება  $\text{სმ}^3$ ,  $\text{მ}^3$  და  $\text{ა.მ.}$

თეორიული მექანიკიდან ცნობილია, რომ ნაკვთის (ფიგურის) სიმძიმის ცენტრის  $x_0$  და  $y_0$  კოორდინატები განისაზღვრება ფორმულებით

$$x_0 = \frac{\int x dA}{A} = \frac{S_x}{A}, \quad y_0 = \frac{\int y dA}{A} = \frac{S_y}{A}, \quad (3.2)$$

საიდანაც

$$S_x = y_0 A, \quad S_y = x_0 A$$

თუ კოორდინატთა სისტემის სათავე (O წერტილი) კვეთის სიმძიმის ცენტრიშია, მაშინ  $x_0 = 0$  და  $y_0 = 0$ , ე.ი. სტატიკური მომენტი კვეთის სიმძიმის ცენტრში გამავალი ღერძების მიმართ ნულის ტოლია.

კვეთის ინერციის ღერძული მომენტები  $x$  და  $y$  ღერძების მიმართ ეწოდება ინტეგრალებს

$$I_x = \int_A y^2 dA, \quad I_y = \int_A x^2 dA \quad (3.4)$$

კვეთის ინერციის პოლარული მომენტი რაიმე წერტილის მიმართ ეწოდება ინტეგრალს

$$I_p = \int_A \rho^2 dA \quad (3.5)$$

მე-18 ნახაზიდან ჩანს, რომ  $\rho^2 = x^2 + y^2$ , ამიტომ

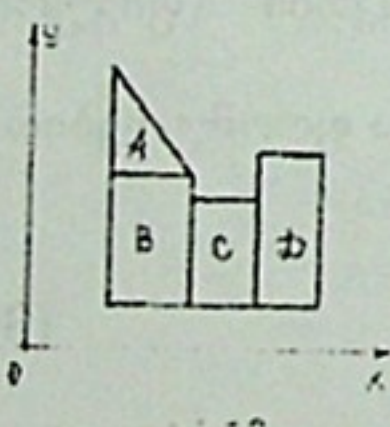
$$I_p = \int_A (x^2 + y^2) dA = \int_A x^2 dA + \int_A y^2 dA = I_y + I_x \quad (3.6)$$

კვეთის ინერციის ცენტრიდანული მომენტი  $x$  და  $y$  ღერძების მიმართ ეწოდება ინტეგრალს

$$I_{xy} = \int_A xy dA \quad (3.7)$$

ინერციის მომენტების განზომილებებია  $S\theta^4, \theta^4$  და ა.შ.

ღერძული ინერციის მომენტებს ყოველთვის დადებითი ნიშანი აქვთ, ხოლო ცენტრიდანულს - შეიძლება ჰქონდეს როგორც დადებითი, ისე უარყოფითი ნიშანი.



როგორც ინტეგრალური აღრიცხვიდან ცნობილია, ინტეგრალი ფართობის მიხედვით ტოლია ამ ფართობის შემადგენელი ცალკეული ნაწილების ინტეგრალების ჯამისა. ამიტომ რთული ნაკვთის (რთული ფიგურის) ინერციის

განვიხილოთ როგორც შემადგენელ მარტივ ნაკვეთთა ინერციის მომენტების ჯამი იმავე ღერძის მიმართ (ნახ. ნახ. 19)

$$I_x = I_x^A + I_x^B + I_x^C + I_x^D \quad (3.8)$$

### 3.2. ინერციის მომენტების ცვლილება ღერძის პარალელურად გადატანისას

ღერძებს, რომლებიც გადიან ნაკვთის სიძლიმის ცენტრში, ეწოდებათ ცენტრალური ღერძები. ვთქვათ, ცნობილია ინერციის მომენტები ამ ღერძების მიმართ და გვინდა განვსაზღვროთ ინერციის მომენტები ამ ღერძების პარალელური  $\bar{x}$  და  $\bar{y}$  ღერძების მიმართ (ნახ.20). ნახაზიდან ჩანს, რომ  $\bar{x} = x + h$  და  $\bar{y} = y + a$ , ამიტომ

$$I_{\bar{y}} = \int_{A'} \bar{y}^2 dA = \int_A (y+a)^2 dA = \int_A y^2 dA + 2a \int_A y dA + a^2 \int_A dA \quad (3.9)$$

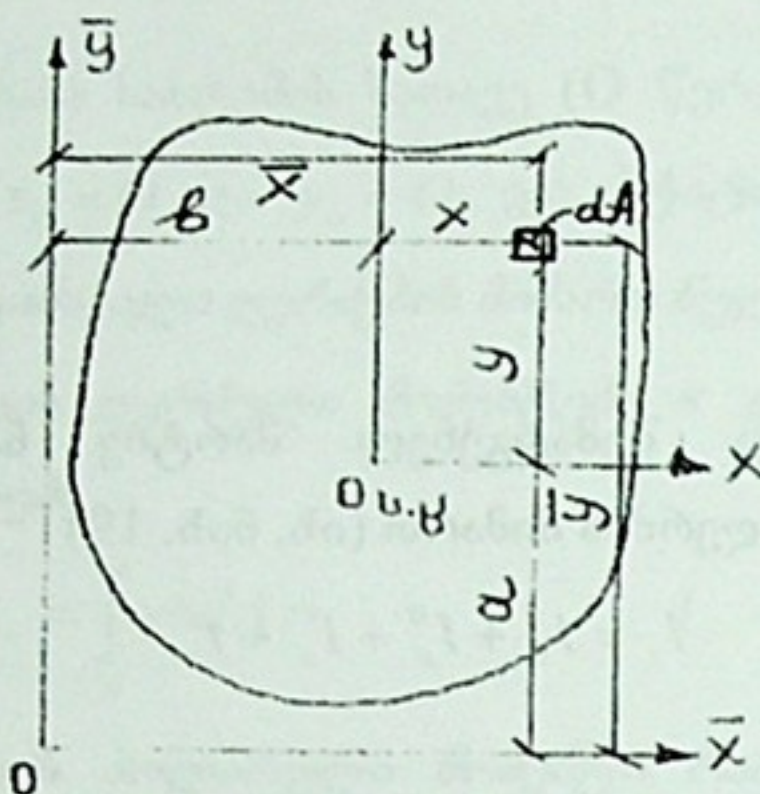
ვინაიდან სტატიკური მომენტები ცენტრალური ღერძების მიმართ ნულის ტოლია (ე.ი.  $\int_A y dA = 0$ ), მივიღებთ

$$I_{\bar{y}} = I_y + a^2 A \quad (3.10)$$

ანალოგიურად

$$I_{\bar{x}} = I_x + b^2 A \quad (3.11)$$

ინერციის ცენტრიდანული მომენტი



ნახ.20

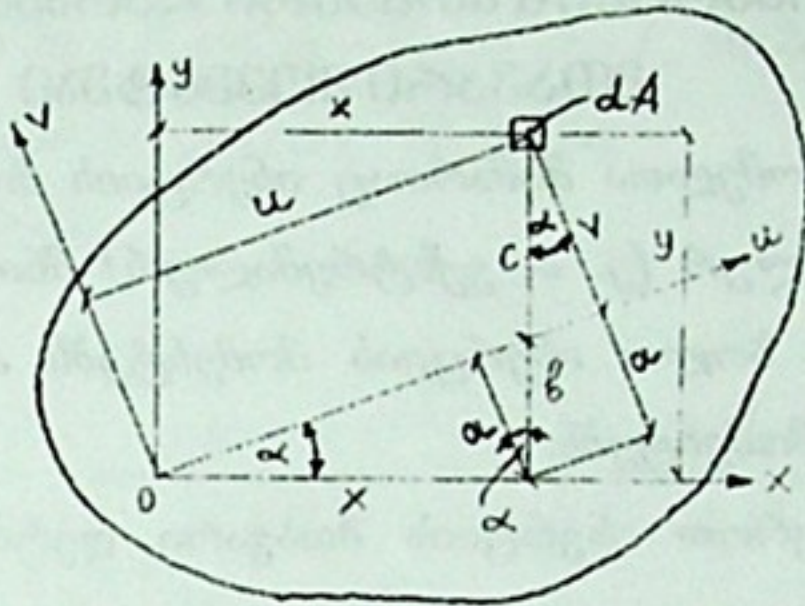
$$\begin{aligned}
 I_{xy} &= \int_A \bar{x}\bar{y}dA = \int_A (x+b)(y+a)dA = \\
 &= \int_A (xy + by + ax + ba)dA = I_{yy} + 0 + 0 + abA = \\
 &= I_{xy} + abA
 \end{aligned} \tag{3.12}$$

აქედან დამოკიდოთ, რომ  $I_x$ ,  $I_y$  და  $I_{xy}$  მომენტებს უწოდებენ ინერციის ცენტრალურ მომენტებს.

### 3.3. ინერციის მომენტების ცვლილება დერძვების მოგრძელებისას

ვთქვათ, ჩვენთვის ცნობილია  $I_x$ ,  $I_y$ ,  $I_{xy}$  მომენტები და გვსურს განვითარებული ინერციის მომენტები ახალი სისტემის მიმართ, რომელიც მობრუნებულია  $xoy$  სისტემის მიმართ რაიმე  $\alpha$  კუთხით (ნახ. 21).

ნახაზიდან ჩანს, რომ  $v + a = y \cos \alpha$ , ხოლო  $a = x \sin \alpha$ ; ამიტომ



Բան.21

$v + x \sin \alpha = y \cos \alpha$ , և այսպիս

$$v = y \cos \alpha - x \sin \alpha \quad (3.13)$$

նախաչութեան համար աշխատավոր, որտեղ

$$u = x \cdot \cos \alpha + b \sin \alpha + c \sin \alpha = x \cos \alpha + y \sin \alpha \quad (3.14)$$

անշարժական դերություն մոմենտում գլուխ մոմարտ օյնեածա

$$\begin{aligned} I_u &= \int_A v^2 dA = \int_A (y \cos \alpha - x \sin \alpha)^2 dA = \int_A (y^2 \cos^2 \alpha - 2xy \sin \alpha \cos \alpha + x^2 \sin^2 \alpha) dA = \\ &= I_x \cos^2 \alpha - I_{xy} \sin 2\alpha + I_y \sin^2 \alpha \end{aligned} \quad (3.15)$$

անալոգուրագ մոզուլցածութեան

$$I_v = I_x \cos^2 \alpha + I_{xy} \sin 2\alpha + I_y \sin^2 \alpha \quad (3.16)$$

$I_u$  և  $I_v$ -ի մեջբառական մոզուլցածութեան

$$I_u + I_v = I_x + I_y = \text{const} \quad (3.17)$$

մոզուլցածութեան պահանջման համար, որտեղ  $I_u$  և  $I_v$ -ի սուբտրակտ գումարը պահանջման համար անհանդապահ է. Այսպիս, առաջարկված է այս պահանջման համար անհանդապահ մոզուլցածութեան սուբտրակտ գումարը պահանջման համար. այս պահանջման համար անհանդապահ մոզուլցածութեան սուբտրակտ գումարը պահանջման համար.

$$I_u + I_v = \text{const} .$$

ლერძებს, რომელთა მიმართაც ინერციის მომენტები იღებენ მაქსიმალურ და მინიმალურ (კ. ი. ექსტრემალურ) მნიშვნელობებს, უწოდებენ მთავარ ლერძებს, ხოლო ინერციის მომენტებს ამ ლერძების მიმართ – ინერციის მთავარ მომენტებს.

განვხაზდვროთ ინერციის მთავარი ლერძების მდებარეობა; ე.ი. ვიპოვოთ ისეთი  $\alpha_0$  კუთხე, რომლისთვისაც  $I_{xx}$ -ს ექნება ექსტრემალური მნიშვნელობა. ამიტომ (3.15) გავაწარმოოთ  $\alpha$ -თი და გავუტოლოთ ნულს

$$\begin{aligned} \frac{dI_{xx}}{d\alpha} &= \frac{d}{d\alpha}(I_x \cos^2 \alpha + I_y \sin^2 \alpha - I_{xy} \sin 2\alpha) = \\ &= -I_x \cdot 2 \cdot \cos \alpha \sin \alpha + I_y \cdot 2 \sin \alpha \cos \alpha - I_{xy} \cdot 2 \cdot \cos 2\alpha = \\ &= -I_x \sin 2\alpha + I_y \sin 2\alpha - 2I_{xy} \cos 2\alpha \end{aligned} \quad (3.18)$$

$$\text{ე.ი. } \left( \frac{dI_{xx}}{d\alpha} \right)_{\alpha=\alpha_0} = (I_y - I_x) \sin 2\alpha_0 - I_{xy} \cos 2\alpha_0 = 0 \quad (3.19)$$

გავყოთ ეს უკანასკნელი ( $I_y - I_x$ ) $\cos 2\alpha_0$ -ზე, მივიღებთ

$$\operatorname{tg} 2\alpha_0 = \frac{2I_{xy}}{I_y - I_x} \quad (3.20)$$

თუ  $\alpha_0 = 0$ , ე.ი.  $ox$  და  $oy$  მთავარი ლერძებია, მაშინ (3.20)-ის თანახმად  $I_{xy} = 0$ . გამოდის, რომ მთავარი ლერძების მიმართ ინერციის ცენტრიდანული მოძენტი ნულის ტოლია.

ვინაიდან  $\operatorname{tg} 2\alpha = \operatorname{tg}(180^\circ + 2\alpha)$ , ამიტომ (3.20) სამართლიანია  $\alpha_0$ -ის ორი მნიშვნელობისათვის: როდესაც  $\alpha_1 = \alpha_0$  და როდესაც  $\alpha_2 = \alpha_0 + 90^\circ$ ; აქედან ჩანს, რომ ინერციის მთავარი ლერძები ურთიერთმართობულია და თუ ერთ-ერთი ლერძის მიმართ ინერციის მოძენტს აქვს მაქსიმალური სიდიდე, მეორე ლერძის მიმართ იგი მინიმალური სიდიდისა იქნება.

(3.15) და (3.16) ფორმულები შეიძლება გარდავქმნათ ისე, რომ ისინი შეიცავდნენ მხოლოდ ინერციის მოძენტებს

$$\begin{aligned}
 I_u - I_v &= I_x \cos^2 \alpha - I_{xy} \sin 2\alpha + I_y \sin^2 \alpha - I_y \cos^2 \alpha - I_{xy} \sin 2\alpha - I_x \sin^2 \alpha = \\
 &= I_x (\cos^2 \alpha - \sin^2 \alpha) - I_y (\cos^2 \alpha - \sin^2 \alpha) - 2I_x \sin 2\alpha = \\
 &= (I_x - I_y) \cos 2\alpha - 2I_{xy} \sin 2\alpha
 \end{aligned} \tag{3.21}$$

კინალები

$$\cos 2\alpha = \frac{1}{\pm \sqrt{1 + tg^2 2\alpha}} = \frac{1}{\pm \sqrt{1 + \frac{4I_{xy}^2}{(I_y - I_x)^2}}} = \frac{I_y - I_x}{\pm \sqrt{(I_y - I_x)^2 + 4I_{xy}^2}} ;$$

ხოლო

$$\sin 2\alpha = tg 2\alpha \cos 2\alpha = \frac{2I_{xy}}{I_x - I_y} \frac{I_y - I_x}{\pm \sqrt{(I_y - I_x)^2 + 4I_{xy}^2}} ,$$

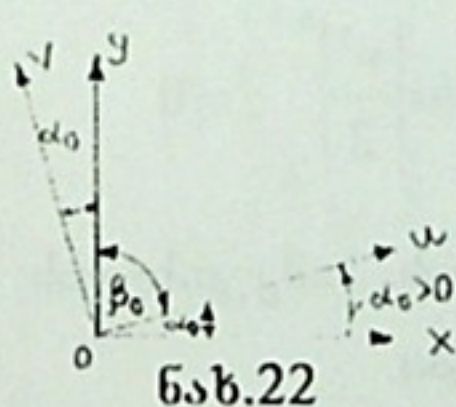
(3.21) მითების სახეს:

$$\begin{aligned}
 I_u - I_v &= (I_x - I_y) \frac{I_y - I_x}{\pm \sqrt{(I_y - I_x)^2 + 4I_{xy}^2}} - 2I_{xy} \frac{2I_{xy}}{\pm \sqrt{(I_y - I_x)^2 + 4I_{xy}^2}} = \\
 &= \frac{-[(I_y - I_x)^2 + 4I_{xy}^2]}{\pm \sqrt{(I_y - I_x)^2 + 4I_{xy}^2}} = \pm \sqrt{(I_y - I_x)^2 + 4I_{xy}^2}
 \end{aligned} \tag{3.22}$$

(3.17) და (3.22) განტოლებებიდან შედგენილი სისტემის ამონინა გვაძლევს

$$I_{u,v} = \frac{I_x + I_y}{2} \pm \frac{1}{2} \sqrt{(I_y + I_x)^2 + 4I_{xy}^2} \tag{3.23}$$

ამ შედეგებიდან აბსოლუტური სიდიდით მეტს კუნძღებთ  $I_{\max}$ , ხოლო ნაკლებს -  $I_{\min}$ .



თუ (3.20) ფორმულით განსაზღვრული  $\alpha$ ,  $\beta$  კუთხე დადებითია, იგი უნდა გადაიზომოს იხ ღერძიდან საათის ისრის მოძრაობის საწინააღმდეგო მიმართულებით. წინააღმდეგ შემთხვევაში - საათის ისრის მოძრაობის მიმართულებით (ნახ.22). მთავარი იხ და იხ ღერძებიდან ერთ-ერთი შეესაბამება  $I_{\max}$ , ხოლო მეორე -  $I_{\min}$ . ნახ.22

$I_{\max}$ -ის შესაბამისი ღერძი კონცენტრის ადგენს უფრო მცირე კუთხეს ხის

სისტემის იმ ღერძთან, რომლის მიმართაც ინერციის მომენტის მნ-  
იშვნელობა უფრო დიდია. ასე მაგალითად (ნახ.22), თუ  $I_{\text{max}}$  და  $I_{\text{min}}$ -ის  
მაშინ  $I_{\text{max}} - I_{\text{min}}$ -ის შესაბამისი ღერძია 0, რადგანაც  $\alpha_0 < \beta_0$ -ზე.

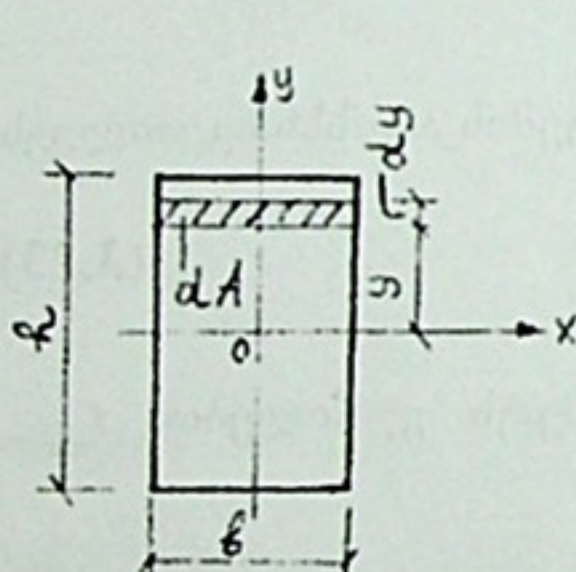
შემოვიდოთ ინერციის რადიუსის ცნება. ინერციის რადიუსები  
ეწოდებათ კვეთის წრფივ მახასიათებლებს, რომლებიც განისაზღვრებიან  
ფორმულებით:

$$i_x = \pm \sqrt{\frac{I_x}{A}}, \quad i_y = \pm \sqrt{\frac{I_y}{A}}, \quad i_{\text{max}} = \pm \sqrt{\frac{I_{\text{max}}}{A}}, \quad i_{\text{min}} = \pm \sqrt{\frac{I_{\text{min}}}{A}}, \quad (3.24)$$

მაქსიმალურ და მინიმალურ რადიუსებს უწოდებენ მთავარ  
რადიუსებს.

### 3.5 გარტივი პრტყელი პვეტების ინერციის მომენტების განსაზღვრა

განვსაზღვროთ სწორკუთხედის ფორმის მქონე კვეთის (ნახ.23)  
ინერციის ღერძული და ცენტრიდანული მომენტები ცენტრალური 0 და 0Y  
ღერძების მიმართ. ნახაზიდან ჩანს, რომ  $dA = bdy$ , ამიტომ



ნახ.23

$$I_x = \int_A y^2 dA = \int_{-h/2}^{h/2} hy^2 dy = h \left| \frac{y^3}{3} \right|_{-h/2}^{h/2} = \frac{bh^3}{12} \quad (3.25)$$

ანალოგიურად მიიღება

$$I_y = \frac{hb^3}{12} \quad (3.26)$$

ინერციის ცენტრიდანული მომენტი

$$I_{xy} = \int_A xy dA = \int_{-h/2}^{h/2} bxy dy = bx \left| \frac{y^2}{2} \right|_{-h/2}^{h/2} = 0$$

ანალოგიურად განისაზღვრებიან წრის, ნახევარწრის, სამკუთხედის  
და სხვა მარტივი ფიგურების ინერციის ღერძული მომენტები.

### 3.6 რთული ფიგურის გეომეტრიული მახასიათებლების განსაზღვრა



საჭიროა განისაზღვროს რთული ფიგურის ინერციის მთავარი  $i_{\max}$  და  $i_{\min}$  რადიუსები. რთული ფიგურა წარმოადგენს ფოლადის ზოლისა და შველერისაგან შედგენილი ღეროს განივ კვეთს (ნახ.24). ფოლადის ზოლის (I ფიგურა) განივი კვეთის ზომებია:  $h_1 = 20 \text{სმ}$ ,  $b_1 = 1 \text{სმ}$  ე.ი. მისი განივი კვეთის ფართობი  $A_1 = b_1 h_1 = 1 \cdot 20 = 20 \text{სმ}^2$ ; №10 შველერის (II ფიგურა) განივი კვეთის ფართობს და  $z_0$  მანძილს (სიმძიმის ცენტრის ერთ-ერთ კოორდინატს) ვიღებთ ე.წ. სორტამენტის ცხრილიდან (იხ. დანართი, ცხრილი 3), რომლის თანახმადაც  $A_2 = 10,9 \text{სმ}^2$ ,  $z_0 = 1,44 \text{სმ}$ . 28 ნახაზის მიხედვით  $x_1 = 0,5 \text{სმ}$ ;  $y_1 = 10 \text{სმ}$ ;  $x_2 = 6 \text{სმ}$ ;  $y_2 = 18,56 \text{სმ}$ .

მთელი ფიგურის ფართობი

$$A = A_1 + A_2 = 20 + 10,9 = 30,9 \text{სმ}^2$$

სტატიკური მომენტები  $ox'$  და  $oy'$  ღერძების მიმართ (იხ. (3.3) ფორმულები):

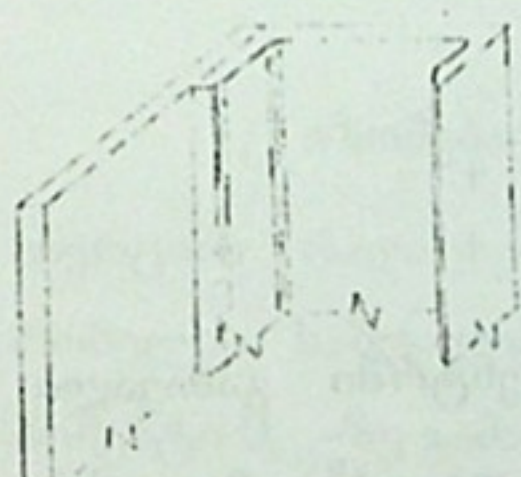
$$S_x' = S_x^I + S_x^{II} = A_1 y_1 + A_2 y_2 = 20 \cdot 10 + 10,9 \cdot 18,56 = 402,3 \text{სმ}^3$$

$$S_y' = S_y^I + S_y^{II} = A_1 x_1 + A_2 x_2 = 20 \cdot 0,5 + 10,9 \cdot 6 = 75,4 \text{სმ}^3$$

რთული ფიგურის სიმძიმის ცენტრის  $x_0$  და  $y_0$  კოორდინატები (იხ. (3.2) ფორმულები):

$$x_0 = \frac{S_x'}{A} = \frac{75,4}{30,9} = 2,44 \text{სმ};$$

$$y_0 = \frac{S_y'}{A} = \frac{402,3}{30,9} = 13 \text{სმ};$$



ნახ.24



რთული ფიგურის სიმძიმის ცენტრის  $x_0$  და  $y_0$  კოორდინატების გამოთვლის სისწორეს ვამოწმებთ იმ პირობით, რომ სტატიკური შრეშენტი კვეთის სიმძიმის ცენტრში გამავალი ღერძების მიმართ ნულის ტოლია, ე.ო.

$$S_{x_0} = A_1 C_1 + A_2 C_2 = 0 \quad \text{და} \quad S_{y_0} = A_1 D_1 + A_2 D_2 = 0$$

სადაც

$$C_1 = y_1 - y_0 = 10 - 13 = -3 \text{ სმ}; \quad C_2 = y_2 - y_0 = 18,56 - 13 = 5,56 \text{ სმ};$$

$$D_1 = x_1 - x_0 = 0,5 - 2,44 = -1,94 \text{ სმ}; \quad D_2 = x_2 - x_0 = 6 - 2,44 = 3,56 \text{ სმ};$$

ე.ო.

$$S_{x_0} = 20(-3) + 10,9 \cdot 5,56 = -60 + 60,6 = 0,6 \approx 0,$$

$$S_{y_0} = 20(-1,94) + 10,9 \cdot 3,56 = -38,8 + 38,8 = 0$$

განვხაზღვროთ რთული ფიგურის ინერციის ღერძული და ცენტრიდან მომენტები  $x_0$  და  $y_0$  ღერძების მიმართ. ამიტომ ჯერ განვხაზღვროთ ცალკეული ფიგურის ინერციის ღერძული მომენტები მათი სიმძიმის ცენტრში გამავალი ღერძების მიმართ. (3.25) და (3.26) ფორმულების თანახმად

$$I_x^I = \frac{h_1 h_2^3}{12} = \frac{1 \cdot 20^3}{12} = 666 \text{ სმ}^4; \quad I_y^I = \frac{h_1^3 h_2}{12} = \frac{20 \cdot 1^3}{12} = 1,67 \text{ სმ}^4;$$

$I_x^{II}$  და  $I_y^{II}$  მომენტების განსაზღვრისათვის ისევ მივმართავთ დანართის მე-3 ცხრილს, რომლის მიხედვითაც  $I_x^{II} = 20,4 \text{ სმ}^4$  და  $I_y^{II} = 174 \text{ სმ}^4$ .

(3.10) და (3.11) ფორმულების თანახმად

$$I_{x_0} = (I_x^I + A_1 C_1^2) + (I_y^I + A_2 C_2^2) = [666 + 20(-0,3)^2] + \\ + [20,4 + 10,9 \cdot 5,56^2] = 846 + 340 = 1186 \text{ სმ}^4$$

$$I_{y_0} = (I_x^I + A_1 D_1^2) + (I_y^I + A_2 D_2^2) = [1,67 + 20(-1,94)^2] + \\ + [174 + 10,9 \cdot 3,56^2] = 76,67 + 313 = 389,67 \text{ სმ}^4$$

ვინაიდან თითოეული ფიგურის სიმძიმის ცენტრში გამავალი ღერძები მთავარი ღერძებიცაა, ამიტომ  $I_{xy}^I = 0$  და  $I_{yx}^I = 0$ . ამის გათვალისწინებით და (3.12) - ის თანახმად გვექნება:

$$I_{x_0 y_0} = (I_{xy}^I + A_1 C_1 D_1) + (I_{yx}^I + A_2 C_2 D_2) = [0 + 20(-3)(-1,94)] + \\ + [0 + 10,9 \cdot 5,56 \cdot 3,56] = 117 + 216 = 333 \text{ სმ}^4$$

## განვსაზღვროთ უდა და ულერძების მდებარეობა

$$\operatorname{tg} 2\alpha_0 = \frac{2I_{x_0, y_0}}{I_{y_0} - I_{x_0}} = \frac{2 \cdot 333}{389,67 - 1186} = \frac{666}{-796,3} = -0,838$$

დანართის მე-4 ცხრილის თანახმად  $2\alpha_0 = -40^\circ$ ; ე.ო.  $\alpha_0 = -20^\circ$ .

რადგან  $\alpha < 0$ , ამიტომ კუთხის გადაზომვისას ვახდენთ  $x_0$ -ლერძიდან საათის ისრის მოძრაობის მიმართულებით.

განვსაზღვროთ  $I_{\max}$  და  $I_{\min}$  (3.23)-ის მიხედვით:

$$I_{\max} = \frac{I_{x_0} + I_{y_0}}{2} \pm \sqrt{(I_{y_0} - I_{x_0})^2 + 4I_{x_0, y_0}^2} = \\ = \frac{1186 + 389,67}{2} \pm \frac{1}{2}\sqrt{(389,67 - 1186)^2 + 4 \cdot 333^2} = 787,8 \pm 515; \\ I_{\max} = 1302,8 \text{სმ}^4; \quad I_{\min} = 272,8 \text{სმ}^4$$

მიღებულ შედეგებს ვამოწმებთ პირობით

$$I_{\max} + I_{\min} = I_{x_0} + I_{y_0} \\ 1302,8 + 272,8 = 1186 + 389,67 \\ 1575,6 = 1575,67.$$

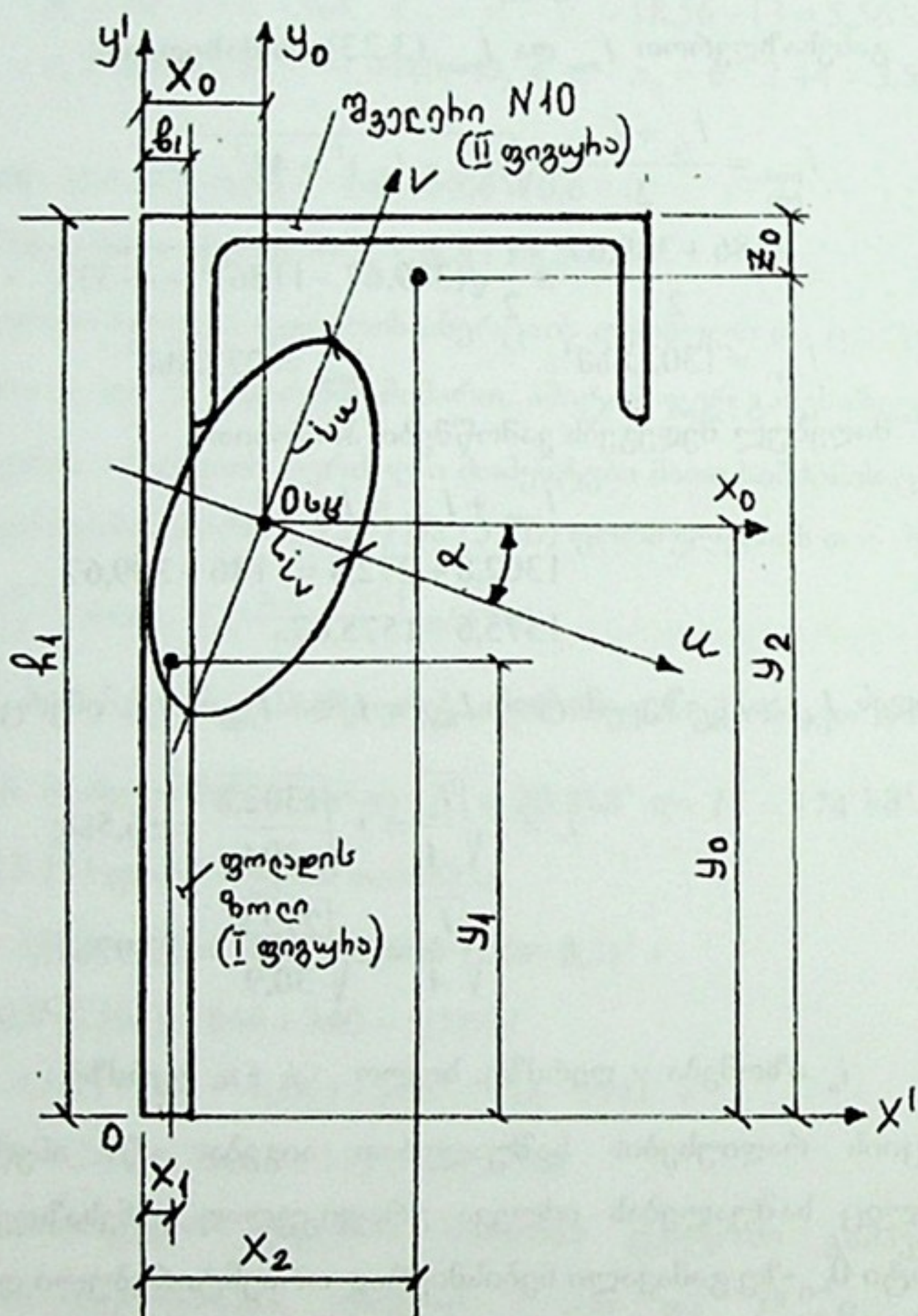
ვინაიდან  $I_{x_0} > I_{y_0}$ -ზე, ამიტომ  $I_{\max} = I_u$  და  $I_{\min} = I_v$ . ინერციის რადიუსები

$$i_u = \pm \sqrt{\frac{I_u}{A}} = \pm \sqrt{\frac{1302,8}{30,9}} = \pm 6,5 \text{სმ}; \\ i_v = \pm \sqrt{\frac{I_v}{A}} = \pm \sqrt{\frac{272,8}{30,9}} = \pm 2,97 \text{სმ}.$$

$i_u$  იზომება  $v$  ლერძზე, ხოლო  $i_v$  -  $u$  ლერძზე.

ინერციის რადიუსების საშუალებით აიგება ე.წ. ინერციის ელიფსი, რომელიც საშუალებას იძლევა გრაფიკულად განვსაზღვროთ ინერციის მომენტი  $0_{u,v}$ -ზე გამავალი ნებისმიერად ორიენტირებული ლერძის მიმართ.

თუ ინერციის მომენტები ორი მთავარი ლერძის მიმართ ერთმანეთის ტოლია, ინერციის ელიფსი გადაიქცევა წრედ. ეს კი იმას ნიშნავს, რომ

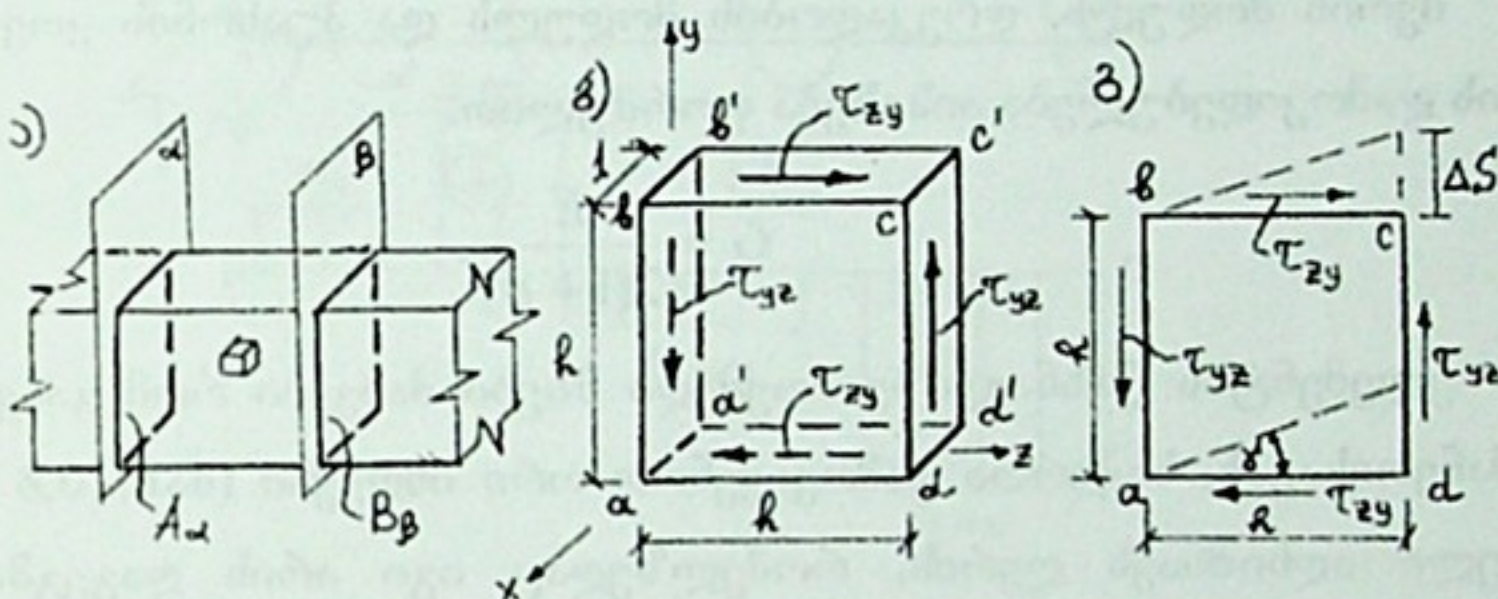


ნახ.25

## 4. ძვრა

### 4.1 ქაბავებისა და დეფორმაციების განსაზღვრა ძვრისას. კუთის კანონი

როგორც ეს უკვე იყო აღნიშნული, ძვრის დეფორმაციას განიცდის ღერო, თუ მისი ნებისმიერი ორი განივი კვეთი ( $A_a$  და  $B_B$ ) ერთმანეთის მიმართ საწინააღმდეგო მიმართულებით გადაადგილდება ისე, რომ მათ შორის მანძილი არ იცვლება. ღეროში ასეთი სახის დეფორმაციებს იწვევს მის განივ კვეთებში აღძრული განივი ძალები, რომლებიც იწვევენ მხებ ძაბვებს.



ნახ.26

გამოვყოთ ღეროს სიღრმეში მართკუთხა პარალელეპიპედი (ნახ. 26,ა) რომლის წიბოები  $ab = bc = cd = da = a'b' = b'c' = c'd' = d'a' = h$ , ხოლო წიბოები  $aa' = bb' = cc' = dd' = 1$  (ერთეულის ტოლია) (ნახ.26,ბ). თუ ამ პარალელეპიპედის იმ სიბრტყეებზე, რომლებიც განივი კვეთის პარალელურნი არიან, აღიძვრებიან მხოლოდ მხები ძაბვები, მაშინ აღვილი აქვს ე.წ. სუფთა ძვრას. ეს მხები ძაბვები ცდილობენ  $a'b'c'd'$  კვადრატი გადააქციონ რომბად (ნახ.26,გ).  $\Delta S$  მანძილს უწოდებენ აბსოლუტურ ძვრას, ხოლო  $\Delta S/h$ , ეწოდება ძვრის ფართობითი დეფორმაცია. 26,გ ნახაზიდან ჩანს რომ

$$tg\gamma = \frac{\Delta S}{h} \quad (4.1)$$

ვინაიდან  $\gamma$  კუთხე ძალიან მცირეა, ამიტომ შეგვიძლია დავუშვათ, რომ  $tg\gamma \approx \gamma$  და ამიტომ

$$\gamma = \frac{\Delta S}{h} = \varepsilon_{\text{el}}$$

ე.ი. ძვრის ფარდობითი დეფორმაცია ანუ, უბრალოდ, ძვრის დეფორმაცია ძვრის კუთხის ტოლია.

პუკის კანონის ძვრის შემთხვევაში აქვს სასე:

$$\tau = \gamma G \quad (4.3)$$

რომელიც პუკის კანონის ანალოგიურია გაჭიმვის (კუმშვის) შემთხვევაში ( $\sigma = E\varepsilon$ ).  $G$  სიღიღების უწოდებების ძვრის მოდული. ძვრის მოდული ცალკეული მასალის მიხედვით ცნობარებშია წარმოდგენილი.

ძვრის მოდულს, დრეკადობის მოდულს და პუასონის კოეფიციენტს შორის დამოკიდებულება აისახება ფორმულით:

$$G = \frac{E}{2(1 + \mu)}. \quad (4.4)$$

ელემენტის წახნაგებზე მოქმედი მხები ძაბვები რომ განვასწვავოთ ერთმანეთისაგან, საჭიროა გამოვიყენოთ ორი ინდექსი (ნახ. 26.δ და 26.გ): პირველი აღნიშნავს ღერძს, რომელზედაც იგი არის დაგევმარებული, ხოლო მეორე - იმ სიბრტყის ნორმალს, რომელზედაც იგი მოქმედებს.

დავწეროთ  $\sum m_r = 0$  წონასწორობის პირობა 26.δ ნახაზის მიხედვით:

$$\sum m_r = \tau_{zy} \cdot h \cdot 1 \cdot h - \tau_{yz} \cdot h \cdot 1 \cdot h = 0 \quad (4.5)$$

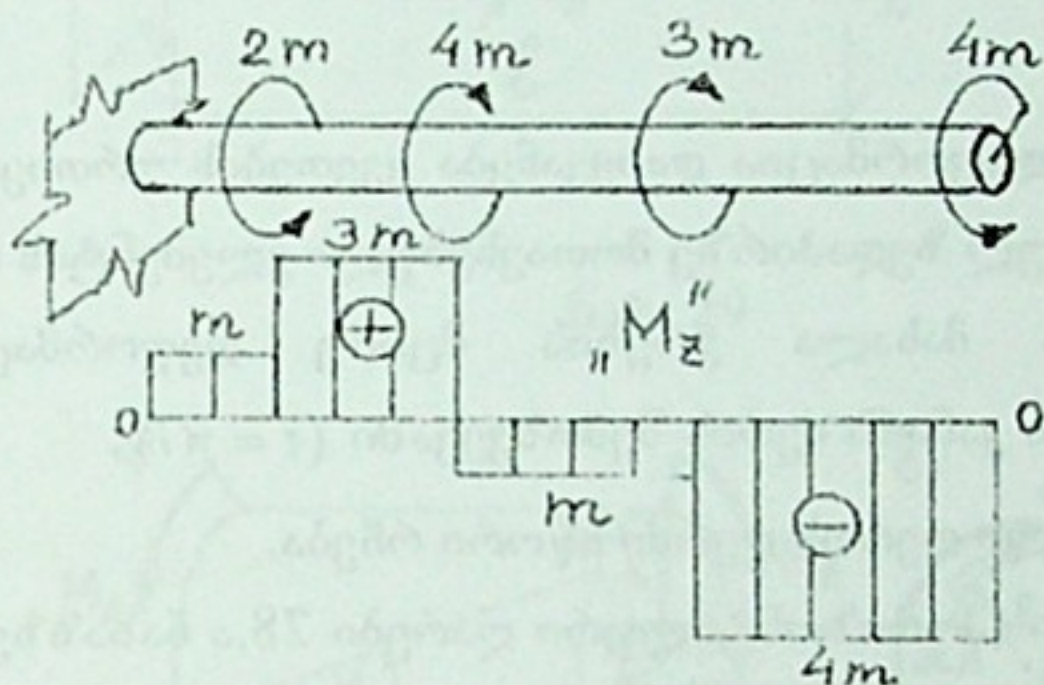
საიდანაც მიიღება, რომ

$$\tau_{zy} = \tau_{yz} \quad (4.6)$$

ამ გამოსახულებას უწოდებენ მხები ძაბვების წყვილადობის კანონს. რომლის თანახმადაც ორ ურთიერთმართობ კვეთზე მოქმედი მხები ძაბვები სიდიდით ტოლია და მიმართულნი არიან ან საერთო წიბოსკენ, ან საერთო წიბოდან.

## 5. გრეხის დეფორმაციის ზოგადი ცხებაბი

როგორც ადრე იყო აღნიშნული, დეროს გრეხას იწვევს მომენტი, რომელიც აღიძვრება დეროს გრძივი ლერძის მართობულ სიბრტყეში (ნახ. 9,დ). იგი რიცხობრივად ტოლია კვეთის ცალ მხარეზე მოქმედი ყველა ძალის მომენტების ჯამისა დეროს გრძივი ლერძის მიმართ. შეიძლება შევთანხმდეთ მგრეხავი მომენტის ნიშნის განსაზღვრის წესზე: მგრეხავი მომენტი ითვლება დადებითად, თუ იგი დეროს განსახილველ ნაწილს საათის



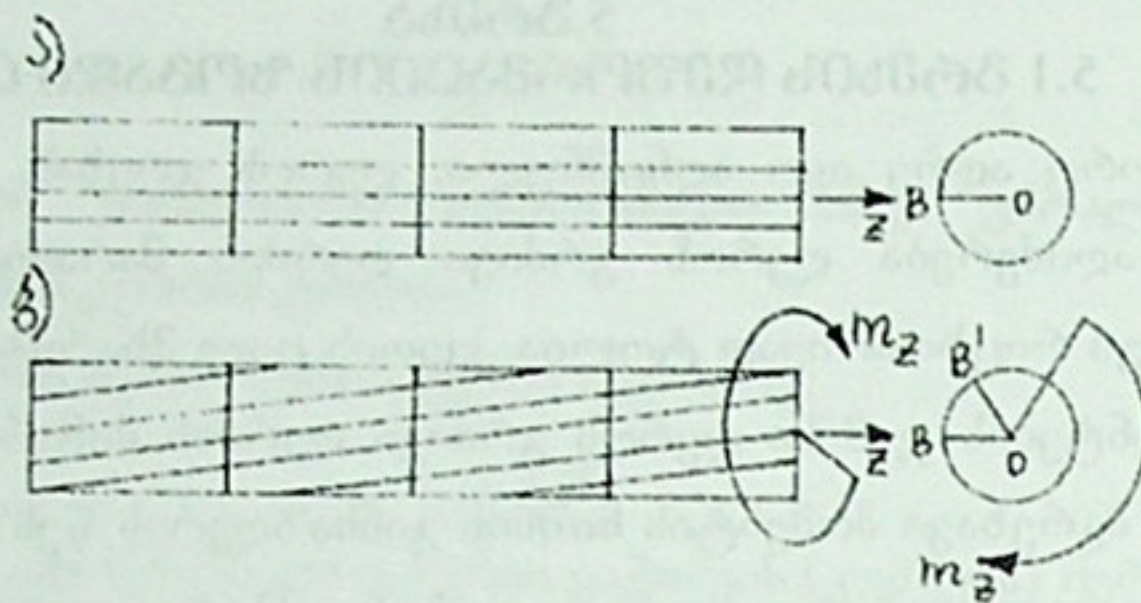
### ნახ. 27

ისრის მოძრაობის მიმართულებით აბრუნებს იმ დამკვირვებლისათვის, რომელიც განივ კვეთს მისი გარე ნორმალის მხრიდან უყურებს. ამგვარი წესით არის აგებული ეპიურა (გრაფიკული გამოსახვა) 27-ე ნახაზზე და აღნიშნულია „ $M_z$ “ სიმბოლოთი.

**გრეხაზე მომუშავე დეროს ლილვი ეწოდება.** ლილვების განივი კვეთები უმეტეს შემთხვევაში წრიულია.

თუ წრიული დეროს გარე ზედაპირზე წინასწარ დავიტანთ ლარების სისტემას (ნახ. 28,ა), მაშინ გრეხაზე ჩატარებული ცდები (ექსპერიმენტები) გვიჩვენებს, რომ:

1. განივი კვეთები ბრტყელი რჩება და მანძილი მათ შორის არ იცვლება ( $\varepsilon_c = 0$ ).
2. განივი კვეთების კონტურები არ იცვლება.



ნახ.28

3. გრეხის დეფორმაცია დაიყვანება კვეთების ურთიერთმობრუნებაზე, ანუ კილინდრულ ზედაპირზე მოთავსებული ელემენტის ძვრაზე.

4. ღეროს მასალა გრეხის მცირე დეფორმაციების დროს ემორჩილება პუკის კანონს ძვრის შემთხვევაში ( $\tau = \gamma(i)$ ).

5. დაგრეხილი ღეროს ღერძი სწორი რჩება.

6. მსახველი (ჰორიზონტალური ღარები 28,ა ნახაზზე) ხრახნების (სპირალის) ფორმას იღებს (ნახ. 28,ბ).

7. ღეროს სიგრძე რჩება უცვლელი.

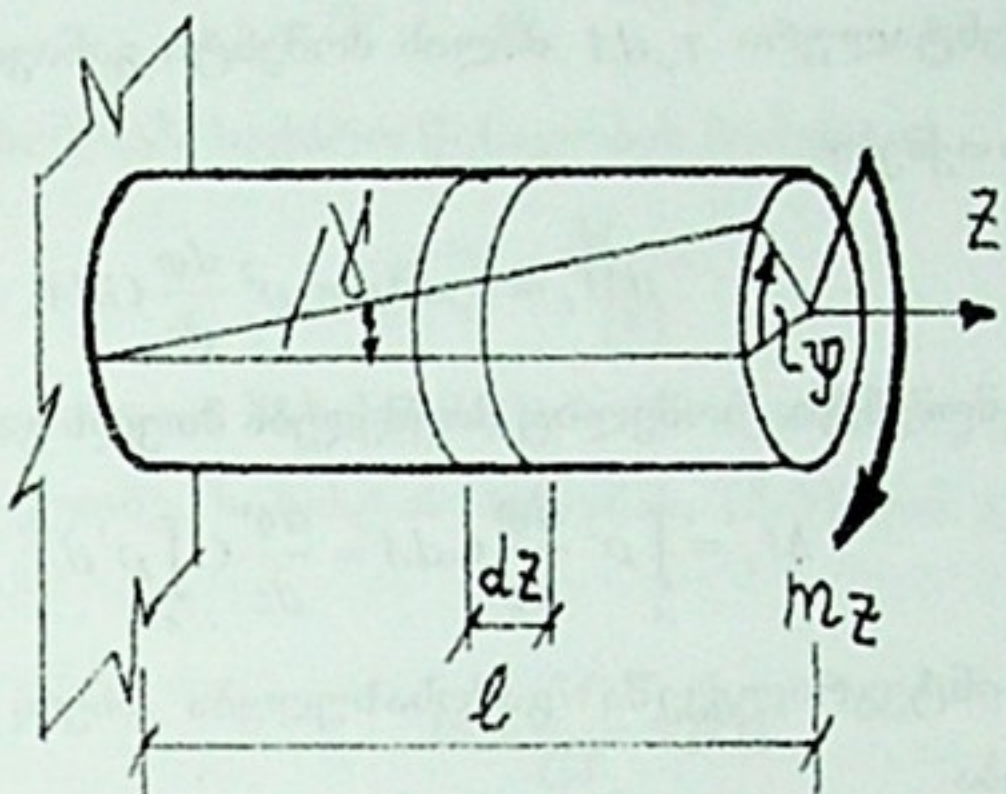
კვეთის მობრუნების  $\varphi$  კუთხეს გრეხის კუთხე ეწოდება, ხოლო  $\gamma$  კუთხე, როგორც ვიცით, ძვრის კუთხეა (ნახ. 29).

## 5.2 შრიული განივი კვეთის გეონების ღრმა ღარის გრეხა

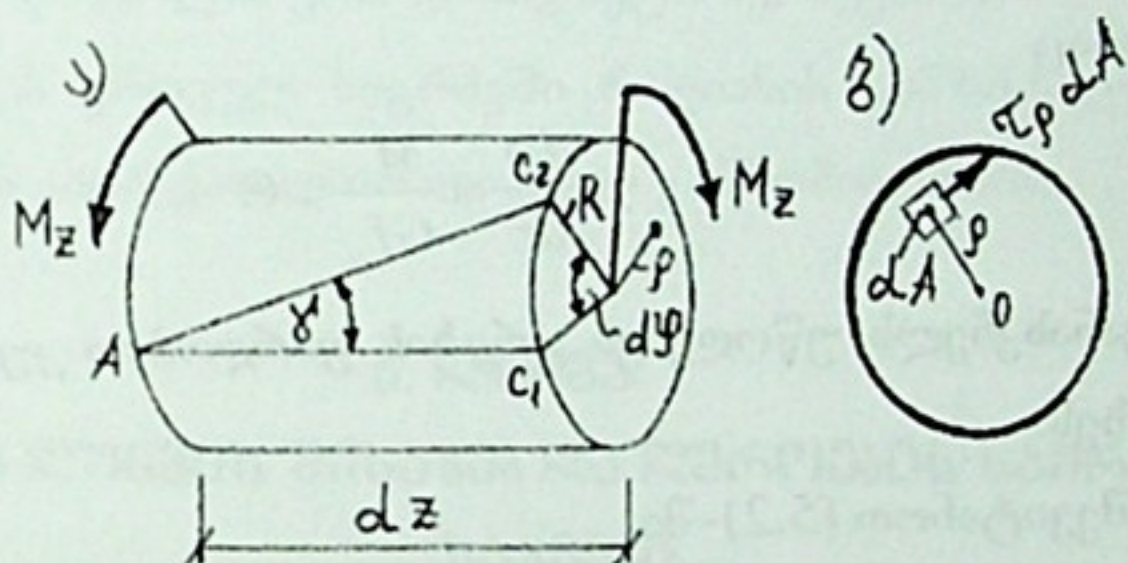
ორი მეზობელი განივი კვეთების საშუალებით ღეროდან ამოვჭრათ  $d\tau$  სიგრძის ელემენტი (ნახ. 29).

განვიხილოთ  $AC_1$  ხაზი (ნახ. 30,ა) ღეროს ზედაპირზე. თუ გავითვალისწინებთ რომ რკალი  $C_1C_2 = Rd\varphi$ , მაშინ სადაც (4.2)-ის თანახმად  $\gamma$  არის ძვრის კუთხე.

მიღებული ფოლმულიდან ჩანს რომ ძვრის სიდიდე იზრდება ღეროს ღერძიდან დაცილებასთან ერთად, ხოლო ბოჭკო, რომელიც ემთხვევა ღერძს, ძვრას არ განიცდის. რადგანაც  $\rho = 0$ .



ნახ. 29



ნახ. 30

$$\frac{C_1 C_2}{AC_1} = \frac{R d\varphi}{dz} = \gamma \quad (5.1)$$

ჭუკის კანონის თანახმად  $\tau = \gamma G$ . ამიტომ

$$\tau = \frac{R d\varphi}{dz} G \quad (5.2)$$

ღეროს სიღრმეში ცენტრიდან  $\rho$  მანძილზე გვექნება

$$\tau_\rho = \frac{\rho d\varphi}{dz} G$$

სამართლის  
მომენტის  
განვითარების  
სამსახურის  
მიმართ იქნება

დავადგინოთ კავშირი მგრეხავ მომენტსა და მხებ ძაბვას. მომენტის განვითარების მიმართ იქნება

$$dM_z = \tau_p dA \rho = \rho^2 \frac{d\varphi}{dz} G dA. \quad (5.3)$$

ხოლო მგრეხავი მომენტი, რომელიც მოქმედებს მთელს განივ კვეთზე

$$M_z = \int_A \rho^2 \frac{d\varphi}{dz} G dA = \frac{d\varphi}{dz} G \int_A \rho^2 dA;$$

ვინაიდან ინტეგრალქვეშა გამოსახულება ინერციის პოლარული მომენტია, გვექნება

$$M_z = \frac{d\varphi}{dz} G I_p \quad (5.4)$$

საიდანაც

$$\frac{d\varphi}{dz} = \frac{M_z}{G I_p} = \Theta \quad (5.5)$$

ამ უკანასკნელს უწოდებენ **გრეხის ფარდობით კუთხეს** ანუ გრძივი გრეხის კუთხეს.

(5.5) შევიტანოთ (5.2)-ში

$$\tau = R \frac{M_z}{I_p} \quad (5.6)$$

შემოვიდოთ ცნება წინაღობის პოლარული მომენტის შესახებ. იგი ეწოდება გამოსახულებას:

$$W_p = \frac{I_p}{R} \quad (5.7)$$

მისი განზომილებაა სმ<sup>3</sup>, მ<sup>3</sup> და ა.შ.

(5.7) შევიტანოთ (5.6)-ში

$$\tau = \frac{M_z}{W_p} \quad (5.8)$$

სიმტკიცის პირობას ექნება სახე:

$$\tau_{\max} = \frac{M_{z_{\max}}}{W_p} \leq [\tau],$$

საიდანაც განისაზღვრება საჭირო წინაღობის მომენტი:

$$W_p^{\text{ნაკ}} \leq \frac{M_{z_{\max}}}{[\tau]} \quad (5.10)$$

ასეთი განვიხილოთ სიხისტის პირობა. ღეროს დეფორმაციის ზომად მიიღება გრეხის კუთხე. სიხისტის პირობას, (5.5)-დან გამომდინარე, აქვს სახე:

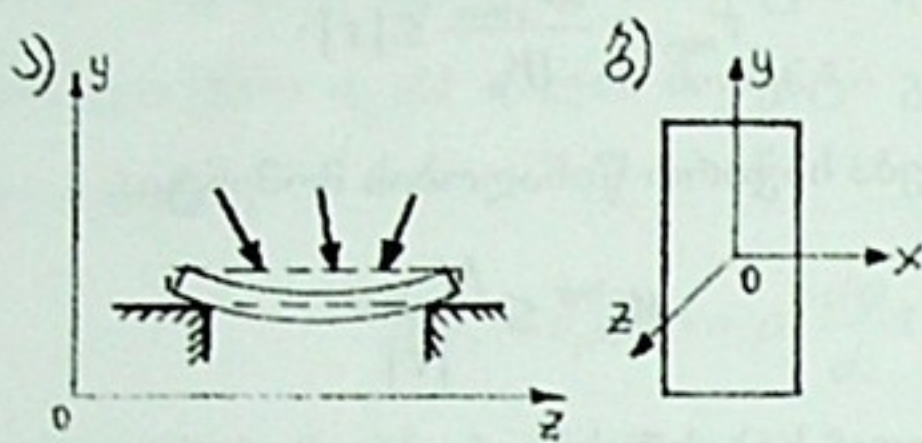
$$\Theta = \frac{M_z}{GI_p} \leq [\Theta]$$

სადაც  $[\Theta]$  არის გრეხის დასაშვები კუთხე, რომელიც ჩვეულებრივად  $0,24 \div 0,5$  გრადუსის ტოლია ერთ გრძივ მეტრზე. შევნიშნოთ, რომ ამ ფორმულაში  $\Theta$ -ს აქვს ერთეულ სიგრძეში რადიანის განზომილება. ამიტომ  $[\Theta]$ -იც უნდა იყოს გადაყვანილი რადიანულ განზომილებაში.

## 6. ღუნვა

### 6.1. ცნება ღუნვის შესახებ და ღეროების საყრდენების სახეები

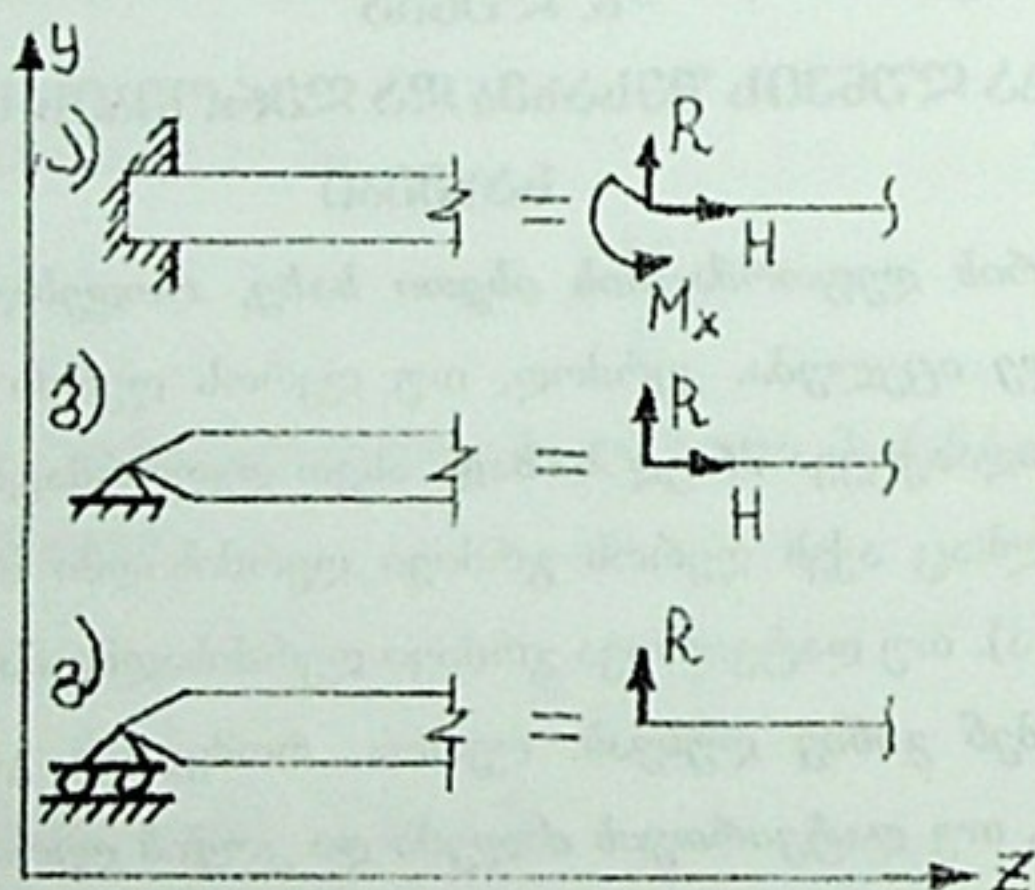
ღუნვა არის დეფორმაციის ისეთი სახე, როდესაც ღეროს გრძივი ღერძის სიძრუდე იცვლება. კერძოდ, თუ ღეროს ღერძი სწორზაზოვანია, ღუნვისას იგი გადაიქცევა მრუდ ხაზად. ასეთ დეფორმაციას იწვევს ყველა ის ძალა, რომელსაც აქვს ღეროს გრძივი ღერძისადმი მართობული მდგენელი (ნახ. 31, ა). თუ დატვირთვა გრძივი ღერძისადმი მართობულია, ასეთ ღუნვას უწოდებენ განივ ღუნვას. ღეროს, რომელიც განიცდის ღუნვას, უწოდებენ კოჭს. თუ დატვირთვის ძალები და კოჭის ღერძი მოთავსებულია ერთ სიბრტყეში, მაშინ გვაქვს ბრტყელი ღუნვა. როდესაც კოჭზე მოქმედებს მხოლოდ მღუნავი მომენტი, მაშინ გვაქვს სუფთა ღუნვა. თუ ყველა ძალა, რომლებიც კოჭზე მოქმედებენ, განლაგებულნი არიან მისი განივი კვეთის ინერციის ერთ-ერთ მთავარ ცენტრალურ სიბრტყეში,



### ნახ.31

გვაქვს პირდაპირი ღუნვა. წინააღმდეგ შემთხვევაში ადგილი აქვს ირიბ ღუნვას. კოჭის უძრაობის უზრუნველსაყოფად აუცილებელია მიხი ჩამაგრება. ჩამაგრების მიხედვით არჩევენ სამი ტიპის საყრდენებს:

1. ბისტი საყრდენი (ჩამაგრება). ამ შემთხვევაში კოჭის ბოლო ისეა ჩამაგრებული, რომ მას არ შეუძლია არც ხაზოვანი გადაადგილება და არც მობრუნება. ასეთ ჩამაგრებაში (ნახ. 32,ა) დატვირთვის მოქმედების გამო უნდა გაჩნდეს რეაქციის ძალის ორი (პორიზონტალური  $H$  და ვერტიკალური  $R$ ) მდგენელი და  $M_x$  რეაქტიული მომენტი.



### ნახ.32

2. უძრავი სახსროვანი საყრდენი. ამ შემთხვევაში კოჭის ბოლოს არ შეუძლია ხაზოვანი გადაადგილება, მაგრამ თავისუფლად შეუძლია

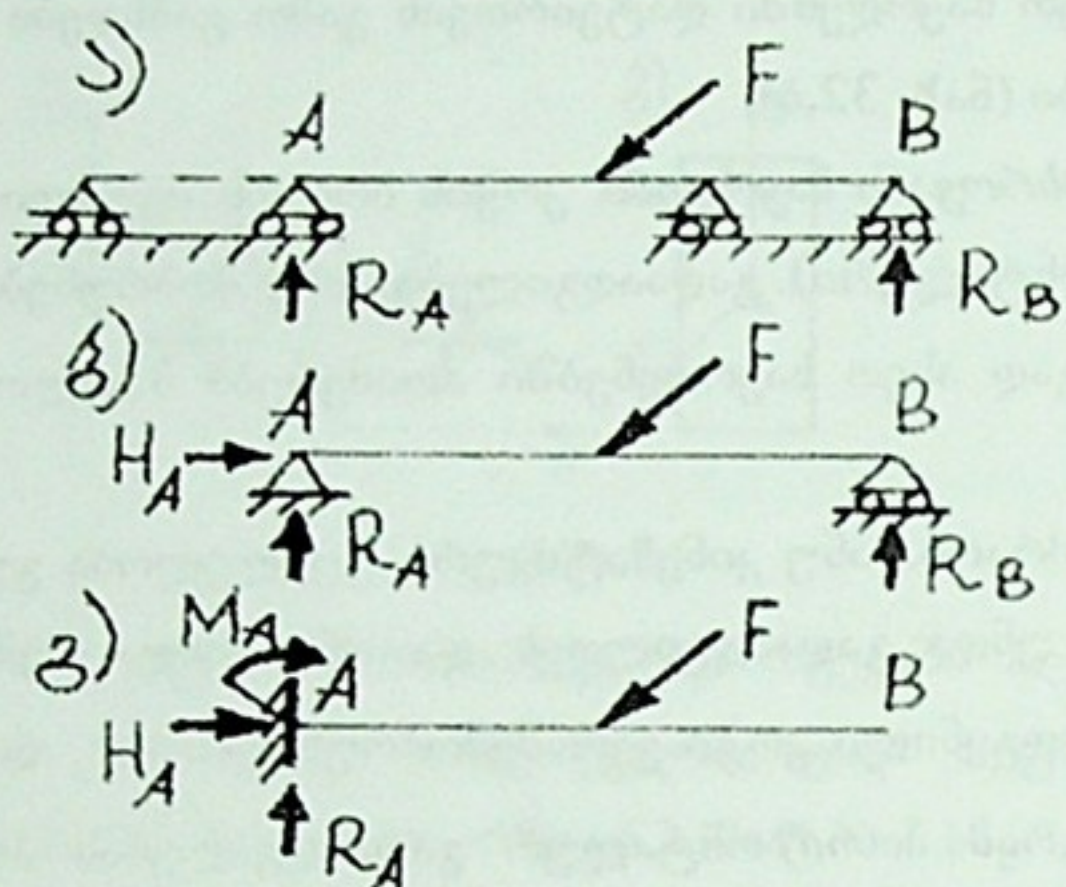
3. მოძრავი სახსროვანი საყრდენი. კოჭის ბოლოს შეუძლია როგორც ერთ-ერთი (პორიზონტალური) გადაადგილება, ისე მობრუნებაც. კოჭის დატვირთვის შედეგად ასეთ საყრდენებში აღიძვრება მხოლოდ  $R$  მდგენელი

კოჭის უძრაობა ანუ კინემატიკური უცვლელობა გულისხმობს იმას, რომ იგი არც უნდა გადაადგილდეს და არც უნდა შემობრუნდეს. 33, ანახაზზე წარმოდგენილი კოჭი ვერ შემობრუნდება ( $R_A$  და  $R_H$  ამას გამორიცხავენ), მაგრამ პორიზონტალურ გადაადგილებას არაფერი არ ეწინააღმდეგება. ე.ი. ორი რეაქტიული ძალა ( $R_A$  და  $R_H$ ) ვერ უზრუნველყოფს კოჭის უძრაობას.

33. ბ ნახაზზე წარმოდგენილი კოჭი კი პორიზონტალურადაც ვერ გადაადგილდება, ე.ი. მისი უძრაობა უზრუნველყოფილია სამი რეაქტიული ძალის ( $H_A$ ,  $R_A$  და  $R_F$ ) საშუალებით.

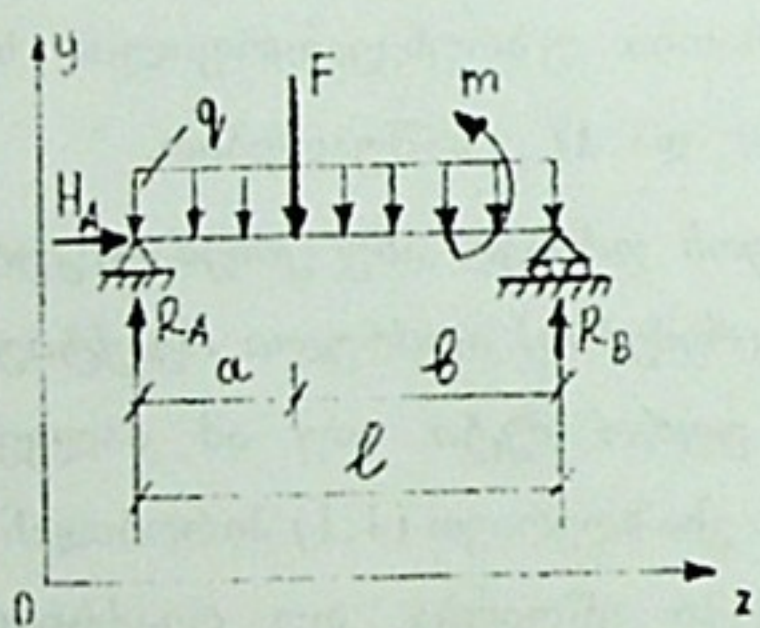
33.გ ნახაზზე წარმოდგენილი კოჭი ხისტადაა ჩამაგრებული ერთი ბოლოთი. ამ შემთხვევაშიც მისი უძრაობა უზრუნველყოფილია სამი რეაქტიული ძალოვანი ფაქტორის ( $H_A$ ,  $R_A$  და  $M_A$ ) საშუალებით.

ამგვარად იძისთვის, რომ კოჭი იყოს უძრავი, ანუ კინემატიკურად უცვლელი, საჭიროა საყრდენებებში (ჩამავრებებში) აღძრული რეაქტიული ძალვების რაოდენობა იყოს სამი და უფრო მეტი. თუ ამ ძალვების რაოდენობა არ აღემატება სამს, მაშინ მათ ვსაზღვრავთ (1.1) პირობიდან და ასეთ კოჭს სტატიკურად რკვევადი კოჭი ეწოდება. თუ რეაქტიული ძალვების რაოდენობა სამზე მეტია, მაშინ წონასწორობის პირობები საკმარისი არ არის მათი განსაზღვრისათვის და ასეთ კოჭს სტატიკურად ურკვევს ეწოდება.



ნახ. 33

## 6.2 კოჭის საყრდენების აღარშლი რეაქციების განსაზღვრა



ნახ.34

განვიხილოთ ორ საყრდენზე მდებარე სტატიკურად რკვევადი კოჭი (ნახ.34), რომელზედაც მოქმედებს პრაქტიკაში ყველაზე მეტად გავრცელებული დატვირთვები. კერძოდ, კოჭის გრძივი ლერძისადმი მართობული შეფურსული  $F$  ძალა,  $q$  ინტენსიურობის თანაბარგანაწილებული დატვირთვა და შეფურსული  $m$  მომენტი. ეს დატვირთვები მოცემული (ცნობილი) სიდიდეებია. ისინი, როგორც ვიცით, გარეგანი ძალებია და კოჭის საყრდენებში აღმრავენ  $H_1$ ,  $R_1$  და  $R_2$  რეაქტიულ ძალებს (რეაქციებს), რომლებიც აგრეთვე გარეგანი ძალებია, მაგრამ ჩვენთვის უცნობი. განვსაზღვროთ ეს რეაქციები.

ტი. ეს დატვირთვები მოცემული (ცნობილი) სიდიდეებია. ისინი, როგორც ვიცით, გარეგანი ძალებია და კოჭის საყრდენებში აღმრავენ  $H_1$ ,  $R_1$  და  $R_2$  რეაქტიულ ძალებს (რეაქციებს), რომლებიც აგრეთვე გარეგანი ძალებია, მაგრამ ჩვენთვის უცნობი. განვსაზღვროთ ეს რეაქციები.

განივი ღუნვის დროს  $H$  რეაქცია არასოდეს არ აღიძვრება, ამიტომ მომავალში მას ნახაზებზე აღარ აღვნიშნავთ.

დავწეროთ წონასწორობის პირობა  $\sum Y = 0$ .

$$\sum Y = R_A - F - ql + R_B = 0 \quad (6.1)$$

როგორც ვხედავთ ერთ განტოლებაში ორი უცნობია ( $R_A$  და  $R_B$ ) და ამიტომ ეს პირობა არ გამოგვადგება. მივმართოთ წონასწორობის  $\sum m_i = 0$  პირობას. ჩავწეროთ ეს პირობა  $ox$  ღერძის პარალელური და  $A$  წერტილზე გამავალი ღერძის მიმართ. ამ შემთხვევაში  $\sum m_i$ -ის ნაცვლად შეგვიძლია დავწეროთ  $\sum m_A$  და ვიგულისხმოთ ის, რაც აღვნიშნეთ.

ამგვარად

$$\sum m_A = -R_B l - m + Fa + ql \frac{l}{2} = 0 \quad (6.2)$$

საიდანაც

$$R_B = \frac{Fa - m + q \frac{l^2}{2}}{l} \quad (6.3)$$

ახლა იგივე პირობა ჩავწეროთ  $B$  წერტილზე გამავალი ღერძის მიმართ:

$$\sum m_B = R_A l - ql \frac{l}{2} - Fb - m = 0 \quad (6.4)$$

საიდანაც

$$R_A = \frac{Fb + m + q \frac{l^2}{2}}{l} \quad (6.5)$$

რეაქციების განსაზღვრის სისწორეს ვამოწმებთ (6.1) პირობით:

$$\sum y = \frac{Fb + m + \frac{qI^2}{2}}{l} - F - ql + \frac{Fa - m + \frac{qI^2}{2}}{l} = 0$$

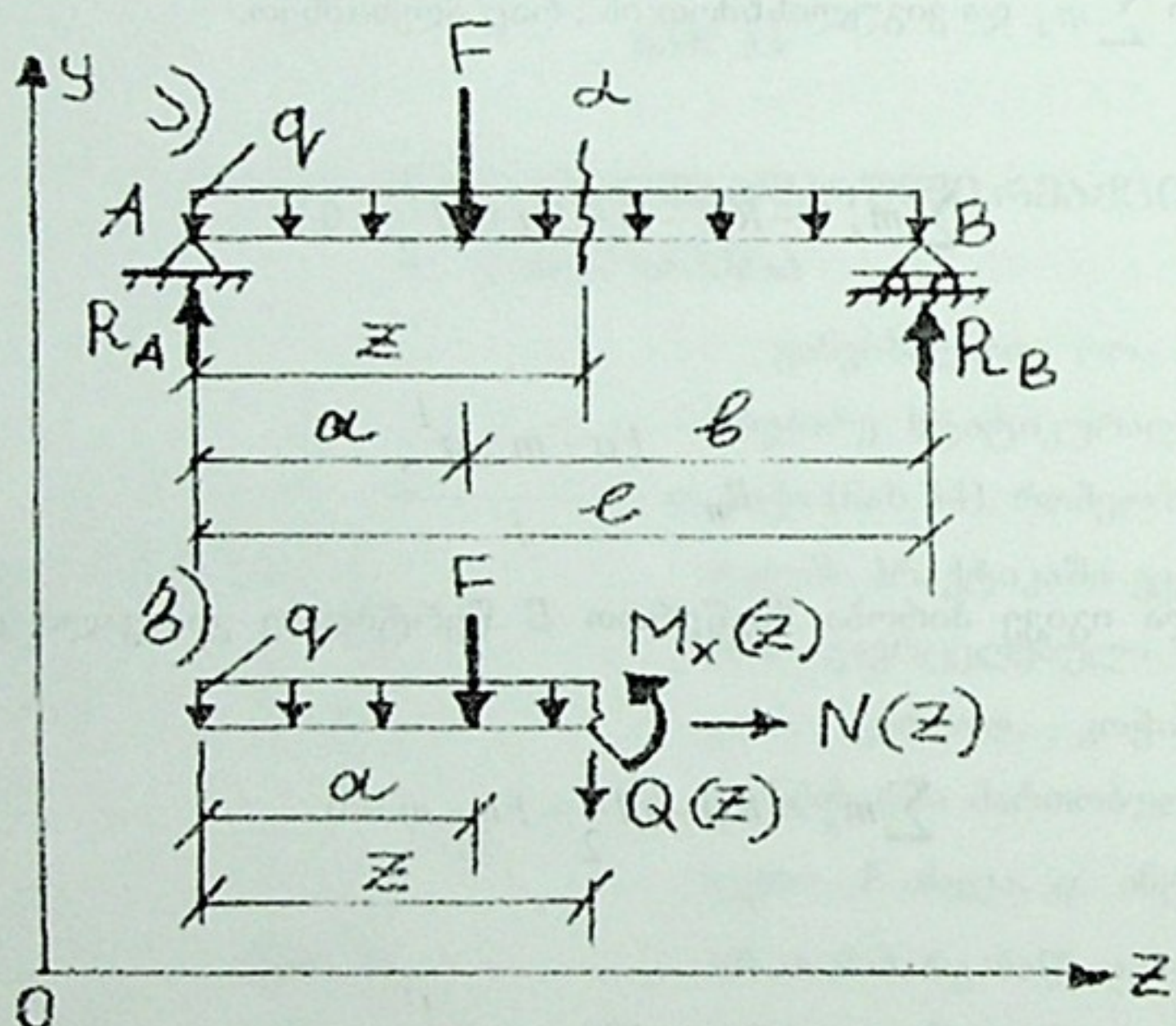
ანუ

$$\sum y = \frac{F(b+a)}{l} + ql - F - ql = 0 \quad (6.6)$$

ე.ო. რეაქციის ძალები სწორად არის განსაზღვრული.

### 6.3 შინაგანი პალვები ღუნვისას

რეაქციების განსაზღვრის შემდეგ შეგვიძლია განვსაზღვროთ შინაგანი ძალოვანი ფაქტორები ჩვენთვის ცნობილი გაკვეთის მეთოდით.



#### ნახ.35

ვთქვათ კოჭი 1 წერტილიდან რაღაც  $\varepsilon$  მანძილზე გავაკვეთოთ მისი გრძივი ღერძისადმი მართობული  $\alpha$  სიბრტყით (ნახ. 35,ა) და მარჯვენა ნაწილი მოვაცილეთ. როგორც ვიცით, განივ კვეთში იმოქმედებს შიგა ძალო-

ვანი ფაქტორები (ძალვები)  $N, Q$  და  $M_x$ . (იხილე ნახ. 6,დ). რადგანაც განსახილველი განივი კვეთი  $A$  წერტილიდან  $z$  მანძილითაა დაშორებული. ეს ძალვები იქნება  $z$  კოორდინატის ფუნქციები. ე.ი. გვექნება  $N(z), Q(z)$  და  $M_x(z)$ . (ნახ. 35, ბ)

ვინაიდან განივი ღუნვის დროს კოჭის გაღუნვა ყოველთვის ხდება  $z_0$ - სიბრტყეში, ამიტომ  $x$  ინდექსის ხმარება საჭირო აღარ არის და მომავალში  $M_x(z)$ -ის ნაცვლად დავწერთ  $M(z)$ -ს.

შიგა ძალვების განსაზღვრისათვის ვიყენებთ წონასწორობის შემდეგ პირობებს:

$$1) \sum Z = N_z = 0, \quad (6.7)$$

ე.ი. განივი ღუნვის შემთხვევაში კვეთის სიმძიმის ცენტრში ნორმალური ძალა ნულის ტოლია.

$$2) \quad \sum Y = R_A - F - qz - Q(z) = 0, \quad (6.8)$$

საიდანაც

$$Q(z) = R_A - F - qz. \quad (6.9)$$

$$3) \quad \sum m(z) = R_A \cdot z - F(z-a) - qz \frac{z}{2} - M(z) = 0, \quad (6.10)$$

საიდანაც

$$M(z) = R_A z - F(z-a) - \frac{qz^2}{2}. \quad (6.11)$$

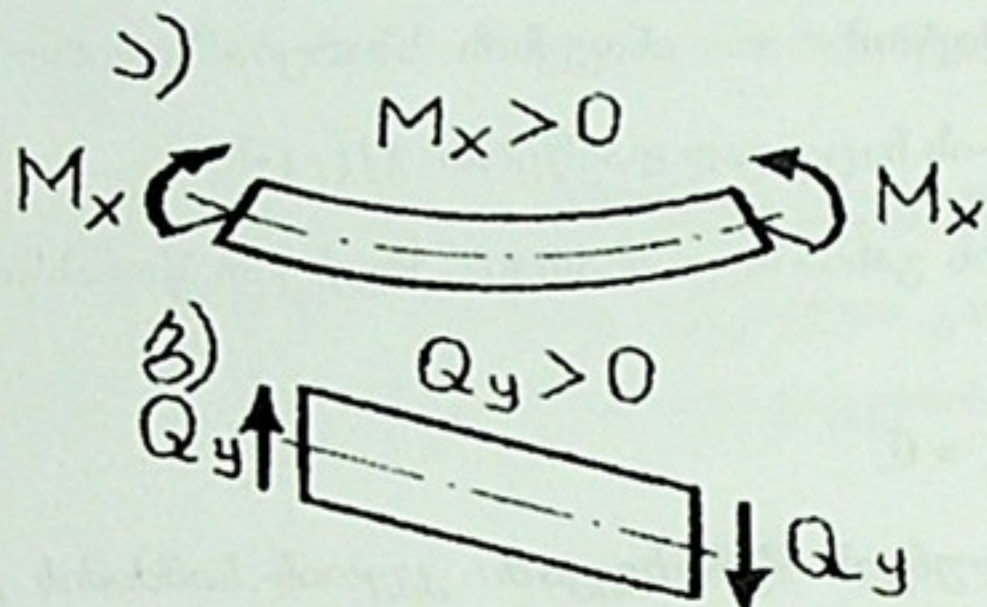
ამგვარად, განივი  $Q(z)$  ძალა კოჭის ნებისმიერ განივ კვეთში რიცხობრივად ტოლია კვეთის ცალ მხარეს მდებარე ყველა გარეგანი ძალის გეგმილების ჯამისა იყ ღერძზე.

მღუნავი  $M(z)$  მომენტი კოჭის ნებისმიერი განივი კვეთის სიმძიმის ცენტრშე გამავალი ღერძის მიმართ, რომელიც პარალელურია იხ საკორდინატო ღერძისა, რიცხობრივად ტოლია კვეთის ცალ მხარეს მდებარე ყველა გარეგანი ძალების მომენტების ჯამისა იმავე ღერძის მიმართ.

მღუნავი მომენტი ჩაითვლება დადებითად, თუ იგი იწვევს კოჭის /  
ქვედა ბოლოების გაჭიმვას (ნახ. 36,ა).

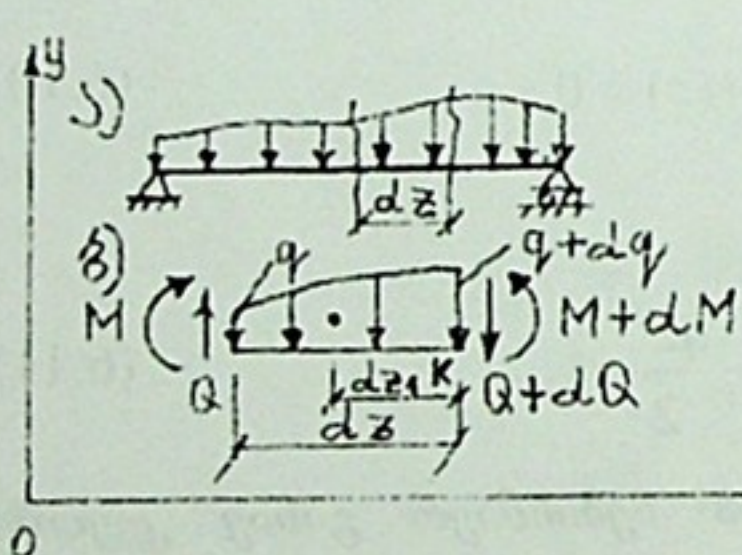
ერთობლივ  
გეგმის მიზანი

განივი ძალა ითვლება დადებითად, თუ იგი ცდილობს მოაბრუნოს  
კოჭის ელემენტი საათის ისრის მოძრაობის მიმართულებით (ნახ. 36,ბ).



ნახ.36

#### 6.4 ღიფერენციალური დამოკიდებულება მღუნავ მომენტს, განივ პალასა და დატვირთვის ინტენსიურობას შორის



ნახ.37

განვიხილოთ ორ საყრდენზე მდე-  
ბარე სტატიკურად რევერსი კოჭი,  
რომელზედაც მოქმედებს ნებისმიე-  
რი ინტენსიურობის განაწილებული  
დატვირთვა (ნახ. 37,ა). ამოვჭრათ  
ამ კოჭიდან  $dz$  სიგრძის ელემენტი  
(ნახ. 37,ბ). თუ ელემენტის მარცხენა

განივი კვეთის სიბრტყეში მოქმედებენ  $q, M$  და  $Q$ , მაშინ მარჯვენა განივი  
კვეთის სიბრტყეში უნდა იმოქმედონ მათგან უსასრულოდ მცირედ  
განსხვავებულმა  $q + dq$ ,  $M + dM$  და  $Q + dQ$ , სიდიდეებმა.  $\sum y = 0$  წონა-  
სწორობის პირობა გვაძლევს:

$$\sum y = Q - \left( \frac{q + q + dq}{2} \right) dz - (Q + dQ) = 0$$

თუ მეორე რიგის უსასრულოდ მცირე სიდიდეებს უგულვებელვყოფთ, მივიღებთ:

$$\frac{dQ}{dz} = -q \quad (6.13)$$

წონასწორობის პირობა  $\sum m_k = 0$  გვაძლევს

$$M + Qdz - \left( \frac{q + q + dq}{2} \right) dz \cdot dz_1 - (M + dM) = 0 \quad (6.14)$$

აქაც, თუ მეორე რიგის უსასრულოდ მცირე სიდიდეებს უგულვებელვყოფთ, მივიღებთ

$$Qdz - dM = 0,$$

საიდანაც

$$\frac{dM}{dz} = Q \quad (6.15)$$

თუ ამ უკანასკნელს გავაწარმოებთ  $z = \text{ით}$ , მივიღებთ

$$\frac{d^2 M}{dz^2} = \frac{dQ}{dz} \quad (6.16)$$

თუ გავითვალისწინებთ (6.13)-ს, საბოლოოდ გვექნება

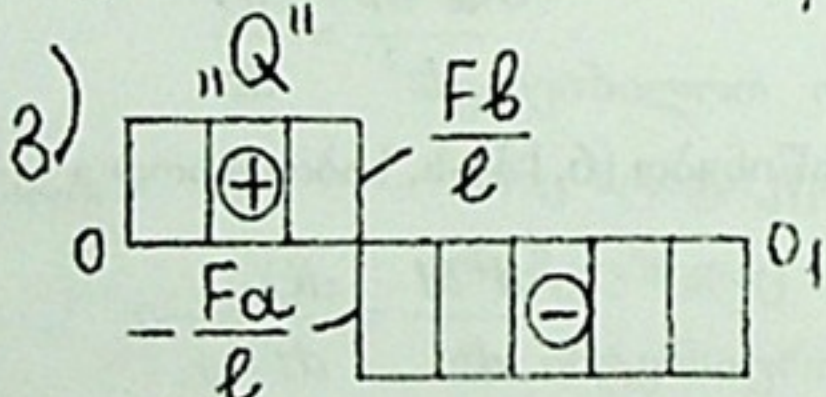
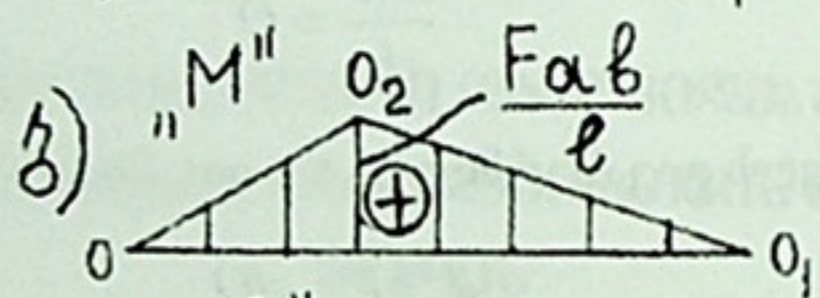
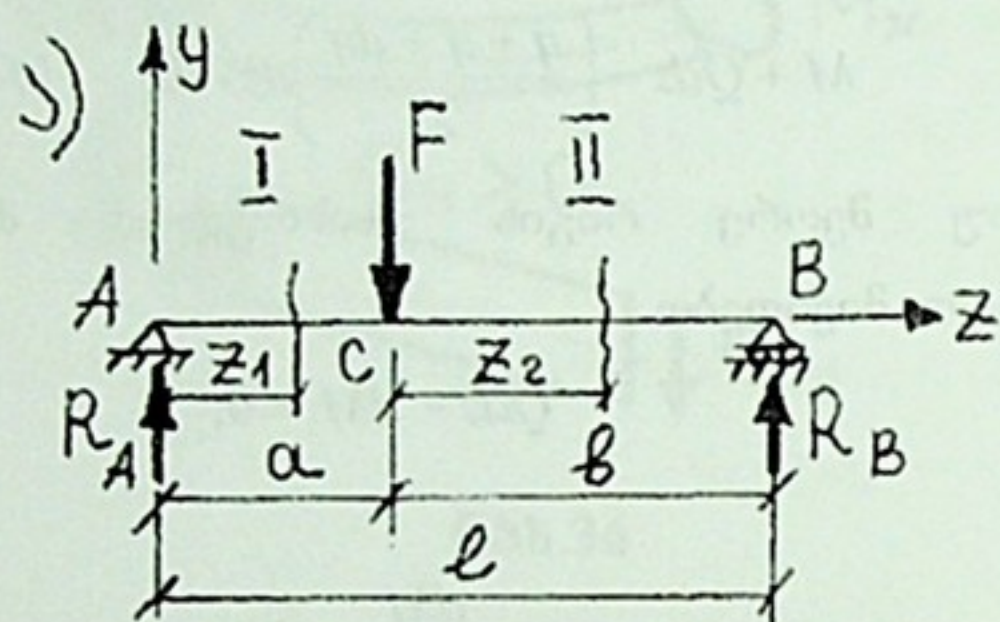
$$\frac{d^2 M}{dz^2} = \frac{dQ}{dz} = -q \quad (6.17)$$

(6.17) დამოკიდებულებები გამოიყენება მღუნავი მომენტისა და განივი ძალის ეპიურების აგების სისწორის შესამოწმებლად.

## 6.5 მღუნავი მომენტებისა და განივი ძალების მარტივი მომენტები

ჩვენ უკვე ვიცით კოჭის ნებისმიერ განივ კვეთში მღუნავი მომენტისა და განივი ძალის განსაზღვრის ზოგადი წესი. გამოვსახოთ ეს სიდიდეები გრაფიკულად ანუ ავაგოთ მღუნავი მომენტებისა და განივი ძალების ეპიურები. ვინაიდან ამ ეპიურებს სხვადასხვა კონკრეტულ შემთხვევაში

1. ორ საყდენებები მდებარე სტატიკურად რევევადი კოჭი დატვირ-  
თელია შეუცრსული ძალით (ნახ. 38,а). ჯერ უნდა განვსაზღვროთ საყრ-  
დენებში აღძრული რეაქციები. წონასწორობის  $\sum m_A = 0$  და  $\sum m_B = 0$   
პირობებიდან:



ნახ.38

$$\sum m_A = -R_B l + F a = 0, \text{ საიდანაც } R_B = F a / l \quad (6.18)$$

$$\sum m_B = R_A l - F b = 0, \text{ საიდანაც } R_A = F b / l \quad (6.19)$$

მიღებულ შედეგებს ვამოწმებთ წონასწორობის  $\sum Y = 0$  პირობით:

$$\sum F = R_A - F + R_B = \frac{Fb}{l} - F + \frac{Fa}{l} = \frac{F(a+b)}{l} - F = \frac{Fl}{l} - F = 0,$$

ე. ი. რეაქციები სწორად არის განსაზღვრული.

ამის შემდეგ კოჭზე უნდა გავატაროთ იმდენი კვეთი, რამდენი დატვირთვის უბანიც გვაქვს. დატვირთვის უბანი ეწოდება კოჭის იმ ნაწილს, რომელიც მოთავსებულია ორ ძალოვან ფაქტორს შორის. განსახილველ შემთხვევაში გვაქვს ორი უბანი: **AC** უბანი და **CB** უბანი.

გავკვეთოთ კოჭი პირველ უბანში  $A$  საყრდენიდან რაიმე  $z_1$  მანძილზე და მოვაშოროთ მარჯვენა მხარე.

ამ შემთხვევაში განივ კვეთში მოქმედი მღუნავი მომენტი იქნება:

$$M(z_1) = R_A z_1 = \frac{Fb}{l} z_1 \quad (6.20)$$

$$\text{როდესაც } z_1 = 0; \quad M(z_1) = 0$$

$$\text{როდესაც } z_1 = a; \quad M(z_1) = \frac{Fab}{l}.$$

ახლა გავკვეთოთ კოჭი მეორე უბანში  $A$  საყრდენიდან რაიმე  $(a+z_2)$  მანძილზე. მღუნავი მომენტი განივ კვეთში იქნება:

$$M(z_2) = R_A(a+z_2) - Fz_2 = \frac{Fb}{l}(a+z_2) - Fz_2. \quad (6.21)$$

$$\text{როდესაც } z_2 = 0; \quad M(z_2) = \frac{Fab}{l}$$

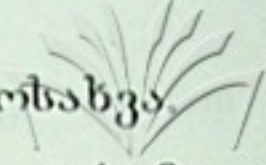
$$\text{როდესაც } z_2 = b; \quad M(z_2) = \frac{Fb(a+b)}{l} - Fb = 0.$$

კოჭის პირველ უბანში განივი ძალის განსაზღვრისათვის კვეთის მარცხნივ მდებარე ყველა ძალა დავაგეგმილოთ იყ ღერძზე:

$$Q(z_1) = R_A = \frac{Fb}{l} = \text{const.} \quad (6.22)$$

კოჭის მეორე უბანშიც ანალოგიურად ვიქცევით:

$$Q(z_2) = R_A - F = \frac{Fb}{l} - F = \frac{F(l-a) - Fl}{l} = -\frac{Fa}{l} = \text{const.} \quad (6.23)$$

ახლა უკვე შეგვიძლია ამ სიდიდეების გრაფიკულად გამოსახვა  
აკაგოთ ჯერ მღუნავი მომენტების ეპიურა. ამისათვის შევთანხმდეთ  თუ მომენტს აქვს დადებითი ნიშანი, მისი სიდიდე გადავზომოთ ე.წ. ნულო-  
ვანი ხაზის (*ი. ხაზი 38, ბ ნახაზზე*) ზემოთ. წინააღმდეგ შემთხვევაში -  
ქვემოთ. მღუნავი მომენტის მნიშვნელობები *A* და *B* წერტილებზე გამავალ  
განივ კვეთებში ნულის ტოლია, ხოლო *C* წერტილზე გამავალ განივ  
კვეთები (როდესაც  $z_1 = a$  და  $z_2 = 0$ )  $M(z) = \frac{Fab}{l}$ . ეს სიდიდე დადებითია,  
ამიტომ მას გადავზომავთ (რაიმე მასშტაბში) ნულოვანი ხაზის ზემოთ და  
ვინაიდან (6.20) და (6.21)-ის თანახმად  $M(z)$  ფუნქცია წრფივია, როგორც  
 $o$  და  $o_2$ , ისე  $o_2$  და  $o_1$  წერტილებს ვაერთებთ სწორი ხაზებით. მიღებული  
გრაფიკული გამოსახვის (ეპიურის) აზრი იმაში მდგომარეობს, რომ კოჭის  
ნებისმიერი განივი კვეთისათვის შეგვიძლია მღუნავი მომენტის განსაზღვრა  
ეპიურაზე შესაბამისი ორდინატის გაზომვით.

ანალოგიურად აიგება განივი ძალებს ეპიურა. ვინაიდან მთელ პირ-  
ველ უბანზე  $Q(z_1) = \frac{Fh}{l} = R_A = const$ , ამიტომ ეპიურაზეც ამ ორდინატის  
სიდიდე მუდმივი იქნება. ასევე მუდმივი იქნება  $Q(z_2) = -\frac{Fa}{l} = -R_h = const$ ,

ორდინატის სიდიდეც (იხ. ნახ. 38, გ).

შევნიშნოთ რომ მღუნავი მომენტის ეპიურა აღინიშნება სიმბოლოთი  
„*M*“, ხოლო განივი ძალის - „*Q*“.

2. ორ საყრდეზე მდებარე სტატიკურად რკვევად კოჭზე ძოქმედებს  
თანაბრად განაწილებული დატვირთვა (ნახ. 39, ა).

განვსაზღვროთ რეაქციები

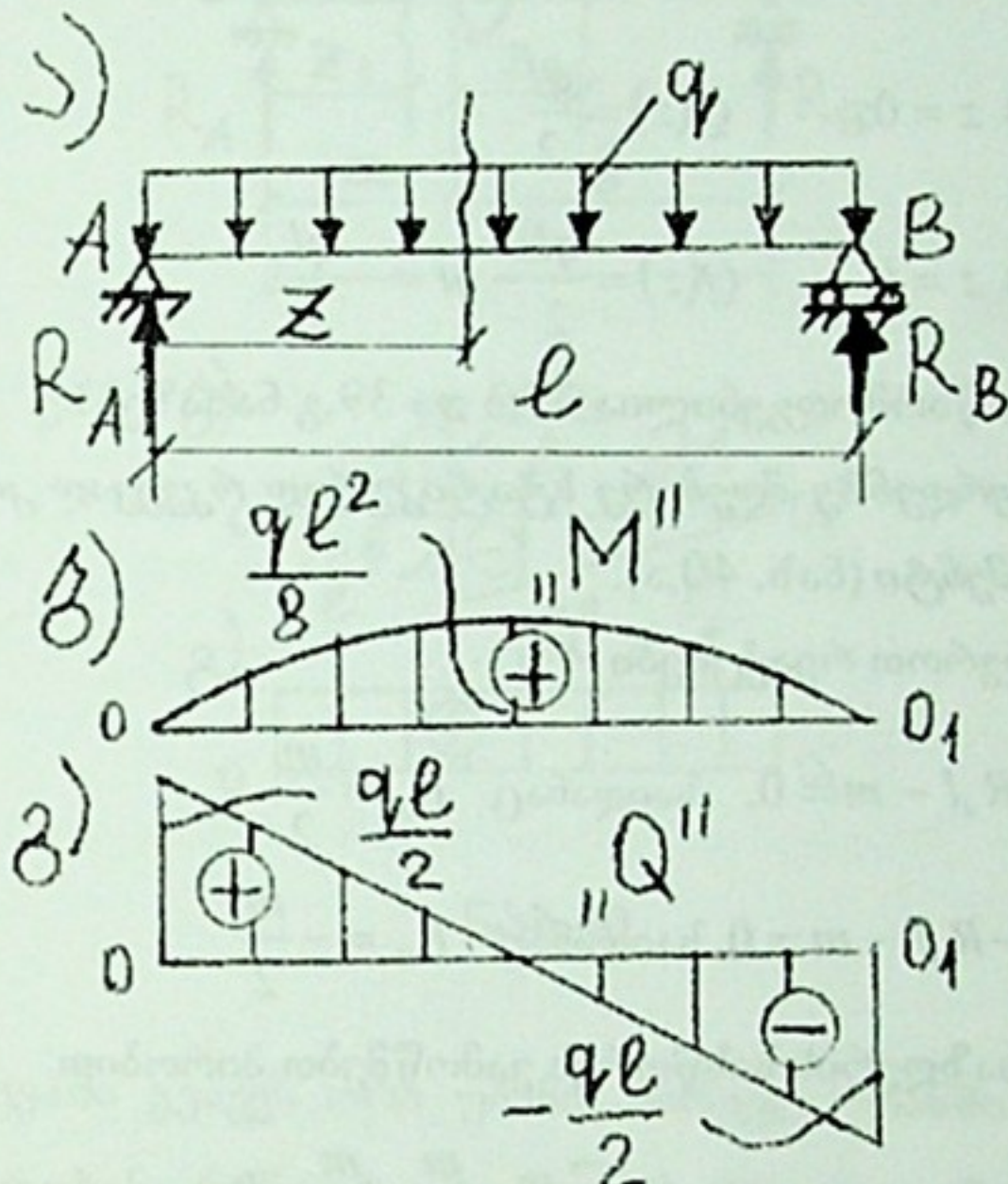
$$\sum m_H = R_A l - \frac{q l^2}{2} = 0, \text{ საიდანაც } R_A = \frac{q l}{2} \quad (6.24)$$

$$\sum m_A = -R_H l + \frac{q l^2}{2} = 0, \text{ საიდანაც } R_H = \frac{q l}{2} \quad (6.25)$$

მიღებულ შედეგებს ვამოწმებთ პირობით:

$$\sum Y = \frac{ql}{2} - ql + \frac{ql}{2} = ql - ql = 0.$$

ამრიგად, რეაქციები სწორად არის განსაზღვრული.



### 6.39

ამ შემთხვევაში კოჭის მიულ სიგრძეზე გვექნება ერთი უბანი, რადგანაც ნებისმიერი განივი კვეთის ცალ მხარეზე, კერძოდ მარცხენა მხარეზე, მოქმედებს  $R_A$  და  $qz$  ძალები.

მღუნავი მომენტი კოჭის  $A$  წერტილიდან ვ მანძილზე არსებულ განივ კვეთში იქნება:

$$M(z) = R_A z - \frac{q z^2}{2} = \frac{q l}{2} z - \frac{q z^2}{2} \quad (6.26)$$

$$\text{როდესაც } z = 0; \quad M(z) = 0.$$

$$\text{როდესაც } z = l; \quad M(z) = 0.$$

$$\text{როდესაც } z = \frac{l}{2}; \quad M(z) = \frac{q l}{2} \frac{l}{2} - \frac{q}{2} \left( \frac{l}{2} \right)^2 = \frac{q l^2}{8}.$$

## განივი ძალა

$$Q(z) = R_A - qz = \frac{ql}{2} - qz$$

როდესაც  $z = 0$ ;  $Q(z) = \frac{ql}{2}$ .

როდესაც  $z = l$ ;  $Q(z) = \frac{ql}{2} - ql = -\frac{ql}{2}$ .

ეპიურები წარმოდგენილია 39,ბ და 39,გ ნახაზებზე.

3. ორ საყრდენზე მდებარე სტატიკურად რკვევად კოჭზე მოქმედებს შეფერხული მოძრენტი (ნახ. 40,ა).

განვსაზღვროთ რეაქციები

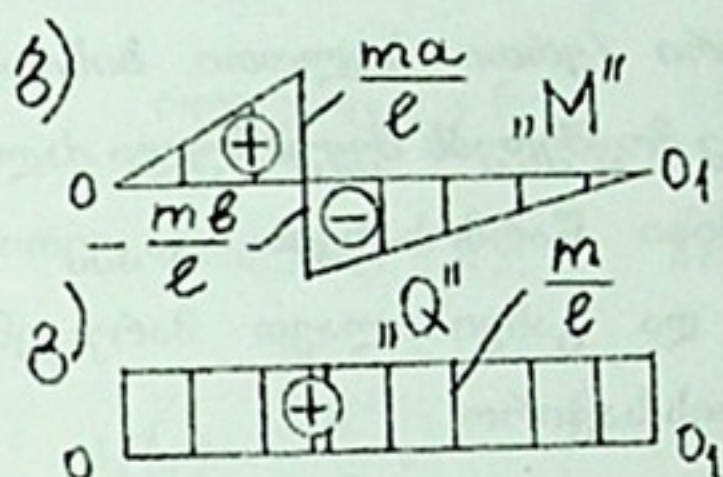
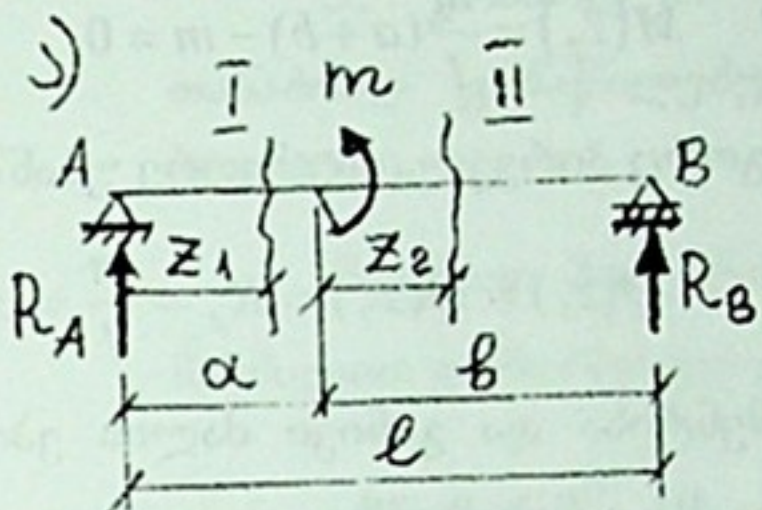
$$\sum m_B = R_A l - m = 0, \text{ საიდანაც } R_A = \frac{m}{2} \quad (6.28)$$

$$\sum m_A = -R_B l - m = 0, \text{ საიდანაც } R_B = -\frac{m}{2} \quad (6.29)$$

რეაქციების განსაზღვრის სისწორეს ვამოწმებთ პირობით:

$$\sum Y = \frac{m}{l} - \frac{m}{l} = 0;$$

ე.ი. რეაქციები სწორად არის განსაზღვრული.



### ნახ.40

ამ შემთხვევაში გვაქვს ორი უბანი: პირველ უბანში გატარებული განივი კვეთის მარცხენა ნაწილზე მოქმედებს მხოლოდ  $R_A$  ძალა, ხოლო მეორე ნაწილში გატარებული განივი კვეთის მარცხენა ნაწილზე -  $R_A$  ძალა და  $m$  მომენტი (ნახ. 40,ა).

მღუნავი მომენტი კოჭის პირველ უბანში გატარებულ განივ კვეთში:

$$M(z_1) = R_A z_1 = \frac{m}{l} z_1 \quad (6.30)$$

როდესაც  $z_1 = 0$ ;  $M(z_1) = 0$ .

როდესაც  $z = a$ ;  $M(z_1) = \frac{ma}{l}$ .

მღუნავი მომენტი კოჭის მეორე უბანში გატარებულ განივ კვეთში:

$$M(z_2) = R_A(a + z_2) - m = \frac{m}{l}(a + z_2) - m \quad (6.31)$$

როდესაც  $z_2 = 0$ ;  $M(z_2) = \frac{ma}{l} - m = \frac{ma - ml}{l} = \frac{-m(l-a)}{l} = -\frac{mb}{l}$ .

$$\text{როდესაც } z_2 = b; \quad M(z_2) = \frac{m}{l} (a + b) - m = 0.$$

განივი ძალა კი როგორც პირველ, ისე მეორე უბანში ერთნაირია:

$$Q(z_1) = Q(z_2) = R_A = \frac{m}{l} = \text{const.} \quad (6.32)$$

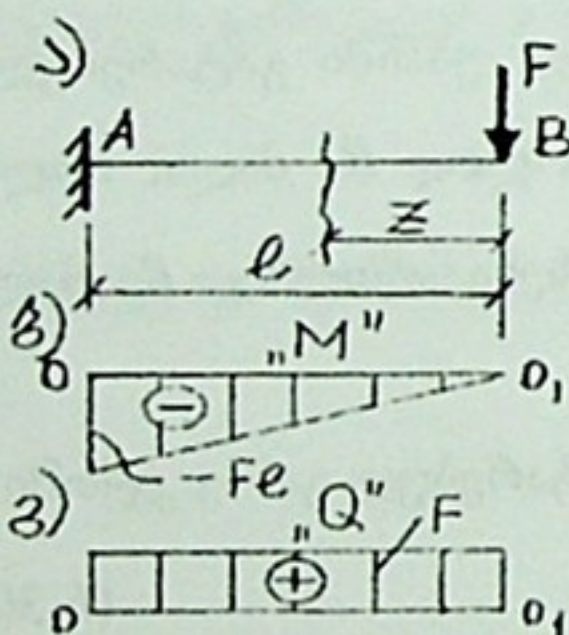
მღუნავი მომენტისა და განივი ძალის ეპიურები წარმოდგენილია შესაბამისად 40, ბ და 40, გ ნახაზებზე.

**4. კონსოლური (ერთი ბოლოთი ხისტად ჩამაგრებული) კოჭის თავისუფალ ბოლოზე მოქმედებს შეყურსული ძალა (ნახ. 41,ა).**

თუ კოჭს, მისი წარმოსახვით გაკვეთის შემდეგ მოვაცილებო მარცხენა ნაწილს და განვიხილავთ მარჯვენა ნაწილს, რეაქციების განსაზღვრა აღარ არის საჭირო.

მღუნავი მომენტი  $B$  წერტილიდან  $z$  მანძილით დაშორებულ განივ კვეთში იქნება

$$M(z) = -Fz. \quad (6.33)$$



უარყოფითი ნიშანი მიუთითებს იმას, რომ კოჭის ზედა ბოჭკოები იჭიმება.

$$\text{როდესაც } z = 0; \quad M(z) = 0.$$

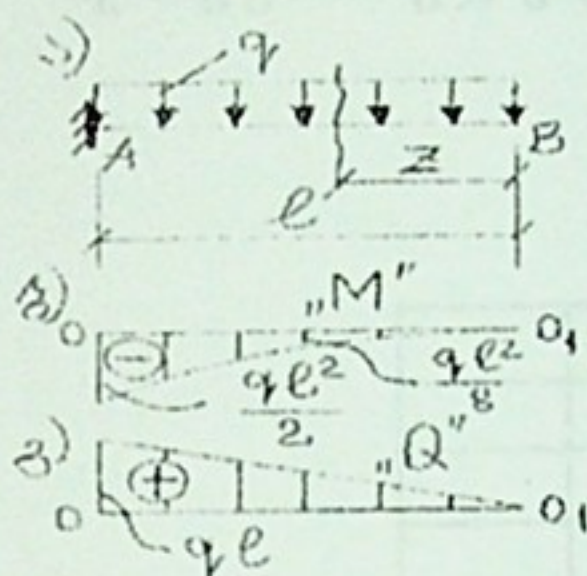
$$\text{როდესაც } z = l; \quad M(z) = -Fl.$$

$$\text{განივი ძალა } Q(z) = F = \text{const.}$$

### ნახ.41

მღუნავი მომენტის და განივი ძალის ეპიურები წარმოდგენილია შესაბამისად 41,ბ და 41,გ ნახაზებზე.

5. კონსტრუქციული კოჭის მოქმედებას  
თანაბრად განაწილებული დატვირთვაში იყენებენ  
(ნახ. 42, а).



**ნახ. 42**

მღუნავი მომენტი  $B$  წერტილიდან =  
მანძილით დაშორებულ განივ კვეთში

$$M(z) = -\frac{qz^2}{2} \quad (6.34)$$

როდესაც  $z = 0$ ;  $M(z) = 0$ .

როდესაც  $z = l$ ;  $M(z) = -\frac{ql^2}{2}$ .

როდესაც  $z = \frac{l}{2}$ ;  $M(z) = -\frac{ql^2}{8}$ .

განივი ძალა

$$Q(z) = qz \quad (6.35)$$

როდესაც  $z = 0$ ;  $Q(z) = 0$ .

როდესაც  $z = l$ ;  $Q(z) = ql$ .

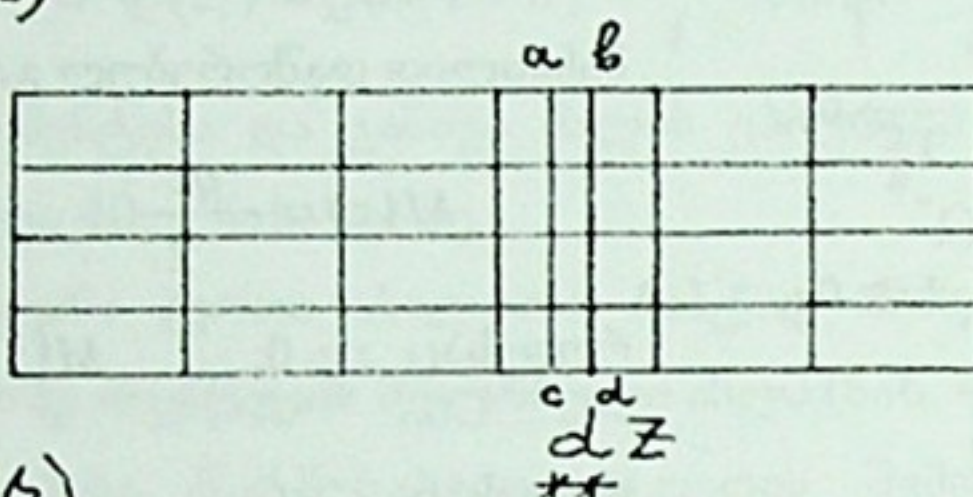
მღუნავი მომენტისა და განივი ძალის ეპიურები წარმოდგენილია შესაბამისად 42, ბ და 42, გ ნახაზებზე.

## 6.6. კოჭის დაპაპული მდგრადარაობა პირდაპირი ლუნის შემთხვევაში

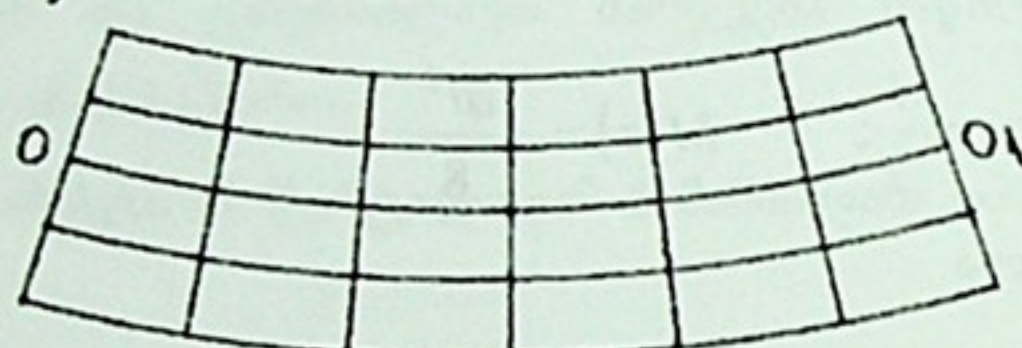
თუ მართკუთხა განივი კვეთის მქონე კოჭის გვერდით ზედაპირზე დავიტანთ გრძივი და განივი ლარების ბადეს (ნახ. 43, ა) და გავლუნავთ ერთ-ერთ მთავარ სიბრტყეში (კერძოდ, ნახაზის სიბრტყეში) დავინახავთ რომ გრძივი ლარები, რომლებიც პარალელურნი იყვნენ გამრუდებამდე, გამრუდების შემდეგაც პარალელურნი დარჩებიან. (ნახ. 43, ბ). ე. ი. შეგვიძლია დავუშვათ, რომ კოჭის პორიზონტალური შრეები ერთმანეთის არ აწვება. კოჭის ქვედა შრეები დაგრძელდება, ხოლო ზედა - დამოკლდება. ამგვარად,

არსებობს ისეთი შრე, რომელიც არ იცვლის სიგრძეს. ასეთ შრეს ნეიტრალური შრე (00, შრე 43, ბ ნახაზზე). კერტიკალური ანუ განვითარებული ნეიტრალური შრე (00, შრე 43, ბ ნახაზზე).

5)

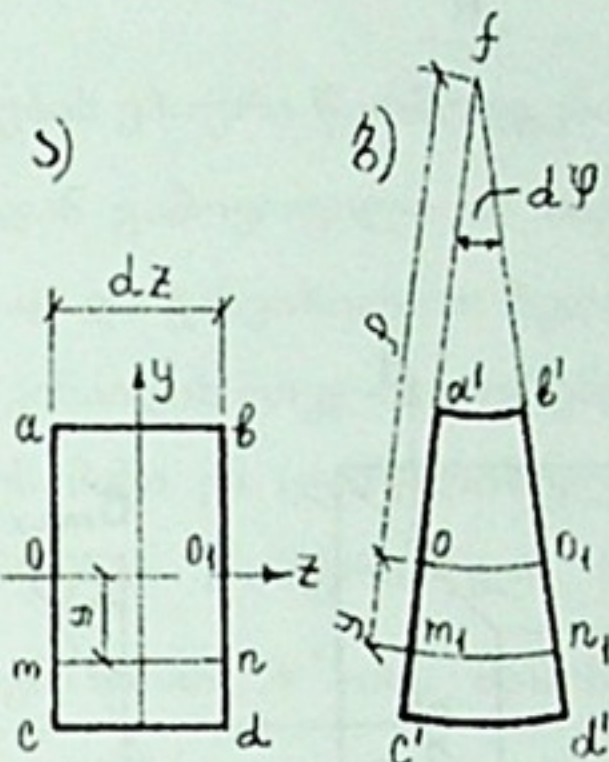


6)



### ნახ. 43

ხაზები გადაიხრებიან, მაგრამ არ გამრუდდებიან. ბუნებრივია ვივარაუდოთ, რომ კოჭის განივი კვეთის სიბრტყეები რჩება ბრტყელი გალუნვის შემდეგაც. ეს დებულება ატარებს ბრტყელი კვეთის პიპოთების ანუ ბერნულის პიპოთების სახელს. ამ პიპოთებას, რომელიც სუფთა ღუნვის შემთხვევაში საკმაოდ ზუსტია, ავრცელებენ განივი ღუნვის შემთხვევაზეც. გამოვყოთ კოჭიდან (ნახ. 43, ა)  $dz$  სიგრძის  $abdc$  ელემენტი (ნახ. 44, ა). კოჭის გალუნვის შემდეგ ეს ელემენტი მიიღებს  $a'b'd'c'$  მდგომარეობას (ნახ. 44, ბ) და 00, ნეიტრალური შრიდან რაღაც  $y$  მანძილზე მდებარე  $m$  შრე (ნახ. 44, ა) დაგრძელდება ( $m, n$ , შრე 44, ბ ნახაზზე), ხოლო ნეიტრალური 00, შრე მხოლოდ გამრუდდება.  $ac$  და  $bd$  ხაზების გადაკვეთის კუთხე აღვნიშნოთ  $d\varphi$ -თი, ხოლო მანძილი ნეიტრალური შრიდან გადაკვეთის  $f$  წერტილამდე  $\rho$ -თი, რომელსაც სიმრუდის რადიუსი ეწოდება.



### ნახ.44

ნახაზიდან ჩანს, რომ რკალის სიგრძე  $m_1 n_1 = (\rho + y)d\varphi$ , ხოლო  $mn = \rho d\varphi$ .  $mn$  შრის აბსოლუტური წაგრძელება  $m_1 n_1 - mn = yd\varphi$ , ხოლო  $mn$  შრის ფარდობითი წაგრძელება (ხაზობრივი ფარდობითი დეფორმაცია).

$$\varepsilon = \frac{m_1 n_1 - mn}{mn} = \frac{yd\varphi}{\rho d\varphi} = \frac{y}{\rho}. \quad (6.36)$$

მეორეს მხრივ პუკის კანონის თანახმად  $\sigma = E\varepsilon$ . ძაბვა, რომელიც მოქმედებს კოჭის ნეიტრალური შრიდან  $y$  მანძილით დაშორებულ  $m_1 n_1$  შრებე, იქნება

$$\sigma(y) = E \frac{y}{\rho} \quad (6.37)$$

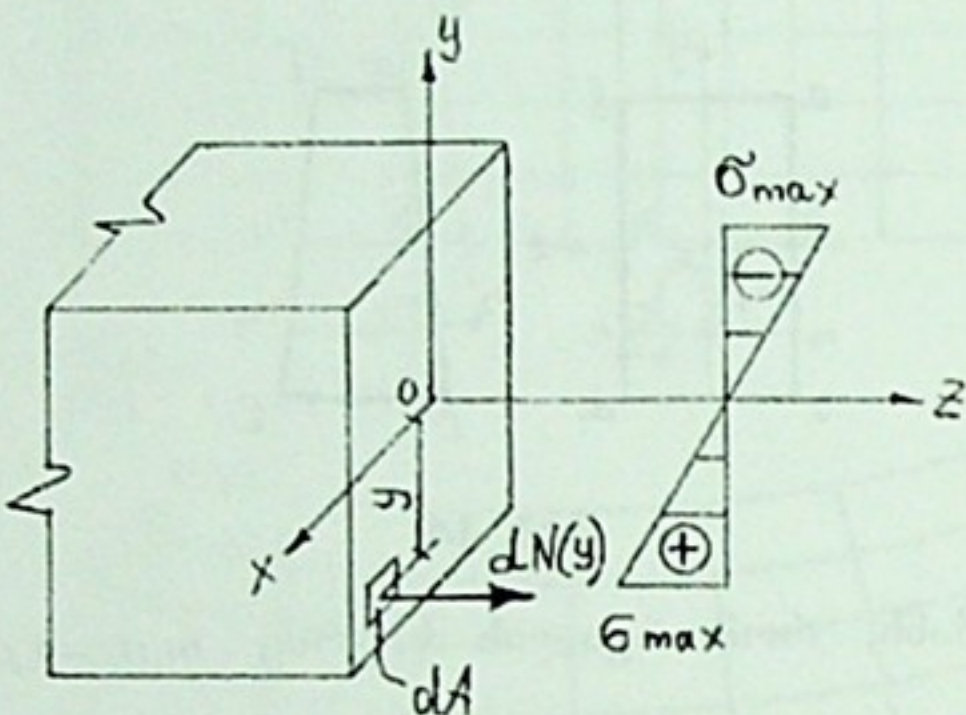
ამ განტოლების თანახმად, როდესაც  $y = 0$ ;  $\sigma(y) = 0$ . ე.ო.  
ნეიტრალურ შრებე ნორმალური ძაბვა ნულის ტოლია.

ახლი განვხაზღვროთ სიმრუდის  $\rho$  რადიუსი.  $dN(y)$  ელემენტარული ძალებისაგან (ნახ.45) გაძონელული ძლიუნავი მომენტი  $Ox$  ლერძისადმი იქნება

$$M_x = \int_A y\sigma(y)dA = \int_A yE \frac{y}{\rho} dA = \frac{E}{\rho} \int_A y^2 dA = \frac{EI_x}{\rho} \quad (6.38)$$

საიდანაც

$$\frac{1}{\rho} = \frac{M_x}{EI_x} \quad (6.39)$$



### 65.45

(6.37) - ის თანახმად

$$\sigma(y) = EI_y \frac{1}{\rho} = y \frac{M_x}{I_x} \quad (6.40)$$

როდესაც  $y=y_{\max}$ , მაშინ  $\sigma(y)=\sigma_{\max}$ . ამიტომ (6.40) მიიღებს სახეს

$$\sigma_{\max} = \frac{M_x}{I_x} y_{\max} \quad (6.41)$$

შემოვიდოთ აღნიშვნა

$$W_{\max} = \frac{I_x}{y_{\max}} \quad (6.42)$$

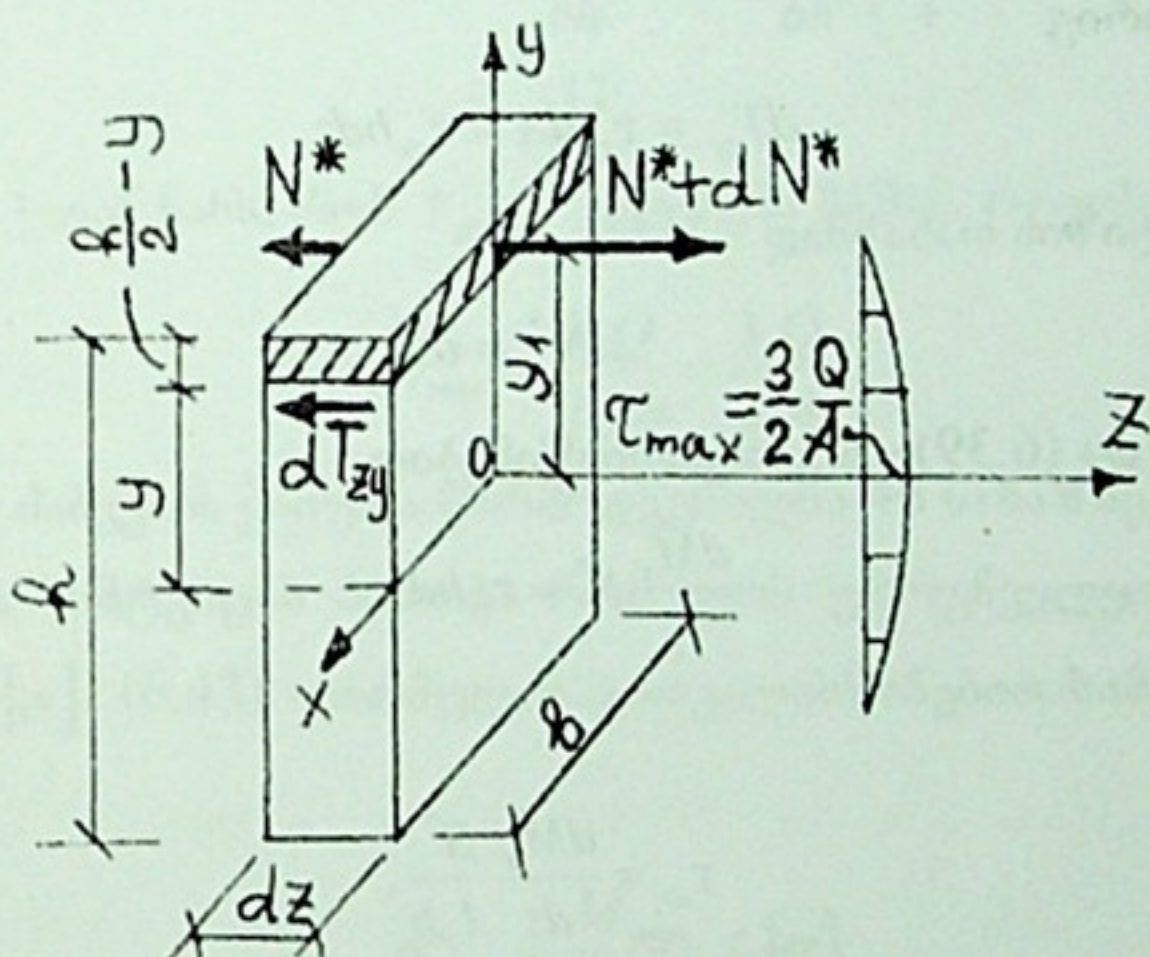
ამ უკანასკნელს უწოდებენ განივი კვეთის ლერძულ წინაღობის მომენტს.

(6.42)-ის საფუძველზე (6.41) მიიღებს სახეს

$$\sigma_{\max} = \frac{M_x}{W_x}$$

ნორმალური ძაბვების ეპიურა წარმოდგენილია 45 ნახაზზე.

ჩვენს მიერ კოჭიდან გამოყოფილი  $dz$  სიგრძის ელემენტი (ნახ. ნახ. 44,ა) გავყოთ ორ ნაწილად და განვიხილოთ ზედა (დაშტრიხული) ნაწილის წონასწორობა (ნახ.46). ვინაიდან მთელი ელემენტი წონასწორობაშია, წონასწორობაში უნდა იყოს მისი ეს (დაშტრიხული) ნაწილიც. ნორმალური ძალა, რომელიც ელემენტის დაშტრიხული ნაწილის მარცხენა განივ კვეთზე მოქმედებს, აღვნიშნოთ  $N^*$ -ით. მაშინ მარჯვენა განივ კვეთზე იმოქმედებს მარცხენასაგან მცირედ განსხვავებული  $N^* + dN^*$  ძალა;



ნახ.46

წონასწორობის პირობა  $\sum Z = -N^* + N^* + dN^* = 0$  გვაძლევს, რომ  $dN^* = 0$ . ეს კი სინამდვილეს არ შეესაბამება, რადგანაც ნორმალური ძაბვები(და ე.ი. ნორმალური ძალებიც) ღუნვისას სხვადასხვა განივ კვეთებში სხვადასხვა და ამიტომ  $dN^* \neq 0$ . ე.ი. უნდა არსებობდეს ამ

ელემენტარული ძალის ტოლი და მის საწინააღმდეგოდ მიმართული რაოდაც  $dT_y$  ძალა, რომელიც დაშტრიხული ნაწილის ქვედა (ვინ სტრუქტურული პარალელურ) სიბრტყეზე მოქმედებს. მხოლოდ ამ შემთხვევაში შეიძლება დაკმაყოფილდეს  $\sum z = 0$  წონასწორობის პირობა დაშტრიხული ნაწილისათვის.

$$\text{რადგანაც } N^* = \int_A \sigma(y) dA \quad (\text{ნახაზის თანახმად}), \text{ ამიტომ}$$

$$dN^* = \int_A d\sigma(y) dA = \int_A \frac{dM_x}{I_x} y_1 dA = \frac{dM_x}{I_x} S^*, \quad (6.44)$$

სადაც  $S^* = \int_A y_1 dA$  არის დაშტრიხული ფართობის სტატიკური მომენტი იხ ღერძის მიმართ.

მეორეს მხრივ

$$dT_{zy} = \tau_{zy} dA = \tau_{zy} b dz. \quad (6.45)$$

ჩვენი ანალიზის თანახმად

$$dN^* = dT_{zy}, \quad (6.46)$$

ანუ (6.38) და (6.39)-ის გათვალისწინებით

$$\frac{dM_x}{I_x} S^* = \tau_{zy} b dz.$$

საიდანაც

$$\tau_{zy} = \frac{dM_x}{dz} \frac{S^*}{I_x b}, \quad (6.47)$$

მხები ძაბვების წყვილადობის კანონის თანახმად (იხ. ფორმულა 4.6)

$$\tau_{zy} = \tau_{yz} \text{ ი. ი.}$$

$$\tau_{yz} = \frac{dM_x}{dz} \frac{S^*}{I_x b}. \quad (6.48)$$

(6.15)-ის გათვალისწინებით (6.48) მიიღებს სახეს:

$$\tau_{yz} = \frac{QS^*}{I_x h}.$$

ამ ფორმულას უწოდებენ უურავსკის ფორმულას. თუ გვაქვს მართვული განივი კვეთი, როგორც ეს 46-ე ნახაზზეა წარმოდგენილი, მაშინ

$$S^* = b\left(\frac{h}{2} - y\right)y_1 = b\left(\frac{h}{2} - y\right)\left(\frac{h/2 - y}{2} + y\right) = \frac{b}{2}\left(\frac{h}{2} - y\right)\left(\frac{h}{2} + y\right) = \\ = \frac{b}{2}\left(\frac{h^2}{4} - y^2\right);$$

(3.25)-ის თანახმად  $I_x = \frac{bh^3}{12}$  და ამიტომ

$$\tau_{yz} = \frac{Q \frac{b}{2} \left( \frac{h^2}{4} - y^2 \right)}{b \frac{bh^3}{12}} = \frac{6Q}{bh^3} \left( \frac{h^2}{4} - y^2 \right).$$

აქედან ჩანს, რომ  $\tau_{max}$  გვექნება მაშინ, როდესაც  $y=0$ . ე.ო.

$$\tau_{max} = \frac{3}{2} \frac{Q}{bh} = \frac{3}{2} \frac{Q}{A}.$$

მხები ძაბვების ეპიურა წარმოდგენილია 46 ნახაზზე.

კოჭის სიმტკიცის პირობა რომ იყოს უზრუნველყოფილი, საჭიროა რომ  $\sigma_{max} < [\sigma]$ . (6.43) ფორმულის გათვალისწინებით სიმტკიცის პირობას აქვს სახე:

$$\sigma_{max} = \frac{M_{max}}{W_x} \leq [\sigma] \quad (6.50)$$

საიდანაც განისაზღვრება საჭირო წინაღობის მომენტი

$$W_x^{b,y} = \frac{M_{max}}{[\sigma]}.$$

ამ უკანასკნელის მიხედვით სდება კოჭის განივი კვეთის შერჩევა.

ზოგჯერ საჭიროა სიმტკიცის შემოწმება მსები ძაბვების მიხედვით, რომელსაც ვახორციელებთ უურავსკის ფორმულით:

$$\tau_{\max} = \frac{Q S^3}{I_y b} < [\tau].$$

## 6.7 სტატიკურად რეპევალი კოშის გაანგარიშება ღუნვაზე

სტატიკურად რკვევად კოჭზე მოდებულია  $m=20$  კნმ შეფერხული მომენტი და  $F=40$  კნ შეფერხული ძალა (ნახ. 47).  $a=2\vartheta$ ;  $b=3\vartheta$ ;  $c=1\vartheta$ . კოჭი უნდა განხორციელდეს ფოლადის შველერისაგან. რომლისთვისაც  $[\sigma]=16$  კნ/სმ<sup>2</sup>.

სტატიკურად რკვევადი კოჭის განხორციელება შეიძლება ორი გზით: 1) კოჭის ბოლოები უნდა დავამაგროთ უძრავ და მოძრავ სახსროვან საყრდენებზე ან 2) კოჭის ერთ-ერთი ბოლო ხისტად ჩავამაგროთ.

**გადაწყვეტა:** ჯერ განვიხილოთ პირველი ვარიანტი (ნახ.47,ა).

განვსაზღვროთ რეაქციები. ამისათვის გამოვიყენოთ წონასწორების პირობა  $\sum m = 0$ .

$$\sum m_A = -R_\mu(a+b+c) + F(a+b) - m = \\ = -R_\mu \cdot 6 + 40 \cdot 5 - 20 = 0.$$

საიდანაც  $R_s = 180/6 = 30$  კმ.

ანალოგიურად

$$\sum m_i = R_1(a+b+c) - m - F \cdot c = R_1 \cdot 6 - 20 - 40 \cdot 1 = 0. \quad \text{bsoogso6sG}$$

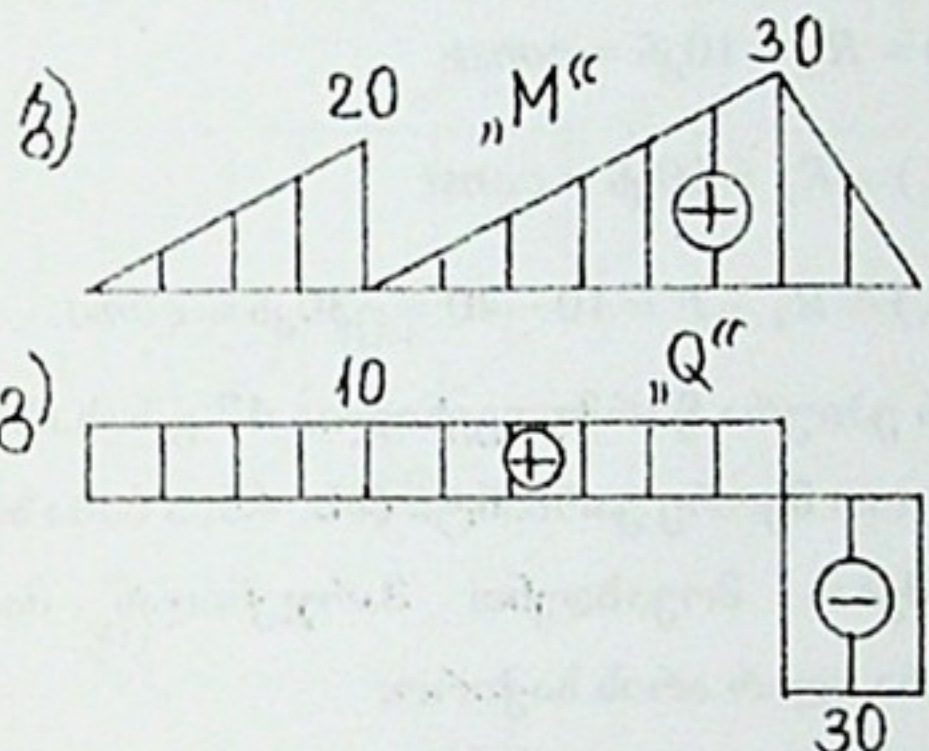
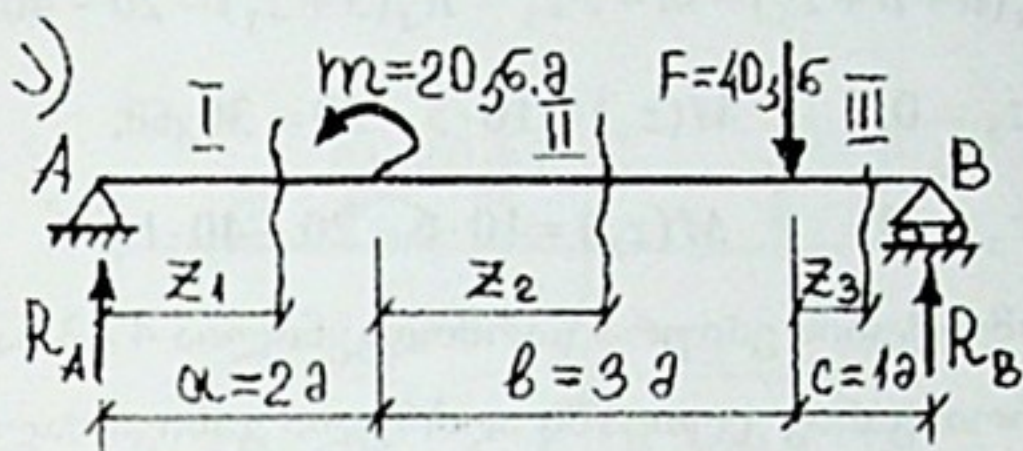
$$R_d = 60/6 = 10 \text{ dB}.$$

შემოწმებას ვახდენთ  $\sum y = 0$  წონასწორობის პირობით:

$$\sum y = R_A - F + R_B = 10 - 40 + 30 = 0.$$

განვსაზღვროთ მღუნავი მომენტებიკოტის განივ კვეთუბში:

განსახილველი კოჭი დატვირთვების მიხედვით შედგება სამი უბნისაგან:



ნახ.47

### I უბანში

$$M(z_1) = R_A z_1$$

ვინაიდან  $M(z_1)$  ფუნქცია პირველი რიგისაა და ე.ი. განისაზღვრება წრფით, ამიტომ საკმარისია მისი გამოთვლა ორი წერტილისათვის:

$$\text{როდესაც } z_1 = 0, \quad M(z_1) = 0;$$

$$\text{როდესაც } z_1 = a = 2\alpha, \quad M(z_1) = 10 \cdot 2 = 20 \text{ J}\cdot\text{m};$$

### II უბანში

$$M(z_2) = R_A(a + z_2) - m = 10(2 + z_2) - 20$$

$$\text{როდესაც } z_2 = 0, \quad M(z_2) = 20 - 20 = 0;$$

$$\text{როდესაც } z_2 = b = 3\alpha, \quad M(z_2) = 10 \cdot 5 - 20 = 30 \text{ J}\cdot\text{m};$$

### III უბანში

$$M(z_3) = R_A(a + b + z_3) - m - Fz_3 = R_A(5 + z_3) - 20 - 40z_3$$

როდესაც  $z_3 = 0$ ,  $M(z_3) = 10 \cdot 5 - 20 = 30$  კგ;

როდესაც  $z_3 = 10$ ,  $M(z_3) = 10 \cdot 6 - 20 - 40 \cdot 1 = 0$ .

მღუნავი მომენტების ეპიურა წარმოდგენილია 47,ბ ნახაზზე.

განვსაზღვროთ განივ კვეთებში აღმრული განივი ძალები:

**I უძანში**  $Q(z_1) = R_A = 10$  კგ = const

**II უძანში**  $Q(z_2) = R_A = 10$  კგ = const

**III უძანში**  $Q(z_3) = R_A - F = 10 - 40 = -30$  კგ = const.

განივი ძალების ეპიურა წარმოდგენილია 47,გ ნახაზზე.

ახლა განვიხილოთ მეორე ვარიანტი (იხ. 48, ა ნახაზი):

თუ გაანგარიშებას მოვახდენთ მარჯვნიდან მარცხნივ, მაშინ  
რეაქციების განსაზღვრა აღარ არის საჭირო.

**I უძანში**  $M(z_1) = 0$

**II უძანში**  $M(z_2) = -Fz_2 = -40z_2$

როდესაც  $z_2 = 0$ ,  $M(z_2) = 0$

როდესაც  $z_2 = b = 3$ ,  $M(z_2) = -40 \cdot 3 = -120$  კგ;

**III უძანში**  $M(z_3) = -F(b + z_3) + m = -40(3 + z_3) - 20$

როდესაც  $z_3 = 0$ ,  $M(z_3) = -120 + 20 = -100$  კგ;

როდესაც  $z_3 = a = 2$ ,  $M(z_3) = -40 \cdot 5 + 20 = -180$  კგ

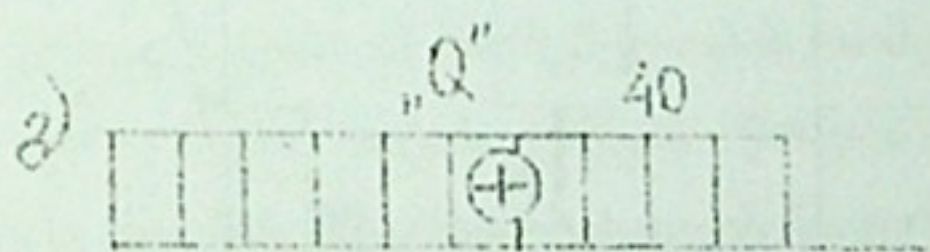
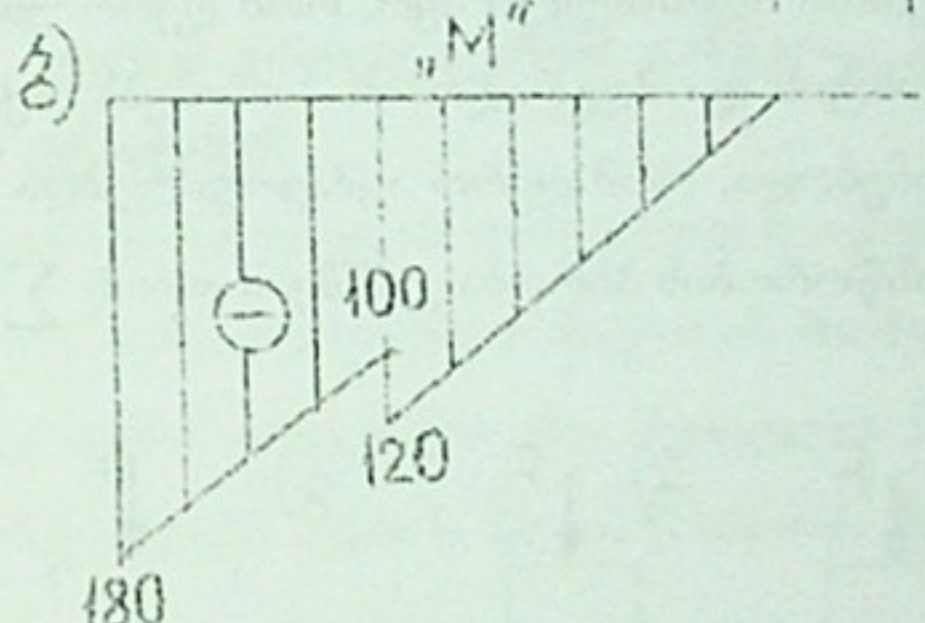
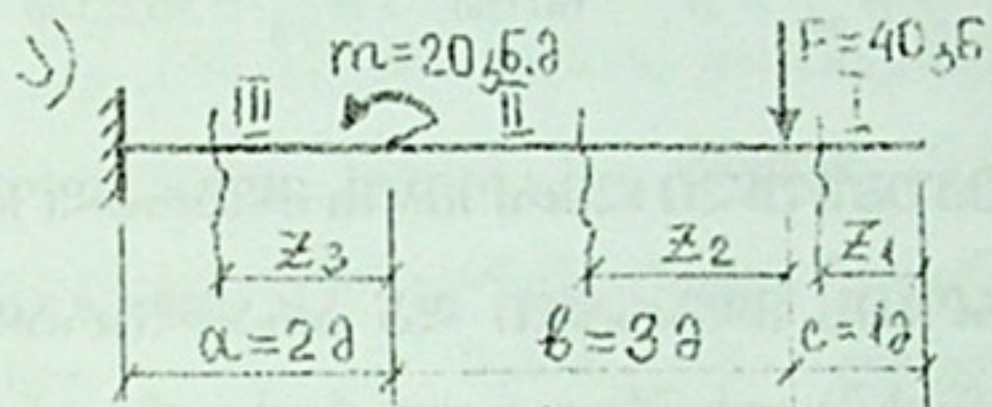
მღუნავი მომენტების ეპიურა წარმოდგენილია 48,ბ ნახაზზე.

განვსაზღვროთ განივი ძალები:

**I უძანში**  $Q(z_1) = 0$ .

**II უძანში**  $Q(z_2) = F = 40$  კგ = const

**III უძანში**  $Q(z_3) = F = 40$  კგ = const.



### ნახ.48

განივი ძალების ეპიურა წარმოდგენილია 48.გ ნახაზზე

ორივე ვარიანტის მიხედვით  $M_{\max} = 180 \text{ კნ} = 18000 \text{ კნმ}$ . ამ მომენტის მიხედვით განისაზღვრება საჭირო წინაღობის მომენტი

$$W_{\text{საჭ}} = \frac{M_{\max}}{[\sigma]} = \frac{18000}{16} = 1125 \text{ სმ}^3$$

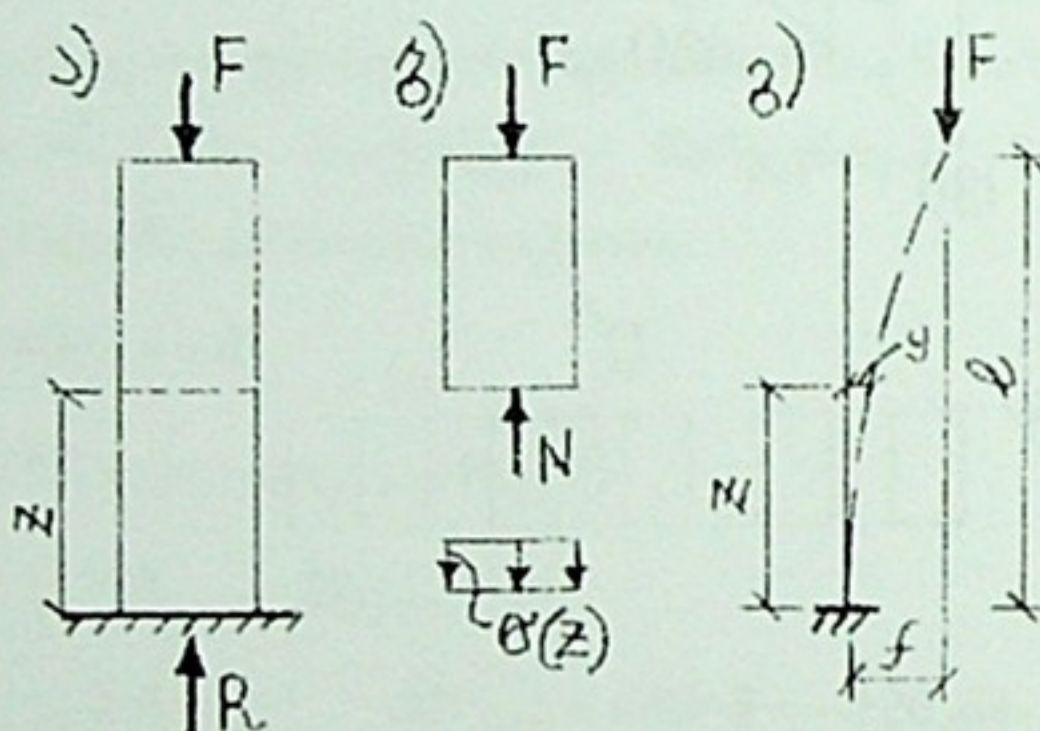
ვინაიდან სორტამენტის ცხრილში (იხ. დანართი, ცხრილი 3) არ არის ისეთი დიდი შველერი, რომელსაც ასეთი დიდი წინაღობის მომენტი აქვს, ვიღებთ რამდენიმე (ჩვენს მემთხვევაში ორ) შველერს და ამიტომ

$$W'_{\text{საჭ}} = \frac{W_{\text{საჭ}}}{2} = \frac{1125}{2} = 562,5 \text{ სმ}^3$$

## 7. შეკუმშული ღეროვაის გლობულური გარემოები

### 7.1 ტონასტოროვის გლობულური და არაგლობულური ფორმები

კურსის დასაწყისში აღნიშნული იყო, რომ ღეროვა უნდა აკმაყოფილებდეს სიმტკიცის, სიხისტის და მდგრადობის პირობებს. აქამდე განხილულ ამოცანებში იგულისხმებოდა, რომ ღეროვა აკმაყოფილებდა მდგრადობის პირობებს ანუ მისი წონასტორობის პირობა კუმშვის დროს  $\sum \gamma = -F + R = 0$



ნახ.49

(ნახ.49,ა) არ იცვლებოდა მკუმშვი ძალის ზრდასიან დაკავშირებით. ეს პირობა ერთადერთი და საკმარისი იყო ღეროვს განივ კვეთში ძაბვის განსაზღვრისათვის (ნახ. 49,ბ):

$$\sigma(z) = \frac{N}{A} = \frac{F}{A} = \text{const}, \quad (7.1)$$

მაგრამ, თუ ღეროვს დავაწვრილებთ, მისი სიხისტე შემცირდება და ამ დროს თუ ღერძულ მკუმშვი ძალას ნელ-ნელა გავზრდით, დადგება ისეთი მომენტი, როდესაც ღეროვა გაიღუნება (ნახ.49,გ) და  $F$  მკუმშვი ძალა ჩამაგრებიდან რაიმე  $z$  მანძილზე მდებარე განივ კვეთში გამოიწვევს არა



კუმშვას, როგორც ეს ადრე იყო, არამედ ღუნვას. მღუნავი მომენტი  $M(z) = F(f \cdot y)$ . ცხადია, რომ წონასწორობის პირობა  $\sum z = 0$  აღარ გამოგვა-  
ადგება განივ კვეთებში ძაბვების განსაზღვრისათვის. აქ უნდა გამოვიყენოთ  
წონასწორობის პირობა  $\sum m(z) = 0$ . ამრიგად, წვრილი ანუ **მოქნილი**  
ლეროს წონასწორობის პირობა **არამდგრადია**, რადგანაც იგი შეიცვალა.

შევნიშნოთ, რომ ამ შემთხვევაში ღუნვის გამომწვევი ძალა  
მიმართულია ლეროს გრძივი ლერძის გასწვრივ და ამიტომ ასეთ ღუნვას  
გრძივ ღუნვას უწოდებენ.

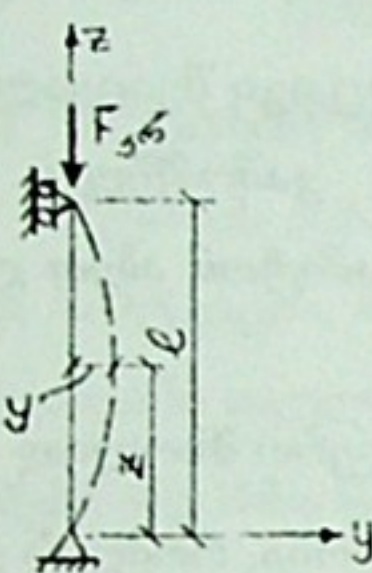
იმისათვის რომ დავადგინოთ თუ როდის იქნება ლერო მხოლოდ შეკუ-  
მშული, საჭიროა განვხაზღვროთ  $F$  ძალის ის მნიშვნელობა, რომლის გაზრ-  
დის შემდეგაც ლერო გაიღუნება ანუ შეიცვლის წონასწორობის პირობას;  
ე.ი. ჩვენ გვაინტერესებს ლეროს წონასწორობის  $\sum z = 0$  პირობა ძალის რა  
სიდიდემდეა მდგრადი. ამგვარი ამოცანა პირველად დააყენა ლეონარდ ეი-  
ლერმა და მკუმშვავი ძალის იმ მნიშვნელობას, რომლის დროსაც გაღუნული  
ლერო აღარ უბრუნდება თავის საწყის წრფივ მდგომარეობას. უწოდა  
კრიტიკული. ე.ი. ლეროს მდგრადობისათვის საჭიროა რომ მკუმშვავი ძალა  
ნაკლები იყოს კრიტიკულზე ანუ

$$\frac{F_{\text{კრ}}}{[F]} = n_{\text{ძალ}} > 1 \quad (7.2)$$

სადაც  $F_{\text{კრ}}$  არის კრიტიკული ძალა,  $[F]$  - მკუმშვავი ძალის დასაშვები  
მნიშვნელობა, ხოლო  $n_{\text{ძალ}}$  - მდგრადობის მარაგის კოეფიციენტი. ხის კონს-  
ტრუქციებისათვის  $n_{\text{ძალ}} = 2,5$ ; მყიფე მასალებისათვის  $5 \div 6$ , ხოლო  
ფოლადებისათვის  $1,8 \div 3,0$ .

## 7.2 გრავიტაციული დრეკადობის ვარგლები

განვიხილოთ ღერო, რომელიც ორივე ბოლოთი სახსრულებაზე ჩამაგრებული და ძაბვები მის განივ კვეთებში ნაკლებია პროპორციულობის ზღვარზე (ნახ. 50).



დრეკადი წირის დიფერენციალურ განტოლებას, როგორც ვიცით აქვს სახე (იხ. ფორმ. 7.4):

$$\frac{d^2 y}{dz^2} = \frac{M(z)}{EI} \quad (7.3)$$

ნახაზიდან ჩანს, რომ  $M(z) = -I_{\text{eff}} y$ , ამიტომ

$$\frac{d^2 y}{dz^2} + \frac{F_g}{EI} y = 0 \quad (7.4)$$

ნახ. 50

შემოვილოთ აღნიშვნა  $\frac{I_{\text{eff}}}{EI} = k^2$ , მაშინ

$$\frac{d^2 y}{dz^2} + k^2 y = 0 \quad (7.5)$$

უმაღლესი მათემატიკის კურსიდან ცნობილია, რომ ამ დიფერენციალური განტოლების ამონსნაა

$$y = A \cos kz + B \sin kz \quad (7.6)$$

სადაც  $A$  და  $B$  ნებისმიერი მუდმივებია. მათი განსაზღვრისათვის ვიყენებთ ე.წ. სასაზღვრო პირობებს:

1. როდესაც  $z=0, y=0$ . ამ დროს (7.6) მიიღებს სახეს

$$0 = A \cos 0 + B \sin 0.$$

საიდანაც  $A=0$

2. როდესაც  $z=l, y=0$ . ამ შემთხვევაში (7.6) მიიღებს სახეს

$$0 = A \cos kl + B \sin kl. \quad (7.7)$$

რადგანაც  $A=0$ , ამიტომ (7.7)-დან ვღებულობთ, რომ  $B \sin kl = 0$ . ეს პირობა რომ შესრულდეს ან  $B$  უნდა იყოს ნულის ტოლი, ან  $\sin kl = 0$ . თუ დავუშვებთ  $B=0$ , მაშინ, რადგანაც  $A=0$ , გამოდის რომ  $y=0$   $z$ -ის ნებისმიერი

მნიშვნელობისათვის, რაც სინამდვილეს არ შეესაბამება. ე.ი.  $\sin k l = 0$  ან

$$\sin \left( l \sqrt{\frac{E_{\text{შ}}}{EI}} \right) = 0,$$

საიდანაც

$$l \sqrt{\frac{E_{\text{შ}}}{EI}} = n\pi, \quad (7.8)$$

სადაც  $n=0, 1, 2, \dots$

$n$ -ის მნიშვნელობების ამ მიმდევრობიდან ჩვენთვის მისაღებია  $n=1$ , რადგანაც თუ  $n=0$ , მაშინ (7.8)-ის თანახმად გამოდის რომ ან  $l=0$  ან  $\sqrt{E_{\text{შ}}/EI} = 0$ . არც ერთი მათგანი ნულის ტოლი არ არის. თუ დავუშვებთ, რომ  $n=2, 3, \dots$  გამოდის რომ  $E_{\text{შ}}$ -ის მინიმალური მნიშვნელობას არ ვიღებთ. ამიტომ ამოცანას აკმაყოფილებს  $n=1$ . ე.ი. (7.8) ჩაიწერება

ანუ

$$l \sqrt{\frac{E_{\text{შ}}}{EI}} = \pi$$

$$\frac{l^2 E_{\text{შ}}}{EI} = \pi^2$$

საიდანაც

$$E_{\text{შ}} = \frac{\pi^2 EI}{l^2} \quad (7.9)$$

ამ ფორმულას უწოდებენ ეილერის ფორმულას.

უნდა გვახსოვდეს რომ განივი კვეთის ინერციის მომენტი უნდა ავიღოთ მინიმალური, რადგანაც ლერო გაიღუნება იმ სიბრტყეში, რომელშიც მისი განივი კვეთის სიხისტე და ე.ი. ინერციის მომენტი მინიმალურია. ამიტომ გვექნება

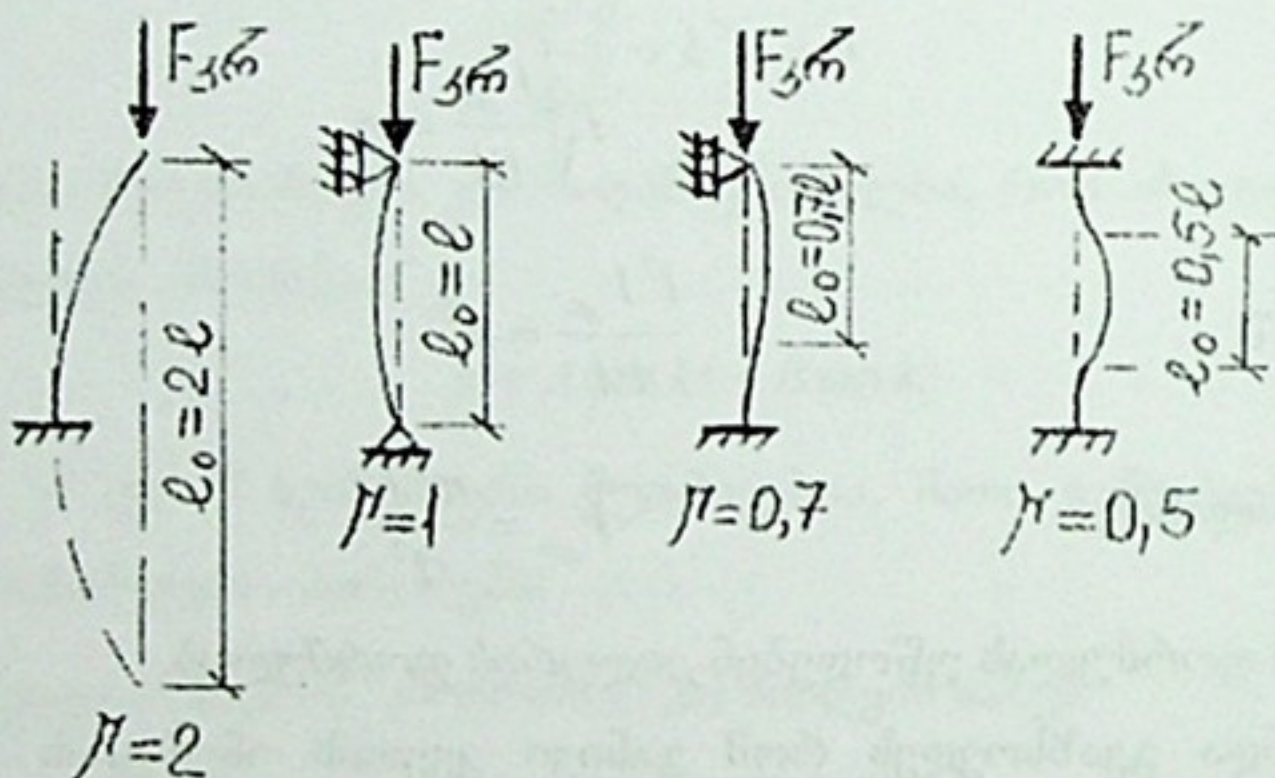
$$E_{\text{შ}} = \frac{\pi^2 EI_{\min}}{l^2} \quad (7.10)$$

## 7.3 ღეროს გოლოგების ჩამაგრების გავლენა

### კრიტიკული ქაღის სიდიდეზე

ღეროს ჩამაგრების სახეზე დიდად არის დამოკიდებული კრიტიკული ძალის სიდიდე. 51 ნახაზზე წარმოდგენილია შეკუმშული ღეროების დამაგრების ყველაზე მეტად გავრცელებული შემთხვევები. თითოეული მათგანისათვის კრიტიკული ძალის განმსაზღვრელი ფორმულა მიიღება ისე, როგორც იგი მიღებული იყო ორივე ბოლოთი სახსროვნად ჩამაგრებული ღეროსათვის. როგორც (7.5) დიფერენციალური განტოლების ამოხსნები გვიჩვენებენ, ყველა იმ შემთხვევისათვის, რომლებიც წარმოდგენილია 51 ნახაზზე, კრიტიკული ძალა შეიძლება განისაზღვროს შემდეგი განზოგადებული ფორმულით:

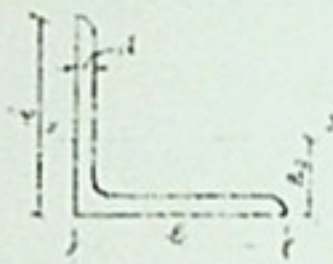
$$F_{\text{кр}} = \frac{\pi^2 EI_{\min}}{(\mu l)^2}.$$



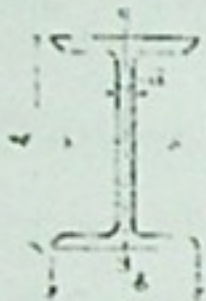
ნახ.51

μ არის ღეროს დაყვანილი სიგრძის კოეფიციენტი, ხოლო  $I_{\min} = \mu l$  არის ღეროს დაყვანილი ანუ თავისუფალი სიგრძე. ამიტომ კრიტიკული ძალის ფორმულა შეიძლება წარმოვადგინოთ შემდეგნაირადაც:

$$F_{\text{кр}} = \frac{\pi^2 EI_{\min}}{l_0^2}.$$



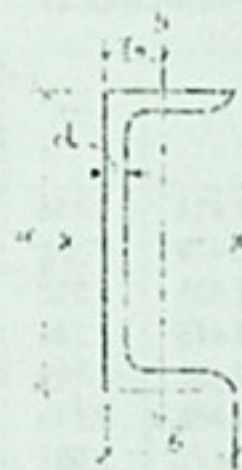
N <sup>o</sup>	<i>h</i>	<i>d</i>	<i>A</i>	<i>l<sub>s</sub></i>	<i>l<sub>r</sub></i>	<i>z<sub>o</sub></i>	N <sup>o</sup>	<i>h</i>	<i>d</i>	<i>A</i>	<i>l<sub>s</sub></i>	<i>l<sub>r</sub></i>	<i>z<sub>o</sub></i>
	მმ	მმ	მმ <sup>2</sup>	მმ	მმ	მმ		მმ	მმ	მმ <sup>2</sup>	მმ	მმ	მმ
1	2	3	4	5	6	7	1	2	3	4	5	6	7
2	20	3	1,13	0,4	0,59	0,6	7,5	75	5	7,39	39,5	2,31	2,02
		4	1,46	0,5	0,58	0,64			6	8,78	46,6	2,30	2,06
2,5	25	3	1,43	0,81	0,75	0,73			7	10,1	53,3	2,29	2,10
		4	1,86	1,03	0,74	0,76			8	11,5	59,8	2,28	2,15
2,8	28	3	1,62	1,16	0,85	0,80			9	12,8	66,1	2,27	2,18
3,2	32	3	1,86	1,77	0,97	0,89	8	80	6	9,38	57,0	2,47	2,19
		4	2,43	2,26	0,96	0,94			7	10,8	65,3	2,45	2,23
3,6	36	3	2,10	2,56	1,10	0,99			8	12,3	73,4	2,44	2,27
		4	2,74	3,29	1,09	1,04	9	90	6	10,6	82,1	2,78	2,43
4	40	3	2,35	3,55	1,23	1,09			7	12,3	94,3	2,77	2,47
		4	3,08	4,58	1,22	1,13			8	13,9	106	2,76	2,51
4,5	45	3	2,65	5,13	1,39	1,21			9	15,6	118	2,75	2,55
		4	3,48	6,63	1,38	1,26	10	100	7	13,8	131	3,08	2,71
		5	4,29	8,03	1,37	1,30			8	15,6	147	3,07	2,75
5,0	5	3	2,96	7,11	1,55	1,33			10	19,2	179	3,05	2,83
		4	3,89	9,21	1,54	1,38			12	22,8	209	3,03	2,91
		5	4,80	11,2	1,53	1,42			14	26,3	237	3,00	2,99
5,6	56	4	4,38	13,1	1,73	1,52			16	29,7	264	2,98	3,06
		5	5,41	16,0	1,72	1,57	11	110	7	15,2	176	3,40	2,96
6,3	63	4	4,96	18,9	1,95	1,69			8	17,2	198	3,39	3,00
		5	6,13	23,1	1,94	1,74	12,5	125	8	19,7	294	3,87	3,36
		6	7,28	27,1	1,93	1,78			9	22,1	328	3,86	3,41
7	70	5	6,86	31,9	2,16	1,90			10	24,3	360	3,85	3,45
		6	8,15	37,6	2,15	1,94			12	28,9	422	3,83	3,53
		7	9,42	43,0	2,14	1,99			14	33,4	482	3,80	3,61
		8	10,7	48,2	2,13	2,02			16	37,8	539	3,78	3,68



№	<i>h</i>	<i>b</i>	<i>d</i>	<i>A</i>	<i>I<sub>x</sub></i>	<i>W<sub>x</sub></i>	<i>i<sub>x</sub></i>	<i>I<sub>y</sub></i>	<i>W<sub>y</sub></i>	<i>i<sub>y</sub></i>
	მმ	მმ	მმ	მმ <sup>2</sup>	მმ <sup>4</sup>	მმ <sup>3</sup>	მმ	მმ <sup>4</sup>	მმ <sup>3</sup>	მმ
10	100	55	4,5	12,0	198	39,5	4,06	17,9	6,49	1,22
12	120	64	4,8	14,7	350	58,4	4,88	27,9	8,72	1,38
14	140	73	4,9	17,4	572	81,7	5,73	41,9	11,5	1,55
16	160	81	5,0	20,2	873	104	6,57	58,6	14,5	1,70
18	180	90	5,1	23,4	1290	143	7,42	82,6	18,4	1,88
18s	180	100	5,1	25,4	1430	159	7,51	114	22,8	2,12
20	200	100	5,2	26,8	1840	184	8,28	115	23,1	2,07
20s	200	110	5,2	28,9	2030	203	8,37	155	28,2	2,32
22	220	110	5,4	30,6	2550	232	9,13	157	28,6	2,27
22s	220	120	5,4	32,8	2790	254	9,22	206	34,3	2,50
24	240	115	5,6	34,8	3460	289	9,97	198	34,5	2,37
24s	240	125	5,6	37,5	3800	317	10,1	260	41,3	2,63
27	270	125	6,0	40,2	5010	371	11,2	260	41,5	2,54
27s	270	135	6,0	43,2	5500	407	11,3	337	50,1	2,80
30	300	135	6,5	46,5	7080	472	12,3	337	49,9	2,69
30s	300	145	6,5	49,9	7780	518	12,5	436	60,1	2,95
33	330	140	7,0	53,2	9840	597	13,5	419	59,9	2,79
36	360	145	7,5	61,9	13380	748	14,7	516	71,1	2,89
40	400	155	8,0	71,4	18930	947	16,3	666	85,9	3,05
45	450	160	8,6	83,0	27450	1220	18,2	807	101	3,12
50	500	170	9,5	97,8	39290	1570	20,0	1040	122	3,26
55	550	180	10,3	114,3	55150	2000	22,1	1350	150	3,44
60	600	190	11,0	132	75450	2510	23,9	1720	181	3,60
65	650	200	12,0	153	101400	3120	25,8	2170	217	3,77
70	700	210	13,0	176	134600	3840	27,7	2730	260	3,94
70s	700	210	15,1	202	152700	4360	27,5	3240	309	4,01
70s	700	210	17,5	234	175371	5010	27,4	3910	373	4,09

დანართი, ცხრილი 3

16 1963 წელი  
მაკლები საქართველო



№	h	b	d	A	$I_x$	$W_x$	$i_x$	$I_y$	$W_y$	$i_y$	$z_0$
	მმ	მმ	მმ	მმ <sup>2</sup>	მმ <sup>4</sup>	მმ <sup>3</sup>	მმ	მმ <sup>4</sup>	მმ <sup>3</sup>	მმ	მმ
5	50	32	4,4	6,16	22,8	9,1	1,92	5,61	2,75	0,95	1,16
6,5	65	36	4,4	7,51	48,6	15,0	2,54	8,70	3,68	1,08	1,24
8	80	40	4,5	8,98	89,4	22,4	3,16	12,8	4,75	1,19	1,31
10	100	46	4,5	10,9	174	34,8	3,99	20,4	6,46	1,37	1,41
12	120	52	4,8	13,3	304	50,6	4,78	31,2	8,52	1,53	1,54
14	140	58	4,9	15,6	491	70,2	5,60	45,4	11,0	1,70	1,67
14s	140	62	4,9	17,0	545	77,8	5,66	57,5	13,3	1,84	1,87
16	160	64	5,0	18,1	747	93,4	6,42	63,3	13,8	1,87	1,80
16s	160	68	5,0	19,8	823	103	6,49	78,8	16,4	2,01	2,00
18	180	70	5,1	20,7	1090	121	7,24	86,0	17,0	2,04	1,94
18s	180	74	5,1	22,2	1190	132	7,32	105	20,0	2,18	2,13
20	200	76	5,2	23,4	1520	152	8,07	113	20,5	2,20	2,07
20s	200	80	5,2	25,2	1670	167	8,15	139	24,2	2,35	2,28
22	220	82	5,4	26,7	2110	192	8,89	151	25,1	2,37	2,21
22s	220	87	5,4	28,8	2330	212	8,99	187	30,0	2,55	2,46
24	240	90	5,6	30,6	2900	242	9,73	208	31,6	2,60	2,42
24s	240	95	5,6	32,9	3180	265	9,84	254	37,2	2,78	2,67
27	270	95	6,0	35,2	4160	308	10,9	262	37,3	2,73	2,47
30	300	100	6,5	40,5	5810	387	12,0	327	43,6	2,84	2,52
33	330	105	7,0	46,5	7980	484	13,1	410	51,8	2,97	2,59
36	360	110	7,5	53,4	10820	601	14,2	513	61,7	3,10	2,68
40	400	115	8,0	61,5	15220	761	15,7	642	73,4	3,23	2,75

დანართი, ცხრილი 4

ცატურალური ტრიგონომეტრიული სისტემი



$\alpha$		sin	cos	tg	ctg	$\alpha$		$\alpha$		sin	cos	tg	ctg	გამოყენების	
0	'					'	0	0	'					0	'
0	0	0.000	1.000	0.000	/	60	89	22	30	0.383	0.924	0.414	2.414	30	67
0	5	0.001	1.000	0.001	687.55	55	89	23	0	0.391	0.921	0.424	2.356	60	66
0	10	0.003	1.000	0.003	343.77	50	89	23	30	0.399	0.917	0.435	2.300	30	66
0	20	0.006	1.000	0.006	171.89	40	89	24	0	0.407	0.914	0.445	2.246	60	65
0	25	0.007	1.000	0.007	137.51	35	89	24	30	0.415	0.910	0.456	2.194	30	65
0	30	0.009	1.000	0.009	114.59	30	89	25	0	0.423	0.906	0.466	2.145	60	64
0	40	0.012	1.000	0.012	85.940	20	89	25	30	0.431	0.903	0.477	2.097	30	64
0	50	0.015	1.000	0.015	68.750	10	89	26	0	0.438	0.899	0.488	2.050	60	63
1	0	0.017	1.000	0.017	57.290	60	88	26	30	0.446	0.895	0.499	2.006	30	63
1	10	0.020	1.000	0.020	49.104	50	88	27	0	0.454	0.891	0.510	1.963	60	62
1	20	0.023	1.000	0.023	42.954	40	88	27	30	0.462	0.887	0.521	1.921	30	62
1	30	0.026	1.000	0.026	38.188	30	88	28	0	0.469	0.883	0.532	1.881	60	61
1	40	0.029	1.000	0.029	34.368	20	88	28	30	0.477	0.879	0.543	1.842	30	61
2	0	0.035	0.999	0.035	28.636	60	87	29	0	0.485	0.875	0.554	1.804	60	60
2	30	0.044	0.999	0.044	22.904	30	87	29	30	0.492	0.870	0.565	1.768	30	60
3	0	0.052	0.999	0.052	19.081	60	86	30	0	0.500	0.866	0.577	1.732	60	59
3	30	0.061	0.998	0.061	16.350	30	86	30	30	0.508	0.862	0.589	1.698	30	59
4	0	0.070	0.998	0.070	14.301	60	85	31	0	0.515	0.857	0.601	1.664	60	58
4	30	0.078	0.997	0.079	12.706	30	85	31	30	0.523	0.853	0.613	1.632	30	58
5	0	0.087	0.996	0.087	11.430	60	84	32	0	0.530	0.848	0.625	1.600	60	57
5	30	0.096	0.995	0.096	10.385	30	84	32	30	0.537	0.843	0.637	1.570	30	57
6	0	0.105	0.995	0.105	9.514	60	83	33	0	0.545	0.839	0.649	1.540	60	56
6	30	0.113	0.994	0.114	8.777	30	83	33	30	0.552	0.834	0.662	1.511	30	56
7	0	0.121	0.993	0.123	8.144	60	82	34	0	0.559	0.829	0.675	1.483	60	55
7	30	0.131	0.991	0.132	7.596	30	82	34	30	0.566	0.824	0.687	1.455	30	55
8	0	0.139	0.990	0.141	7.115	60	81	35	0	0.574	0.819	0.700	1.428	60	54
8	30	0.148	0.989	0.149	6.691	30	81	35	30	0.581	0.814	0.713	1.402	30	54
9	0	0.156	0.988	0.158	6.314	60	80	36	0	0.588	0.809	0.727	1.376	60	53
9	30	0.165	0.986	0.167	5.976	30	80	36	30	0.595	0.804	0.740	1.351	30	53
10	0	0.174	0.985	0.176	5.671	60	79	37	0	0.602	0.799	0.754	1.327	60	52
10	30	0.182	0.983	0.185	5.396	30	79	37	30	0.609	0.793	0.767	1.303	30	52
11	0	0.191	0.982	0.194	5.145	60	78	38	0	0.616	0.788	0.781	1.280	60	51
11	30	0.199	0.980	0.203	4.915	30	78	38	30	0.623	0.783	0.795	1.257	30	51
12	0	0.208	0.978	0.213	4.705	60	77	39	0	0.629	0.777	0.810	1.235	60	50
12	30	0.216	0.976	0.222	4.511	30	77	39	30	0.636	0.772	0.824	1.213	30	50
13	0	0.225	0.974	0.231	4.332	60	76	40	0	0.643	0.766	0.839	1.192	60	49
13	30	0.233	0.972	0.240	4.165	30	76	40	30	0.649	0.760	0.854	1.171	30	49
14	0	0.242	0.970	0.249	4.011	60	75	41	0	0.656	0.755	0.869	1.150	60	48
14	30	0.250	0.968	0.259	3.867	30	75	41	30	0.663	0.749	0.885	1.130	30	48
15	0	0.259	0.966	0.268	3.732	60	74	42	0	0.669	0.743	0.900	1.111	60	47
15	30	0.267	0.964	0.277	3.606	30	74	42	30	0.676	0.737	0.916	1.091	30	47
16	0	0.276	0.961	0.287	3.487	60	73	43	0	0.682	0.731	0.933	1.072	60	46
16	30	0.284	0.959	0.296	3.376	30	73	43	30	0.688	0.725	0.949	1.054	30	46
17	0	0.292	0.956	0.306	3.271	60	72	43	40	0.690	0.723	0.955	1.048	20	46
17	30	0.301	0.954	0.315	3.172	30	72	43	50	0.693	0.721	0.960	1.042	10	46
18	0	0.309	0.951	0.325	3.078	60	71	44	0	0.695	0.719	0.966	1.036	60	45
18	30	0.317	0.948	0.335	2.989	30	71	44	10	0.697	0.717	0.971	1.030	50	45
19	0	0.326	0.946	0.344	2.904	60	70	44	20	0.699	0.715	0.977	1.024	40	45
19	30	0.334	0.943	0.354	2.824	30	70	44	30	0.701	0.713	0.983	1.018	30	45
20	0	0.342	0.940	0.364	2.74										



ეროვნული  
მართვის

## გერმანული ანბანი

A α ოლფა	B β ბეტა	C γ გამა	D δ დელტა	E ε ე ფსილონ	Z ζ ძეტა	H η ეტა	Θ θ თეტა	I ι οოტა	K κ კაპა	Λ λ ლამბდა	M μ მიუ	N ν ნიუ	Ξ ξ ქსი	O ο ო მიკრონ	Π π პი	P ρ რო	Σ σ სიგმა	Τ τ ტაუ	Y υ უ ფსილონ	Φ φ ფი (ი)	X χ ხი	Ψ ψ ფისი	Ω ω ო მეგა
----------	----------	----------	-----------	--------------	----------	---------	----------	----------	----------	------------	---------	---------	---------	--------------	--------	--------	-----------	---------	--------------	------------	--------	----------	------------

## ლათინური ანბანი

A a ა	B b ბე	C c ცი	D d დე	E e ე	F f ფა (ა)	G g გი	H h ჰაშ	I i ი	J j ჯი	K k კა	L l ლი	M m ებ	N n ენ	O o ო	P p პე	Q q ქე	R r ერ	S s ეს	T t ტე	U u უ	V v ვე	W w დუბლ ვე	X x იქს
-------	--------	--------	--------	-------	------------	--------	---------	-------	--------	--------	--------	--------	--------	-------	--------	--------	--------	--------	--------	-------	--------	-------------	---------

## ლიტერატურა



1. ა. სმირნოვი და სხვ. მასალათა გამძლეობა. მოსკოვი, უმაღლესი სკოლისათვე 1975 (რუს. ენაზე).
2. ნ. ბელიაევი. მასალათა გამძლეობა. მოსკოვი, მეცნიერება 1976 (რუს. ენაზე).
3. დ. დანელია, ა. კვარაცხელია, ზ. მაძალუა. მასალათა გამძლეობა. სახელმძღვანელო. „ტექნიკური უნივერსიტეტი“, თბილისი 2007.



## შინაარსი

1.	ძირითადი ცნებები . . . . .	3
1.1	მასალათა გამძლეობის საგანი . . . . .	3
1.2	გარეგანი ძალების კლასიფიკაცია . . . . .	5
1.3	მასალათა გამძლეობის ძირითადი პიპოთეზები და პრინციპები . . . . .	8
1.4	გაკვეთის მეთოდი. შინაგანი ძალები . . . . .	10
1.5	ცნება ძაბვის შესახებ . . . . .	14
1.6	დეფორმაციის ცნება . . . . .	15
1.7	ნაგებობის ელემენტების საანგარიშო სქემები . . . . .	18
2.	ღეროს გაჭიმვა (კუმშვა) . . . . .	19
2.1	შინაგანი ძალების, ძაბვებისა და დეფორმაციების განსაზღვრა . . . . .	19
2.2	მასალების მექანიკური თვისებების ექსპერიმენტალური შესწავლა . . . . .	22
2.3	ერთი ბოლოთი ხისტად ჩამაგრებულ სწორ ღეროში ძაბვისა და მაქსიმალური წაგრძელების განსაზღვრა . . . . .	27
3.	ბრტყელ კვეთთა გეომეტრიული მახასიათებლები . . . . .	28
3.1	ბრტყელ კვეთთა სტატიკური და ინერციის მომენტები . . . . .	29
3.2	ინერციის მომენტების ცვლილება ღერძების პარალელურად გადატანისას . . . . .	31
3.3	ინერციის მომენტების ცვლილება ღერძების მობრუნებისას . . . . .	32
3.4	ინერციის მთავარი ღერძები და ინერციის მთავარი მომენტები . . . . .	34
3.5	მარტივი ბრტყელი კვეთების ინერციის მომენტების განსაზღვრა . . . . .	36
3.6	რთული ფიგურის გეომეტრიული მახასიათებლების განსაზღვრა . . . . .	37
4.	ძვრა . . . . .	41
4.1	ძაბვებისა და დეფორმაციების განსაზღვრა ძვრისას. პუქის კანონი . . . . .	41

5. გრეხა . . . . .	43
5.1 გრეხის დეფორმაციის ზოგადი ცნებები . . . . .	43
5.2 წრიული განივი კვეთის მქონე ღეროს გრეხა . . . . .	44
6. ღუნვა . . . . .	47
6.1 ცნება ღუნვის შესახებ და ღეროების საყრდენების სახეები . . . . .	47
6.2 კოჭის საყრდენებში აღძრული რეაქციების განსაზღვრა . . . . .	50
6.3 შინაგანი ძალვები ღუნვისას . . . . .	52
6.4 დიფერენციალური დამოკიდებულება მღუნავ მომენტს, განივ ძალასა და დატვირთვის ინტენსიურობას შორის . . . . .	54
6.5 მღუნავი მომენტებისა და განივი ძალების ეპიურების აგება . . . . .	55
6.6 კოჭის დაძაბული მდგომარება პირდაპირი ღუნვის შემთხვევაში . . . . .	63
6.7 სტატიკურად რკვევადი კოჭის გაანგარიშება ღუნვაზე . . . . .	70
7. შეკუმშული ღეროების მდგრადობა . . . . .	74
7.1 წონასწორობის მდგრადი და არამდგრადი ფორმები . . . . .	74
7.2 გრძივი ღუნვა დრეკადობის ფარგლებში. . . . .	76
7.3 ღეროს ბოლოების ჩამაგრების გავლენა კრიტიკული ძალის სიდიდეზე . . . . .	78
დანართი . . . . .	79
ლიტერატურა . . . . .	84

## იბეჭდება აპტორთა მიერ ფარმაცევტიკი სახით

გადაეცა წარმოებას 01.05.2009. ზელმოწერილია დასაბეჭდად 11.05.2009. ქაღალდის ზომა 60X84 1/16. პირობითი ნაბეჭდი თაბაზი 5. ტირაჟი 100 ეგზ.

საგამომცემლო სახლი „ტექნიკური უნივერსიტეტი“, თბილისი,  
კოსტავას 77



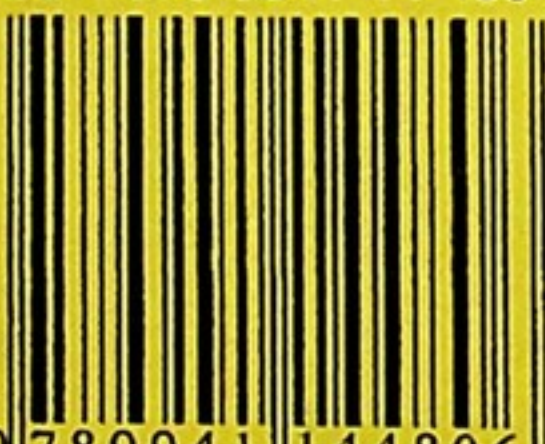
270.707

3

000363000  
300300000000

270.707

ISBN 978-9941-14-480-6



9 789941 144806